小型超音速実験機(ロケット実験機) 飛行実験失敗原因調査報告書

平成14年10月11日 原因調査委員会

まえがき

平成 14 年 7 月 14 日の豪州における小型超音速実験機(ロケット実験機)の飛行実験失敗直後から、原因調査委員会は豪州ウーメラ実験場での現地調査、国内における現品の分解検査、検証試験、再現試験、解析、設計データおよび開発時の関連試験結果の分析調査などにより、原因究明を進めてきた。

これまでの調査により、今回の飛行実験失敗事象を説明する蓋然性の高い原因をひとつに特定するに至り、科学的および技術的な原因究明は完了したものと判断した。

本報告は、失敗となった飛行実験の経緯の把握、原因の根幹をなす発生事象の正確な分析理解、原因絞込みの現品調査、および再現試験を完了し、これらに基づく技術的な原因推定を行った結果を纏めたものである。

原因調査委員会 委員長 相 原 康 彦

目 次

1. 調査結果の概要	頁 1
2. 飛行実験の経過	3
2. 1. 打ち上げ準備状況	3
2. 2. 打ち上げ状況	3
3. 発生事象	8
3. 1. 主な発生事象の時系列	8
3. 2. 飛行の概要	10
4. FTA	11
5. 現品調査と検証試験	13
5. 1. 現品調査	13
5. 2. 検証試験および解析	14
6. 原因の推定	19
6. 1. 原因推定の経緯	19
6. 2. APの検証試験及び解析による確認	20
6. 3. フレックスハーネス基板とスルーホールについて	21
6. 4. 事象の流れ	21
7. まとめ	25
付録	
1.AP のスルーホールと短絡	A1
2. 事象の明確化	A2
3. FTAの詳細	A3
4. 現品調査と検証試験の詳細	A4
5. 実験システムの概要	A5
6. 調査委員会の活動	A6

1. 原因調査の概要

7月14日の飛行実験失敗のあと、第1回の原因調査委員会を7月19日に開催し、それ以降、原因特定のための検証試験、事象明確化のための解析、ならびにこれらを基にした FTA 解析を実施し、原因の特定と全事象の論理的解釈を進めてきた。

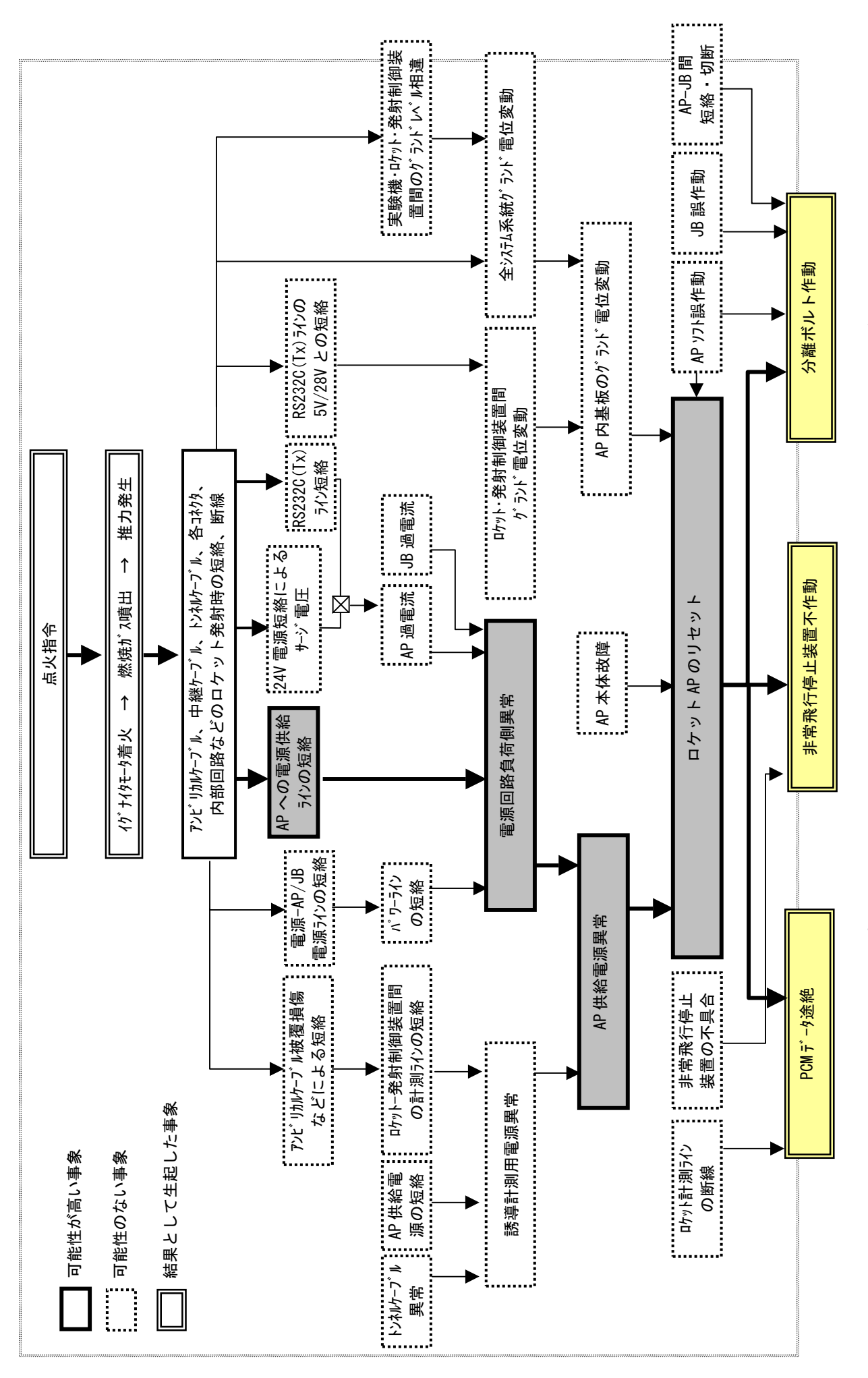
(1) 検証試験及び調査

- ・ロケット1号機(回収)及び実験機2号機(回収)の現品調査
- ・ロケット 4 号機を用いた再現試験、検証試験、特にAP電源(5 V) 短絡 試験とサージ電流試験
- ・ロケット 4 号機と実験機 1 号機を用いた打ち上げ形態による全システム試験、特にAP電源(5V)短絡試験とグランド変動試験
- 単品試験等
- (2) 事象明確化のための各種解析
 - データレコーダ記録データの解析
 - ・記録ビデオ映像解析
 - · CFD による噴流解析・アンビリカルケーブル挙動の検討
- (3) FTAによる原因の絞り込み
 - FTA (Fault Tree Analysis;不具合要因分析)による原因絞込みのための解析

その結果、最も蓋然性の高い原因として以下を特定するに至った。

「ロケット着火後の加速度,衝撃,振動等によりオートパイロット(AP)が変位したために、APへの電源供給ラインがフレキシブルハーネス用基板の+5Vとグランドのスルーホールの間で取付ブラケットを経由して瞬間的に短絡をおこし、このために電圧が一時低下した。この結果、APのリセットが発生し、分離ボルト着火信号が送出された。」

この他の要因は、現品調査、検証試験等により原因からは排除された。この因果関係を図解すると図 1 - 1 の通りとなる。



(オートパイロット(AP)) のリセットを核とする分離ボルト作動の要因関係 ロケット誘導制御コンピュータ 巡 1

2. 飛行実験の経過

2. 1. 打ち上げ準備状況

航空宇宙技術研究所(航技研)は、ロケット実験機のシステム総合試験とし ての第1回飛行実験を、豪州ウーメラ実験場において、平成14年7月11日午 前9時(現地時間。以下同様。)を予定して準備を進めてきた。ウーメラ実験場 における実験準備は航技研が、民間の支援者を含めた50名から100名におよぶ 現地実験隊を組織して、平成14年1月28日より、ロケットの再組み立て、各 要素機能試験、システム機能試験、システム電磁干渉試験などを行って、シス テムの健全性と、レーダなどの現地の実験支援設備との整合性を確認してきた。 飛行実験着手に当たっては、航技研の外部委員会である技術委員会による飛行 安全確保に関する審議を経て、最終的に所内の審査会の判定を受けて実施日が 設定された。当初の実験予定日7月 11 日には、午前1時 30 分からの実験隊によ る実験実施の判定会議において、実験機、ロケット、地上支援設備の準備完了、 日本側および豪州側の実験実施体制、安全監視体制等の確認、ならびに気象状 況が確認され、実験実施の決定がなされた。打ち上げ作業は手順に従って午前3 時に開始されたが、発射予定時刻約2時間前において地上風条件(5m/s以 下)を満足せず、以降の回復の見通しが立たないとの実験隊の判断により、午 前8時に打ち上げ延期となった。次の飛行実験日は、平成14年7月14日午前 8時に再設定された。

2. 2. 打ち上げ状況

7月14日は、午前0時30分に開いた11日同様の判定会議によって湿度が高いほかは全て条件を満たし、湿度についても打上げ時刻の温度上昇が好影響を及ぼすとの判断から、打ち上げ作業の開始が決定された。

午前 2 時から打ち上げ作業が開始され、湿度条件(8 5 %以下)を満たすための 3 時間程度の待機をはさみ、打ち上げ予定時刻が午前 11 時に修正され、手順が進められた。以降の作業は順調に進み、午前 11 時 1 分 11 秒にロケットに点火された。打ち上げ時の状況は以下のとおりである。

日時: 平成 14 年 7 月 14 日(日)

ローンチオペレーション開始 : 午前 2:04

発射 : 午前11:01:11

天候: 晴れ、風速 4 m/s、気温 12 度、湿度 58%

実験機: 102号機 打ち上げロケット: 101号機

打ち上げ仰角: 70度

打ち上げ方位角: 325度(北西)

ロケットは、点火直後から上昇を開始したが、ほぼ同時に実験機がロケットから分離され落下を開始した。ロケットの上昇途中においてロケットに取り付けられていた安定翼が実験機の主翼に衝突したことにより、ロケット制御部、ノズルスカート部と共に4枚の安定翼の内3枚がロケットから脱落した。実験機は、ランチャから約20m発射方向に裏返しの状態で着地したが、実験機を分離したロケットは、安定な飛翔を継続できず、空中で回転しながら射点の南西約200mの位置に落下した。図2-1に射点後方から撮影した連続写真を示す。

多数に分解した実験機及びロケットは、殆ど全てが射点上(LA1)あるいは近傍の地面上から回収された。図2-2は射点上空から俯瞰した落下物分散状況である。

射点には、実験機のほか、実験機から脱落したエルロン、ロケットの安定翼、ロケット制御部、ノズルスカートおよび細かい破片などが広範囲に散乱していた。アンビリカルコネクタは、ケーブルから脱落した状態で、ランチャの南50~60mの地点に落下していた。(図2-3)

ロケットの落下地点においては、ロケットは大きく2つに分断して落下しており、推進剤はほぼ燃焼し尽くしていた。前胴部落下地点には長さ4m強、幅2m、深さ60cmの穴があり、着地点と推定される。ロケット誘導計測部およびノーズはロケットから分離した状態で落下しており、ほとんどの部品がこの周辺半径50m以内に飛散していたものの、ロケットフィン1枚とロケットノズル等は、100m近く離れた地点に落下していた。(図2-4)



着火上昇





実験機落下/ロケット上昇



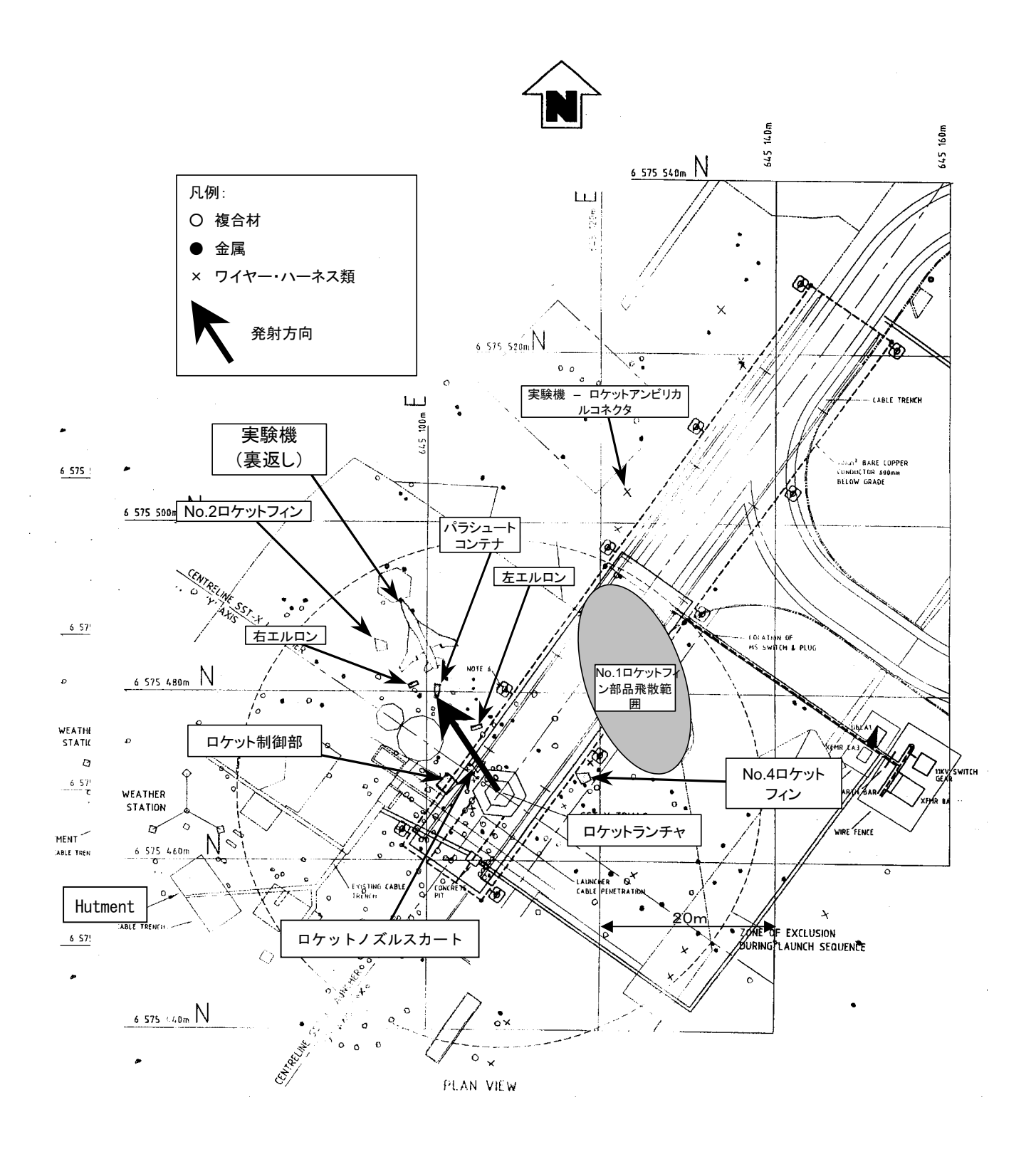
ロケット離脱



ロケット旋回飛行



図2-2 落下物分散状況



- × ロケット-ランチャアンビリカルコネクタ (通信系)
- × ロケット-ランチャアンビリカルコネクタ (点火系)

図 2-3 射点付近の落下物の分布状況

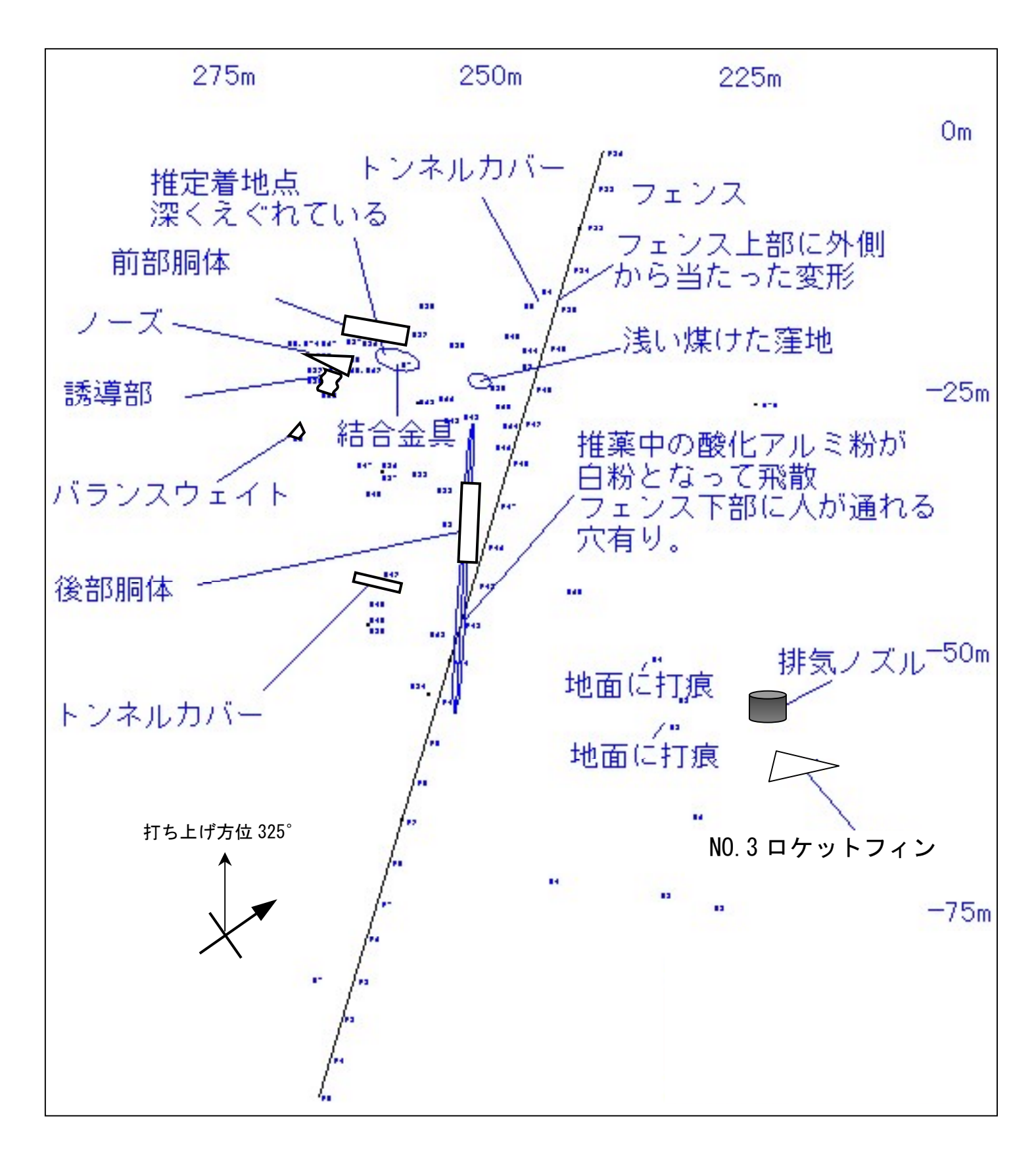


図2-4 ロケットモータ落下地点の状況

3. 発生事象

3. 1. 主な発生事象の時系列

機上データレコーダに記録されたデータ、地上で撮影された画像データ、および各種原因調査結果をもとに解析したところ、打ち上げ前後の主な発生事象の時系列は、表3-1に示すように推定された。

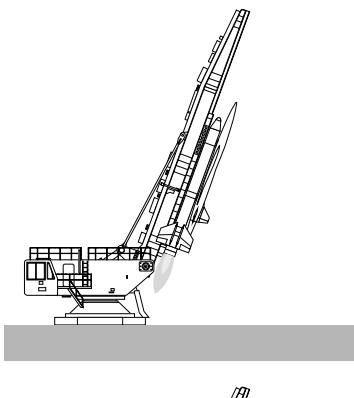
ただし、記載されている時刻は、レコーダに記録された機上 TCG (Time Code Generator) 時刻から、計測遅れや転送遅れなどを補正した値であり、午前 0 時からの積算秒で表されている。ロケットモータ点火指令の 39671 秒は午前 11 時 1 分 11 秒に対応する。括弧内の数値はデータ解析上の時刻の曖昧さであり、記載のないものは 1msec 以内で推定されている事象である。また、機上 TCG 時刻は、正確な現地時刻(オーストラリア中央標準時)に対して 54msec 進んでいるため、機上データレコーダ以外のデータと比較する場合は、このオフセット値を考慮する必要がある。

表3-1 主な発生事象の時系列

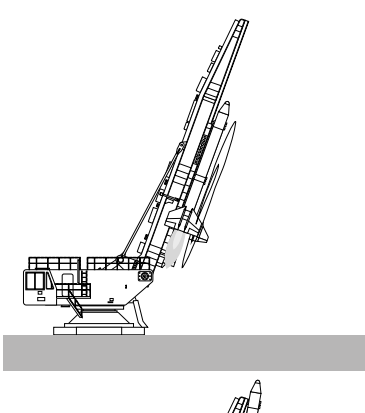
時刻	事象	詳細	
39671. 275sec	ロケットモータ点火指令	発射指令から6秒後、ロケットの点火	
[+0, -5msec]		信号が正常に立ち上がる。	
39671. 293sec	点火モータ着火	点火モータが作動し、それに伴って点	
[+0, -2msec]		火モータ内圧信号が立ち上がる。	
	ロケット主燃料着火	ロケット主燃料が着火し、ロケットは	
		上昇を開始する。	
39671.5587sec	AP付近で短絡発生	燃焼による振動と発射の衝撃により、	
		フレックスハーネス基板上で+5V 電源	
		と GND 間で短絡が発生。リセット IC へ	
		の供給電圧が低下しAPがリセットさ	
		れる。APから分離ボルト点火指令用	
		IC への出力電圧が OV となる。	
39671.5587+sec	短絡が解消	+5V 電源電圧が復帰して、分離ボルト	
		点火指令用ICからフォトMOSリレーへ	
		分離ボルト点火信号が出力され始め	
		る。	

時刻	事象	詳細	
39671. 5589sec	APからの通信途絶	APから実験機信号処理器へ送られて	
[+0, -0.75msec]		いた PCM 信号が、これ以降更新されな	
		い。	
39671. 561sec	フォト MOS リレーON	分離ボルト点火リレーへ電流が流れ始	
		める。	
39671. 564sec	分離ボルト点火リレーON	分離ボルトイニシエータに電流が流れ	
		始める。	
39671. 5684sec	分離ボルト着火、実験機	分離ボルト着火に伴う衝撃や電気的変	
	分離	動が、いくつかのセンサで記録される。	
39671. 607sec	ロケットー実験機アンビ	ロケットからアンビリカル経由で実験	
[+0, -2msec]	リカル分離	機に送られてきているアナログ信号で	
		ある点火モータ内圧信号が途絶する。	
39672. 031sec	ロケットのフィンが実験	ロケットが後方から実験機に衝突した	
[+0, -20msec]	機のエルロンに衝突	ことを示す衝撃変化(ピーク値+12G)	
		が IMU 加速度に見られる。左エルロン	
		舵角センサは故障により出力が振り切	
		っている。	
39673. 291sec	実験機が地面に衝突	実験機の IMU 加速度に衝撃的な変化が	
[+0, -20msec]		記録されている。衝撃は3回観測され	
		ており、実験機が尾部を次々と壊しな	
		がら地面に衝突していったと推定され	
		る 。	
	ロケットが地面に衝突	旋回しながら不安定な飛翔を続けたロ	
		ケットは、打ち上げから約 13 秒後、射	
		点の南西約 200m の位置に落下した。	

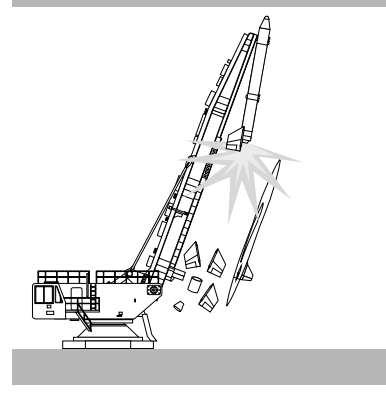
3. 2. 飛行の概要



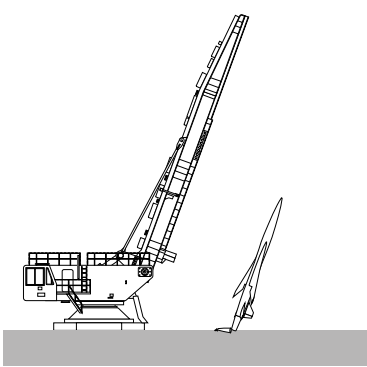
ロケット点火、上昇開始 APリセット 分離ボルト着火 実験機分離



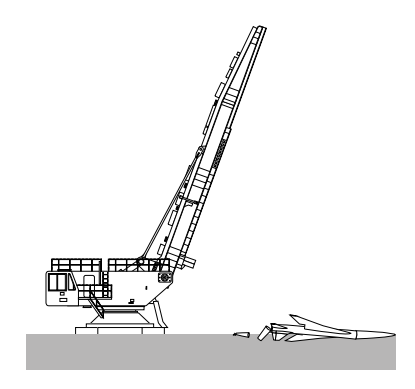
ロケットは、上昇を継続 実験機は、徐々に落下 ロケットのフィンと実験機の主翼エルロンが衝突



ロケットのフィン、制御部、ノズルスカートが脱落 ロケット噴煙が大きく拡大 実験機の主翼エルロンが破損、脱落 実験機は、姿勢を保ったまま、尾部から地面へ落下



ロケットは、不安定ながらランチャーから離脱 実験機は、尾部を破壊しながら左翼側へ転倒開始



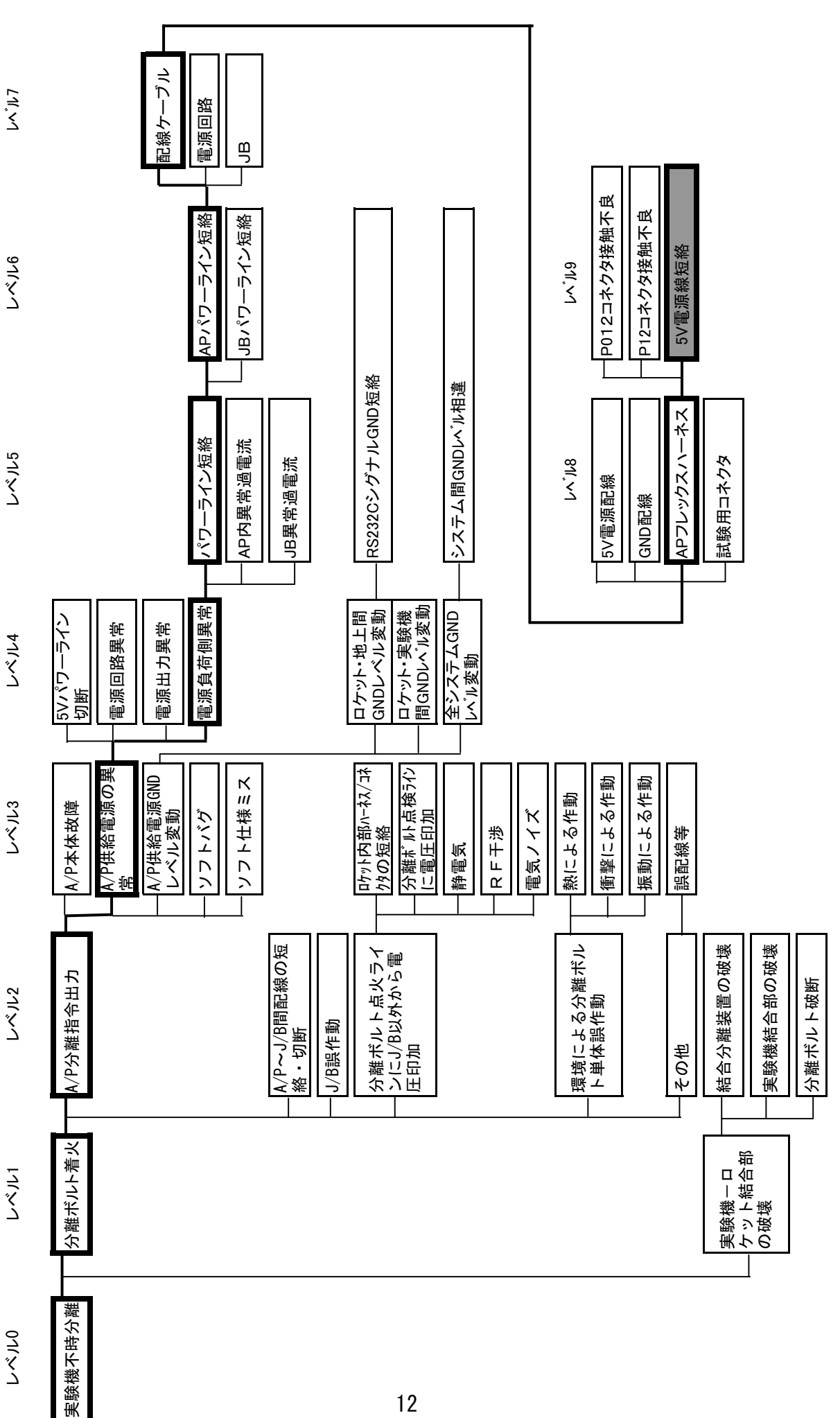
実験機は、左翼で跳ねたのち、胴体、右翼の順に接地 ロケットは、旋回しながら飛翔をつづけたのち落下

4. FTA

原因推定のために146項目の要因についてFTAを実施し、要因の科学的技術的考察のため、回収した現品の調査、各種検証試験および解析を行い、その結果から原因の絞込を行って来た。図4-1は原因推定に至るレベルOから9までのFTA解析図である。この結果不具合の直接原因として、

「APフレックスハーネス基板のスルーホール部での5V電源の瞬時短絡。」 を推定するに至った。

FTAは図4-1に示すように、レベル0の分離事象発生から、レベル9のAPフレックスハーネス部5 V短絡に至るまで、内容的に9段階の分析を行った。多くの要因は現品検査および未使用ロケット調査などにより、レベル3の段階で原因としての可能性が否定され排除された。またさらに、注目してきたアンビリカルケーブルに関する事項、あるいは、電源回路やサージ電圧などについては、後述する検証試験あるいは再現試験を実施し、要因可能性の分析を行ってきた。この結果、レベル6の段階で多くの要因が排除され、AP供給電源回路に係わる異常を元とする事項が原因として推論され、最終的にAPへの電源5 Vラインがフレックスハーネス基板でGNDと瞬時短絡することが原因であることと推測されるに至った。これによりFTA解析は完了したと言える。その詳細は付録に掲載する。



FTA解析による原因推定 巡4-1

5. 現品調査と検証試験

原因究明のために行った現品調査と検証試験の項目とその内容及び結果を表 5 - 1 にまとめた。

5. 1. 現品調査

結合分離機構の調査、回収されたロケット誘導制御装置の調査、ケーブルハーネス類の 調査さらに、未使用品の分解調査などを実施した。

- (1) 結合分離機構については、分離ボルトの破断後寸法検査、分離ボルトの破面調査、 分離ボルトの電橋線導通検査等を行い、4本の分離ボルトが電気的に作動したもの と判断された。このため分離信号がオートパイロット(AP)から送出されたもの と判断され、APのリセット等が強く疑われることとなった。
- (2) 回収されたロケット誘導制御装置の調査により、誘導部のAPの外部とのデータ通信および電源を供給するためのフレックスハーネスの基板の部分で5ボルト電源ラインと取り付けブラケット金具との間に短絡痕が観察された。(図5-1) 電源回路等その他の機器は、損傷はあるものの、ボルト発火に至る原因要素を確認するには至らなかった。
- (3) 未使用のAP及び周辺の分解調査により、APへの5V電源供給ラインを構成する フレックスハーネス基板にあけられた5Vスルーホールとブラケットとが短絡し易 い構造であったことが判明した。(図5-2)
- (4)制御部およびサーボアンプ部については、実験機脱落時にロケットフィンと実験機 エルロンとの接触による衝撃により脱落し、内部をロケットノズルが通過したため、 機械的・熱的損傷が激しかったが、明らかな電源間および電源・筐体間の短絡が確 認出来ないなど、原因要素を見出すことは出来なかった。
- (5) 断熱被覆が大きく損傷し、コネクタが脱落した状態であったロケットとランチャを結ぶ通信用アンビリカルケーブル(WO1)および点火用アンビリカルケーブル(WO2)及びコネクタについては、コネクタのロケットからの引抜き、ケーブルからのコネクタの脱落等の状態を詳細に調査し、ロケット噴流からの強い熱的影響が認められるものの、電気的短絡などに至る要因を確認することは出来なかった。また、本アンビリカルコネクターおよびケーブルの脱落におけるロケット排気噴流の影響についてCFD解析を詳細に行なった結果、分離ボルトが作動したとされる時点での流体力によるケーブルの脱落、損傷の可能性は非常に低いものと認められた。
- (6) その他のトンネル内ロケットハーネス、制御部内ハーネス等については、損傷がは げしく短絡、断線の調査は困難であった。

5. 2. 検証試験及び解析

現品調査および記録データの解析等から、APのリセット等の異常作動を原因とする分離ボルト点火指令の送出について、主に下記の3点を中心に19項目にわたる検証試験調査を実施した。

APからの分離信号の異常送出は、瞬時のAP電源の断や電圧低下等によるAPリセット、あるいはリレー等の分離信号ラインの誤作動によるものと判断され、これらを確認、判別することが試験の目的であった。

- 電源供給異常
- ・グランド電位変動
- ・サージ電圧の発生・印加

事象再現確認を含む検証試験の主要な結果として

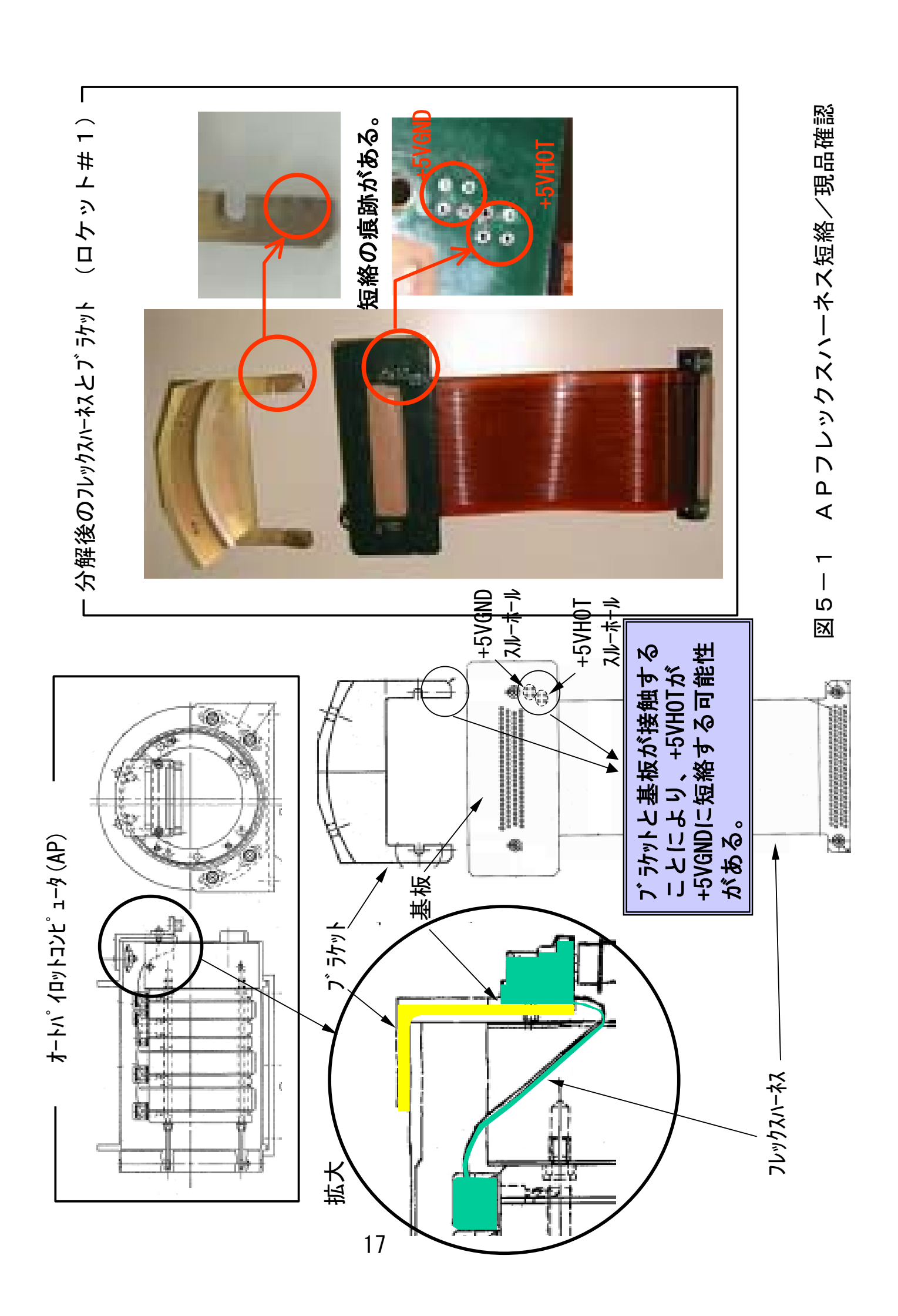
- (1) 誘導部主電源の 28V 瞬断によってAPリセットの発生を確認したが、同時に圧力センサ信号に失敗時とは異なる信号が観察された。
- (2) A P供給の 5V 電源の瞬断あるいは瞬時短絡が A P リセットを起こすと共に、失敗時に見られた熱電対センサからの電気的ノイズも確認され、原因とするに十分であると判断された。また、誘導部のゆるやかな衝撃試験により、機器間の構造的な干渉を介して基板変形が起こり、基板上のスルーホールが瞬間的に接地短絡することを確認した。本試験条件がロケットの燃焼振動、構造の伸び、初期上昇などの複合によるものであることが解析により確認された。
- (3) ロケットと実験機、あるいは地上設備との間の電気的グランドの変動試験によって はAPリセットに至る現象を再現する事はなかった。
- (4) 電源ラインの接地短絡によるサージ電圧が RS232C の Tx 信号線への異常電流の侵入をもたらし、A P リセットにつながるという懸念をもととする各種の検証試験によって、A P リセット条件を確認したものの、多数の特定条件の重複が必要である事により要因からは排除された。

表 5-1 現品調査・検証試験概要 (1/2)

No	o試験項目		現品調査・検証試験内容と結果
1	A1	1号機全般導通• 絶縁検査	誘導計測部、制御部の外観検査、分解、導通、絶縁を確認。
2	A11-1	オートパイロット分解調査	オートパイロット単体の分解調査、外観調査、電源ライン等の導通短絡調査、基板組み立 ての調査により、オートパイロット本体に異常なし。外部フレックスハーネス部に短絡痕在
3		オートパ [°] イロット分解調査 RS232C,RS422,TTL信号 ライン短絡調査	オートパイロット分解前後でRS232C,RS422,TTL信号、ディスクリート信号ラインの抵抗計測を行い、分解前後において短絡が無いことを確認。
4	A11-3	オートパイロット分解調査、基板,マザーボード調査	オートパイロットの構成基板、マザーボードの調査により、異常が無いことを確認。
5	A11-4	オートパイロット分解調査ICは んだ付け調査	部品の配置及びはんだ付け調査により、異常が無いことを確認。
6	A12	INE分解調査	外観検査及び分解、導通・絶縁検査等を実施し、INEとしては正常に機能しないものの、 電源については、短絡の痕跡や可能性は無いことを確認。
7	A13	電源回路分解調査	電源回路の分解点検を行い、損傷はあるもののDC-DCコンバータは正常に作動していることを確認。
8	A14	指令受信装置分解調査	外観検査及び導通・絶縁検査により、電源系統の短絡の無いことを確認。
9	A15	ジャンクションボード分解調査	外観検査、導通絶縁検査及び基板レベルへの分解調査。激しい損傷在り。分離指令入力インパータ (U2/SN54AC14)及び分離指令用フォトMOSリレー(K10/AQZ205V)は正常に作動。分離ボルトアーミングリレーは2個の内、1個はアーム状態、1個はセーフ状態であったが落下時衝撃に起因すると判断。電源系統の短絡は無し。
10	A2	制御部現品調査	外観検査、分解調査を行ったが、損傷が激しく詳細な調査は不可能
11	A2.1	サーボアンプ分解調査	外観検査、抵抗検査、分解調査を実施したところ、一部損傷はあるものの、電源系統に短絡の無いことを確認。
12	A3	結合分離機構(前,後)の 調査	前方結合部、後方結合部の調査の結果、機能上の異常なし。 分離ボルトの寸法検査、波面検査、成分分析及び電橋線導通検査の結果、電気信号によ る通常爆発分離を確認。
13	A23	電池調査	誘導計測部用電池、指令受信装置用電池、制御部用電池の外観、導通検査の結果、損傷が認められるものの、落下時の衝撃に起因するものと判断。
14		アンビリカルケーブル類の調査 (ロケット〜実験機アンビ リカル)	外観検査及び導通絶縁検査を実施し、一部シールド外皮の断線、コネクタの一部損傷があるものの、異常ないことを確認。
15	A4-2	打ち上げロケット内ハーネス の調査	誘導部の5V電源系統の断線、短絡が無いことを確認。トンネルケーブル、制御部内ハーネスは損傷が激しく、絶縁、導通検査は困難。
16		アンビリカルケーブル引っ張り 試験	ハーネス単体のカシメ部及びスプライス部の引張り強度データを取得。 実アンビリカルケーブルを用いた引張り試験は実施せず。
17	C2-1	アンビリカルケーブル類の調査 (W01,W02)	通信系アンビリカルケーブル(WO1)及び点火系アンビリカルケーブル(WO2)の損傷、断線、短絡検査の結果、コネクタに加わった外力によりコネクタから引き抜かれたものと判
18	C2-2	アンビリカルケーブル類の調査 (W1)	導通絶縁検査により、P155コネクタ部において、RS232CのTxラインの電線の被覆が損傷し、芯線がコネクタバックシェルと短絡していることを確認。
19	C2-3	アンピリカルコネクタの調査 (P151,P152,J151,J152)	通信系アンビリカルコネクタ(P151)及び点火系アンビリカルコネクタ(P152)について、コネクタの分離状況、ケーブルとコネクタの脱落状況等の調査及び通信系レセプタクル(J151)、点火系レセプタクル(J152)の調査を行い、アンビリカルコネクタ分離機構に異常な痕跡はなく、コネクタがランヤードにより、正常にロケット側と分離したと判断。
20	C3.3	ロケットストッパの調査	ロケットストッパ外見検査及びアンビリカル取り付け金具位置の調査の結果、ロケット噴流 状況、ランヤードストッパ等が正常であったこと、及び脱落したノズルスカートがストッパ内 を通過したことを確認。
21	C3.4	中継ボックスの調査	通信系、点火系アンビリカルケーブルのランチャ側接続コネクタが取り付けられていた中 継ボックスの変形等を調査し、コネクタ部にケーブルを通じて強い外力の印加を確認。
22	A5	フィン(アンテナ含)の調査	現象の把握を目的とする4枚のフィン及びそれに取り付けられていたトランスポンダアンテナの調査。

表 5-1 現品調査・検証試験概要 (2/2)

No	lo 試験項目		現品調査·検証試験内容	
23	В1	再現試験 機能確認	打上ロケット、発射制御装置、W1ケーブル代替品を用いて#4ロケット誘導計測部及び制御部が正常に機能することを確認。	
24		オートパ ^ペ イロット部品確認 RS232C用IC単体調査	W1ケーブルでTxラインの短絡が発見されたRS232C用ICがCMOS素子であるため、懸念のある異常電圧の印加等によるラッチアップ現象の起こらないことを確認。	
25	B11-2	オートパイロット単体確認	オートパイロット本体に電源を投入しシミュレーション計算機とを組合せ閉ループシミュレーションをした結果、正常動作することを確認。	
26	B11-3	オートパイロット単体確認+5 V電源瞬断及び低下調査	瞬時電流を一定時間流すことにより、5V電源の瞬断を模擬した試験を行い、オートバイロットがリセットを起こすためには少なくとも2. 5A以上の瞬時(150μ sec)電流が必要である事を確認。	
27	B11-4	オートパ [°] イロット単体確認 RS232C,RS422,TTL信号 ライン短絡、電圧印加調査	CPU基板単体において、RS232CのTxラインに各種のサージ電圧が印加された場合の試験により、リセット信号の送出の可能性とICの破壊を確認。	
28		オートパイロット単体確認 GNDレベル変動調査	発射制御装置からロケット筐体→ロケット内配線経由で発射制御装置に戻る大電流が流れた後、電流切断直後に瞬間的なオートパイロットのGNDレヘルの大きな変動を確認(サージ電圧)。	
29	B12-1	サージ電圧によるGNDレ ヘ・ル変動調査(その1)	誘導計測部に+25VDCを印加し、発射シーケンスを実施。通信系及び点火系アンビリカルを引き抜くことによる、サージ電圧がグランド電位を変動させることを確認したが、5V電源レベルの変動無し。	
30	B12-2	サージ電圧によるGNDレ ベル変動調査(その2)	アンビリカルケーブル内の各種信号線及びグランド線の切断の順番による、グランド電位変動が極めて小さいことを確認。	
31	1	AP筐体電流印加試験	オートパイロットに5~10A程度の電流印加を行い、その切断時のサージ電圧により、リセットICがリセット信号を発生しないことを確認。	
32	B13	28V電源瞬断試験	28V電源の瞬断を起こし、オートパイロットのリセットに必要な瞬断時間及び、分離ボルト 着火信号の出力時間を確認。同時にロケット内圧センサー信号への影響も確認。	
33	B14-1	RS232Cラインへの+28V 系へのショート	試験省略(B11-3関連)	
34	B14-2	RS232CラインのGND ショート	発射シーケンス中に、RS-232Cの信号ラインとグランドとを短絡させ、リセット信号の発生しないことを確認。	
35	B14-3	RS422 ラインの+28V 系へのショート	試験省略(B13に関連)	
36	B14-4	ディスクリートラインの GNDへのショート	試験省略(B13に関連)	
37	B18	圧力センサ出力変動確認 試験	分離機能技術確認試験時相当の衝撃(120G)をセンサに印加し、出力に変動の生じることを確認。	
38	B19	A/Pソフトウェア確認	ソフトウェアソースリストについて分離指令出力に関連する部分をチェックし、ソフトウェア の健全性を確認。	
39	B20	誘導計測部環境試験	打ち上げ時の加速度計データ及び地上燃焼試験から推定される環境条件に対する、誘導計測部の変位、振動に関する試験。加速度、ロケット上昇など比較的緩やかな衝撃でオートパイロット筐体が大きく移動し、外部ワイヤーハーネスが他の機器と干渉するなど、オートパイロットフレックスハーネス基板の5Vスルーホール短絡を起こす物理的条件を確認。	
40	B22	打上形態GND変動検証	実験機~ロケット~発射制御装置を含むGSEを組立て、打上形態を模擬した状態で、打ち上げ時のグランド電位変動及び5V短絡にかかわる挙動の再現試験。有意なグランド変動	
41	D1	実験機現品調査	飛行実験に使用された実験機 #2号機の飛行実験後の状況を確認するための、機体構造及び装備品の現品調査。	



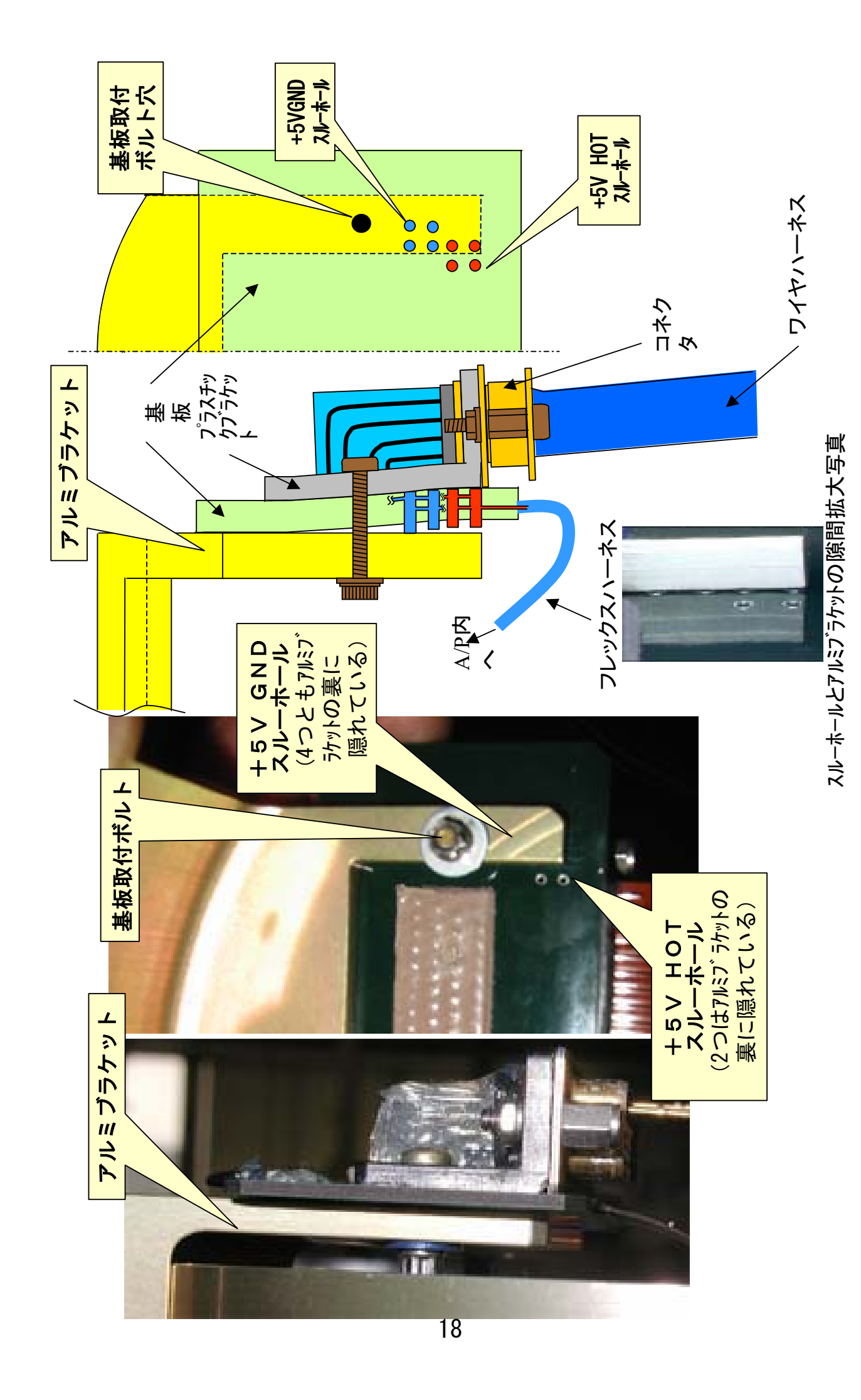


図5-2 APフレックスハーネス基板の概念図

6. 原因の推定

事故原因の候補となる要因を FTA で洗い出し、調査検討および検証試験等を実施してきた結果、最も可能性の高い原因として A P 供給電源 (+5V) の短絡によって A P リセットを起し、結果として実験機分離ボルトの着火に至ったことが推定された。

以下にその推定に至る分析と技術的根拠を示す。

6.1.原因推定の経緯

(1) オートパイロットのリセット

原因の1要因として見出されたオートパイロットのリセット事象は、

- ① オートパイロットへの供給電源である 5V が短絡等により、4.55V 以下に数 100 μ sec 以上の間低下すると、電源監視 IC が CPU や RS232C 通信用 IC をリセット して A P 機能が停止し、電源復帰時に分離ボルト着火信号が送出される設計であったことを確認。(図 6 1)
- ② 事故時に、第1にロケット PCM 信号が途絶えたこと、第2に分離ボルトが信号により発火したこと、第3に異常飛行を開始したロケットの非常装置が作動しなかったこと、の3事象が確認されたが、これらを引き起こす共通の要因として、APのリセットが唯一であると考えられた。

の2点から推定された。

(2) AP+5V電源の短絡

今回の事故におけるAP供給電源(+5V)の短絡は、FTA、現品調査、及び検証試験、そして以下の検討結果からAPのフレックスハーネス基板に設けられた+5V 電源ラインのスルーホールと基板を取り付けるためのブラケット(GND)との間で発生したものと推定された。

事故機および4号機のAPのスルーホールとブラケットは、基板およびブラケットの製造上のばらつきを考慮しても、打上時の衝撃のような外部要因が印加された場合に短絡する可能性を有する。

このことは、以下の調査、検証試験などで確認された。

- ①現品調査により、ブラケットとスルーホールとの短絡痕を確認。(図5-1)
- ②4号機のAP分解調査によって、幾何学的にスルーホールとブラケットが短絡 する可能性と、それに対する絶縁処置が施されていないことを確認。
- ③ A P の防振マウントの特性上、荷重によって A P が変位しやすい状況である ことを確認。
- ④4号機の誘導計測部調査により、AP用ワイヤハーネスが、APと隣接して

搭載されている電源回路と物理的に干渉してAPフレックスハーネスコネクタ および基板に荷重を付加する可能性が高いことを確認。

- ⑤検証試験にて、APフレックスハーネス基板やコネクタ部への荷重によりスル ーホールが短絡することを確認。
- ⑥誘導計測部の落下衝撃試験において、比較的緩やかな衝撃に伴うAPの変位によって、ワイヤハーネスが電源回路と物理的に干渉してスルーホールがブラケットと短絡することを確認。
- ⑦実験機/ロケット結合形態において、フレックスハーネス基板への荷重により A Pがリセットした時刻に、実験機側空力センサ (熱電対) 信号に事故機に観 測されたものと同様のノイズを確認。

6. 2. A P の検証試験及び解析による確認

本短絡の発生メカニズム検証のため、環境要因と考えられるロケット燃焼音響および衝撃の影響を検証するため、音響加振試験、衝撃試験、打上形態電源短絡試験ならびに関連する解析を実施した。

(1)音響加振試験

未使用機(4号機)の誘導計測部を供試体として加振音響レベル 153~156dB の音響 試験を実施したが、いずれのケースでも当該部での短絡は確認出来なかった。このこ とから、音響が直接的単独原因にはならないと推察された。

(2) 衝擊試験(図6-2)

APの機械的変位に伴うワイヤハーネスの電源回路との干渉を模擬した落下衝撃試験を実施した。その結果、点火モータ着火時を模擬した比較的シャープな衝撃を与えたケースでは当該部の短絡は発生せず、ロケットモータ点火後の主推力立ち上がりを模擬した比較的緩やかな衝撃を与えたケースで当該部の短絡が発生した。これは、図6-2 に示すように、部材の振動等比較的高周波成分ではなく、APの下方変位とそれに伴うワイヤハーネスを介した電源回路筐体との干渉などによることが確認された。

(3) 打上形態電源短絡試験

事故時に計測されたボルト分離直前の実験機熱電対へのシャープなノイズの再現のため、ロケットと実験機を結合した打ち上げ形態を構成させて、フレックスハーネス基板に外力を加えて意図的に短絡を発生させた結果、5V電源の短絡に伴ってAPリセットと共にロケット PCM が途絶した時刻に、熱電対に同様のノイズが発生することを確認した。

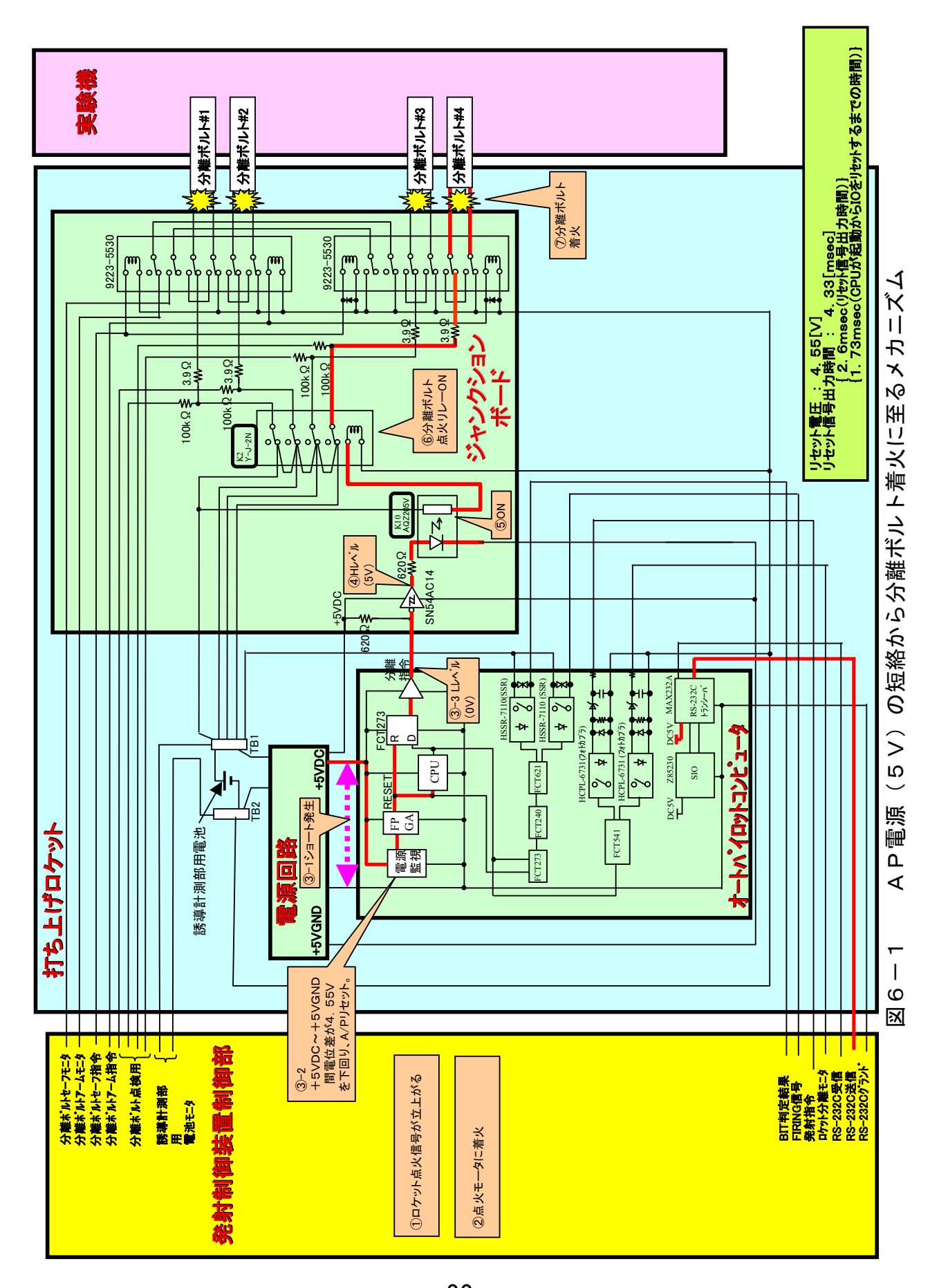
6. 3. フレックスハーネス基板とスルーホールについて

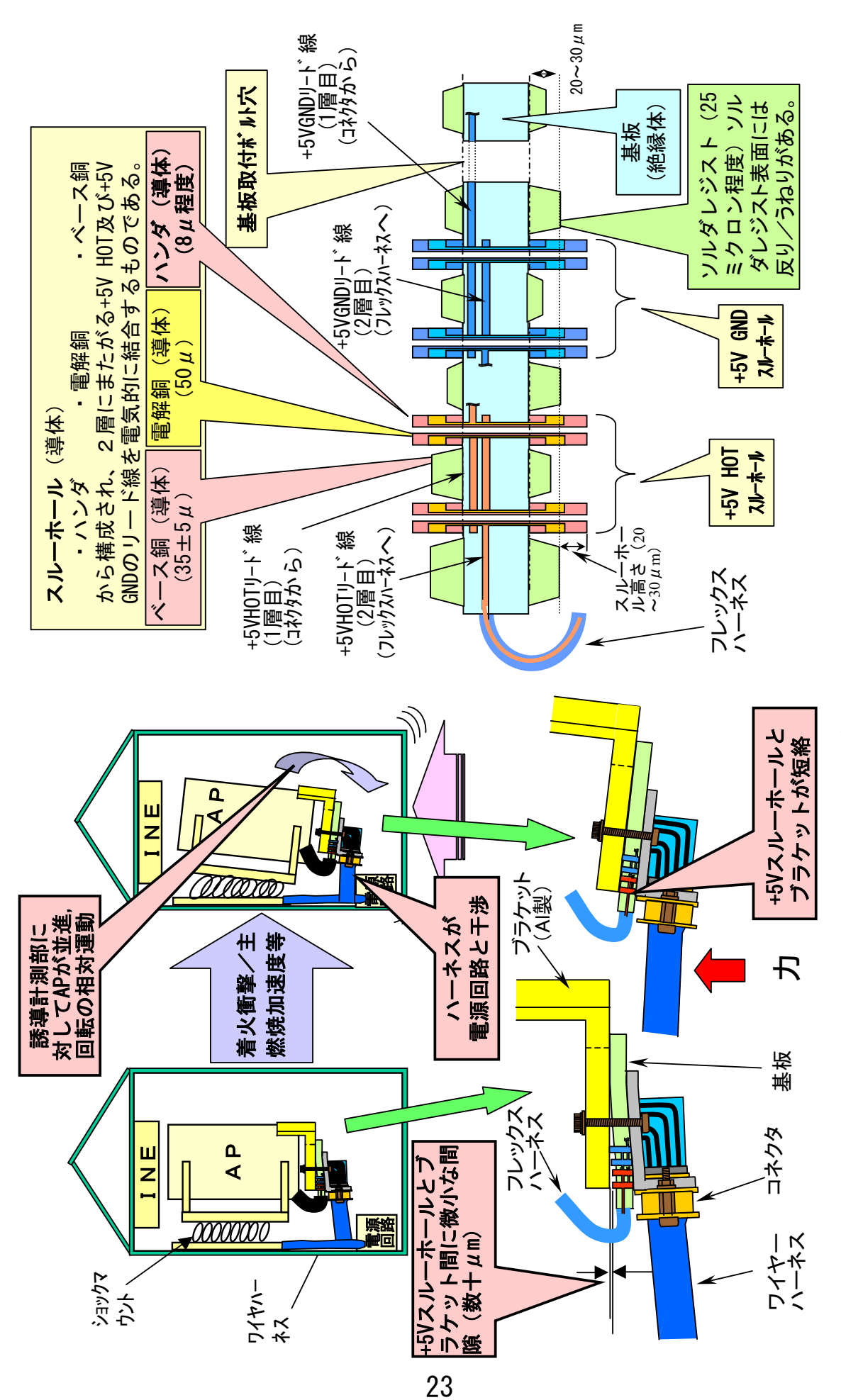
フレックスハーネス基板は、APへの電源、モニタライン、信号ライン等の入出力のための 102 ピンコネクタとフレックスハーネスを接続する部材であり、6 層からなる。5V 電源は 1,2 層に配された 4 本の内部配線を用い、これらを 4 個のスルーホールによってつないでいる。(図 6-3)

このスルーホールは電源容量確保のため当初の設計を変更して増設され、この結果、配置及び構造上、アルミ製ブラケットと短絡し易いものとなった。また、グランド側配線についても同様に1,2層の4本線を4個のスルーホールで結合しており、ブラケットとの短絡が起きる構造であった。このような状況は設計、製造、検査、試験の段階では発見されなかった。

6. 4. 事象の流れ

以上の調査/検証試験から、本不具合は図6-4に示す因果事象の連鎖によって分離ボルト着火に至ったものと推定される。





∢ ന ١ ဖ 図 P フレックスハーネス基板短絡のメカニズム ⋖ $^{\circ}$

9 図

Pフレックスハーネス基板の概念図

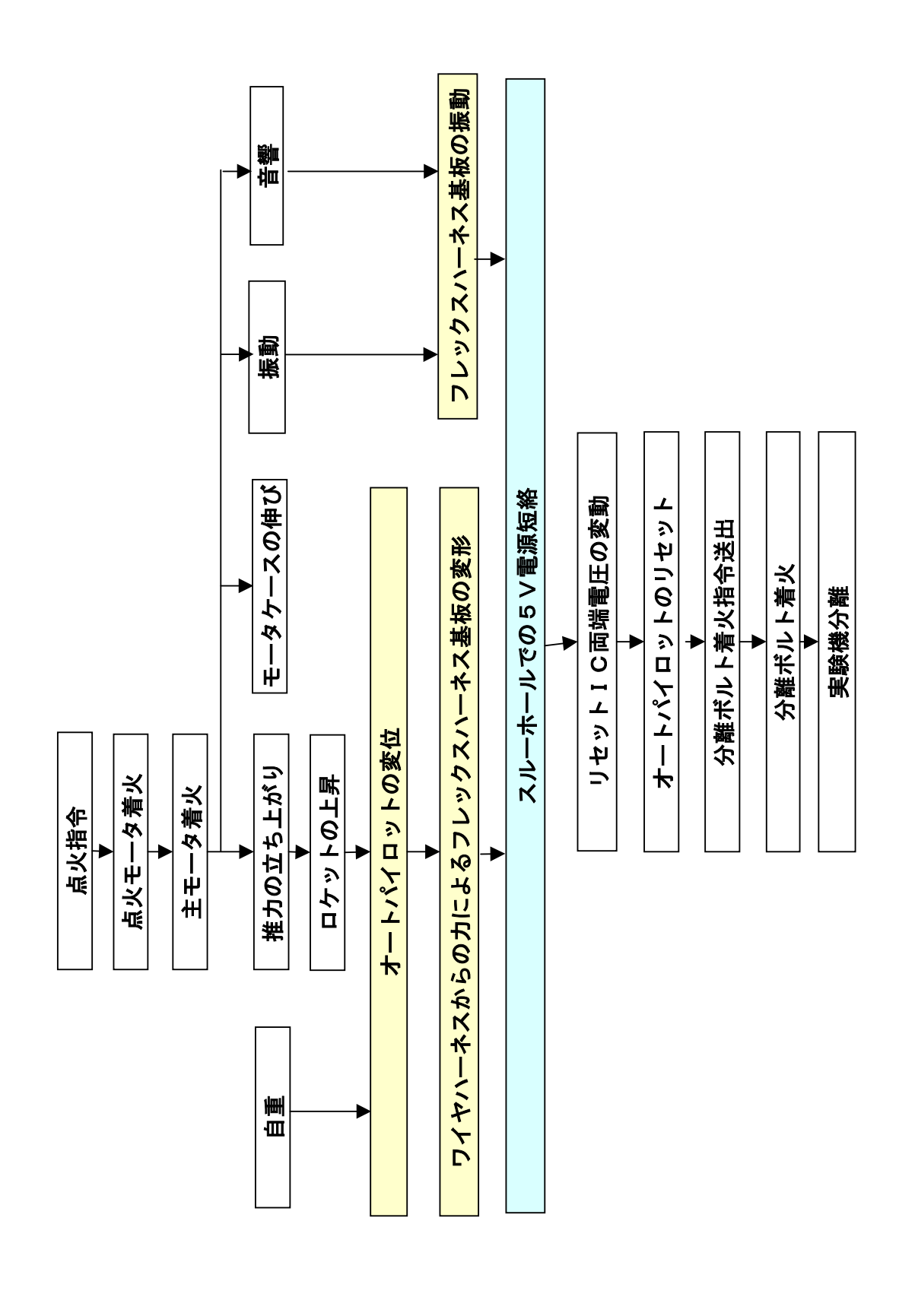


図6-4 実験機分離までの事象の流れ

7. まとめ

平成14年7月14日の豪州ウーメラ実験場で実施した小型超音速実験機(ロケット実験機)の飛行実験において、実験機がロケット着火直後にロケットから脱落して飛行実験は失敗した。原因調査委員会はその直後より約3ヶ月にわたり、科学的及び技術的観点からの原因調査を行った。

実験機のロケットからの脱落という失敗事象は以下の通り生じたものと推定された。

ロケット誘導計測部内の防振システムに取り付けられたロケット誘導制御コンピュータ (オートパイロット: AP) が、ロケット発射時の加速等により変位して、AP入出力基板に接続されたハーネス (被覆電線束) が、近接して取り付けられていた電気回路ボックスに接触した。このため、AP入出力基板がハーネスから力を受けて変形し、基板の5V電源ラインのスルーホール部が、ブラケット (基板取り付け用金具) に接触してグランドに短絡した。基板の5V電源部の短絡によりAP供給電源電圧が低下してAPがリセットし、その結果として分離指令が発せられて分離ボルトが電気的に作動した。これによって実験機はロケットより脱落した。

原因調査の目的であった科学的・技術的な原因究明の結論としては、上記の事象を引き起こした要因が次の不適切な構造及び機器配置にあったものと考える。

- (1) 電源供給容量の改善のため、維持設計段階の設計変更により設けたAP入出力 基板の5V電源スルーホールが、これを固定するブラケットに容易に接触し得る 構造となっていたこと。
- (2) ロケット発射時の加速や振動等により、APと電源回路ボックスが相互に干渉 し得る機器配置となっていたこと。

なお、上記の要因が設計、製造、機能試験等からなる一連の開発過程で見いだされなかったことも関与しているものと考える。

今回の調査の過程において進めてきたFTA解析、現品調査、及び検証試験の結果では、以下の様な諸事項も明らかとなった。

- 事象発生に至った諸イベントについては、その発生時刻の特定を含めて高い確度で 把握するに至り、推定原因と現象の解釈に十分な論理性が見出された。
- その他AP及び周辺部ならびにシステム設計等に関連する技術的な留意事項が明ら かになった。

今後の対策検討においては、問題が他にないか、さらに点検を行うとともに、ここに判明した技術的問題の背景についても迅速に調査することを提言する。本原因調査で判明した事実や行った解析・分析がこれに役立つことを期待するとともに、今後の研究開発において我が国航空宇宙関連機関に蓄積された技術がより有効かつ円滑に活用して進められることを望むものである。

付録

		貝
1.	AP のスルーホールと短絡	A1-1~A1-14
2.	事象の明確化	A2-1~A2-28
3.	FTAの詳細	A3-1~A3-13
4.	現品調査と検証試験の詳細	A4-1~A4-16
5.	実験システムの概要	A5-1~A5-19
6.	調査委員会の活動	A6-1~A6-4

付録1. APのスルーホールと短絡

(1) APのショックマウント

打上時および燃焼中にロケット本体から入力される衝撃/振動/音響等のAPへの機械的環境条件を緩和するために、APは図A1-1に示すようにループワイヤを用いたショックマウント(防振台)を介して誘導計測部に搭載されている。

このショックマウントはAPへの荷重に対して図 A1-1 の右図に示すように変形することによってロケットからAPに伝達される機械環境を低減する機能を有する。

ショックマウントは図 A1-2 に示す防振特性を有することから、ロケットモータ点火時のような比較的高周波の衝撃に対しては効果的であるが、ロケット推力立ち上がり時のような比較的緩やかな衝撃に対しては防振効果が小さくなることが分かる。

さらに、ショックマウントの共振周波数 (3.3Hz) 前後の振動入力に対しては、入力変位よりもAPの変位が大きくなることから、ロケット推力立ち上がり時のAPの変位は大きいものと推察される。

4号機の誘導計測部に1号機のワイヤハーネスを1号機での実装を模擬して取り付けて、ワイヤハーネスと電源回路との干渉を検証した。

誘導計測部内でのAPのワイヤハーネスと隣接する電源回路との幾何学関係について、誘導計測部が水平の状態では、図A1-3 左図にみられるように、電源回路とワイヤハーネス間にはある程度のクリアランスが見られるものの、打上形態(斜角 70 度)に近い状態として誘導計測部を垂直にした場合には図A1-3 右図にみられるように、APの自重とショックマウントの柔軟性によってAPが変位し、その結果、ワイヤハーネスが電源回路にほとんど接触する状態となることが確認された。

上記の事実から、APの搭載に使用したショックマウントの特性によって、打上姿勢でのAPの自重による変位が大きくなりワイヤハーネスが電源回路と干渉する可能性が高く、さらに、ロケット点火/推力立ち上がり時の衝撃によるAPの変位が大きいことが推定される。

(2) スルーホールの短絡

1 号機のAPのフレックスハーネス基板は墜落時の衝撃でブラケット部が曲がっているものの、図A1-4に観察されるようにスルーホールとブラケットが短絡する幾何学的関係にあることが確認された。

また、APのショックマウントの剛性が低いことから、ロケット点火モータ着火や主モータ着火に伴うモータケースの伸び/振動/音響、ロケットの上昇、更に、打上げ姿勢による自重などに要因して、誘導計測部に対するAPの相対位置が変位して、APに隣接して搭載されている電源回路とAPのワイヤハーネスが干渉すると推論された。これらの推論を明確化し、スルーホール短絡の発生メカニズムの検証として、環境要因と考えられるロケット燃焼音響および衝撃の影響を見るため、「音響加振試験」、「落下衝撃試験」を実施した。

1)音響加振試験

4号機の誘導計測部を供試体として、図 A1-5 に示すように、打上げ姿勢での APO 自重による変位を模擬するために誘導計測部の機軸を垂直にし、更に、ロケットモータケースの伸びや上昇に伴う AP への慣性力を模擬するために下方向に荷重を付加して音響加振を実施した。加振音響レベルとして $153\sim156$ dB で試験を実施したが、いずれのケースでも当該部での短絡は発生しなかった。これは、試験で実施した周波数帯域($50\sim2.5$ kHz)でのフレックスハーネス基板の振幅が小さい(解析値最大 $0.1~\mu$ m)ためであり、このことから、音響が直接的単独原因にはならないと推察された。

②落下衝擊試験

打上時のロケット点火モータ着火衝撃、モータケースの伸びや上昇に伴うダイナミックな荷重による影響を検証するために、図 A1-6 に示すよう形態で落下衝撃試験を実施した。

供試体には4号機の誘導計測部を用い、さらに1号機のワイヤハーネスを事故機と同様の状態に固定して、APの機械的変位に伴うワイヤハーネスの電源回路との干渉を模擬することを考慮した。

試験は、比較的高周波の点火モータ着火時の衝撃と比較的低周波で振幅が支配的であるロケットモータ点火後の主推力立ち上がり時の衝撃を模擬し、事故機の INE が検出した加速度データの時間プロファイルの特徴を再現することを考慮して、落下面に設けたマットの剛性を設定した。

図 A1-6 に示すように、ロケット点火モータ着火時の衝撃を模擬した比較的短い衝撃を与えたケースではスルーホールの短絡は発生しなかった。

一方、ロケットモータ点火後の主推力立ち上がりを模擬した比較的長い衝撃を与えたケースにおいて短絡が発生した。この検証試験から、与えた衝撃がAPのショックマウントの固有振動数に近く、そのために生ずる衝撃付加時のAPの大きな変位が支配的であり、ワイヤハーネスがAPに隣接して搭載されている電源回路と干渉したことなどによることが確認された。

③打上形態AP(+5V)電源短絡試験

飛行実験ではAPに異常が発生し、ロケット PCM が途絶した時刻に図 A1-7 左図に示すように、実験機の temp センサ値にノイズが観測された。

この事象は、+5V 電源短絡によってロケット/実験機間で瞬時のサージ電流等の電気的作用によって実験機に搭載されている空力センサの一つである temp センサ(熱電対の電圧を 1000 倍しているために電圧変動に対する感度が高い)に影響が生じたものと推察された。

上記推論の妥当性を検証するために、ロケット4号機と実験機1号機を供試体として、ロケット/実験機を結合した打ち上げ形態においてフレックスハーネス基板に外力を加えることで、スルーホールとブラケットとに意図的に短絡を発生させ、同様の事象が発生するかの確認を行った。この結果、図A1-7 右図に示すように、+5V電源が短絡し、APにリセットがかかり、ロケット PCM が途絶した時刻に実験機の tempセンサ値に同様のノイズが発生することを確認した。

(3) スルーホールの説明

A P フレックスハーネス基板は 6 層からなる多層基板であり、フレックスハーネスも 6 層で構成されている。

図 A1-8 に示すように、基板とフレックスハーネスの 1 層目は、外部のワイヤハーネスからの+5V 電源の HOT と GND ラインがコネクタを介して接続されており、フレックスハーネスのフィルムには導電性のパターンは設けられていない。また、2 層目の基板とフレックスハーネスのフィルムは、A P 内部に一部の信号と並行して+5V 電源のHOT と GND 等を導くための導電性のパターンが設けられている。

上記1層目と2層目の+5V電源 HOTと GND とを層間を通して接続するために、スルーホールが設けられている。

スルーホールは図 A1-9 に示すように、基板の層間を貫通した穴を電解銅でメッキすることによって異なる層間の接続を確保するものである。

また、電解銅表面の酸化防止のためにハンダメッキが施されている。ハンダメッキの際に、不要な部位へのハンダの付着を防止するために、ハンダメッキの対象外の領域に事前にソルダレジストが塗布される。

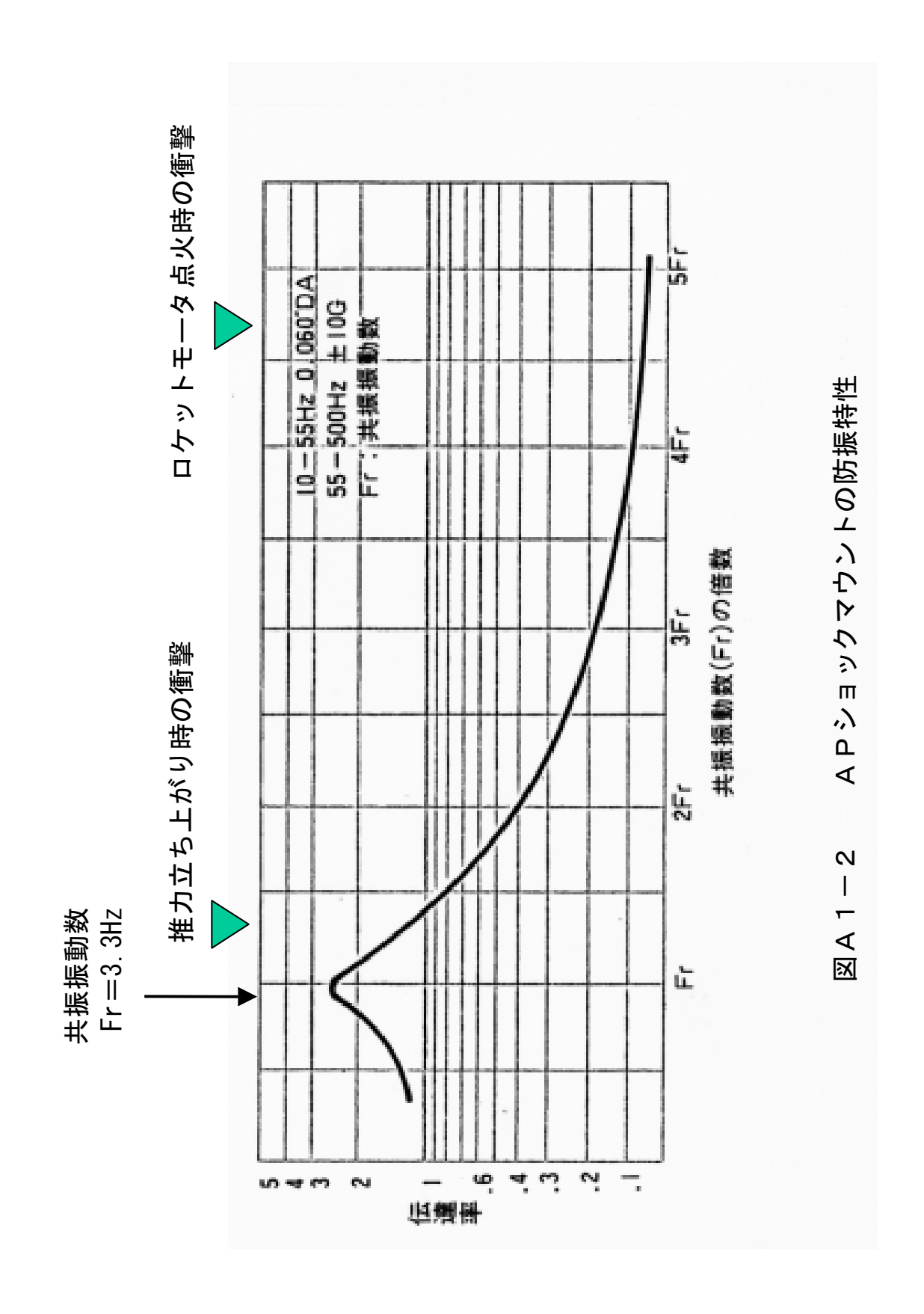
その場合、ソルダレジストの塗布厚さやハンダメッキの厚さが均一でないことによって、ソルダレジスト表面からのスルーホール先端の高さにばらつきが生じる。

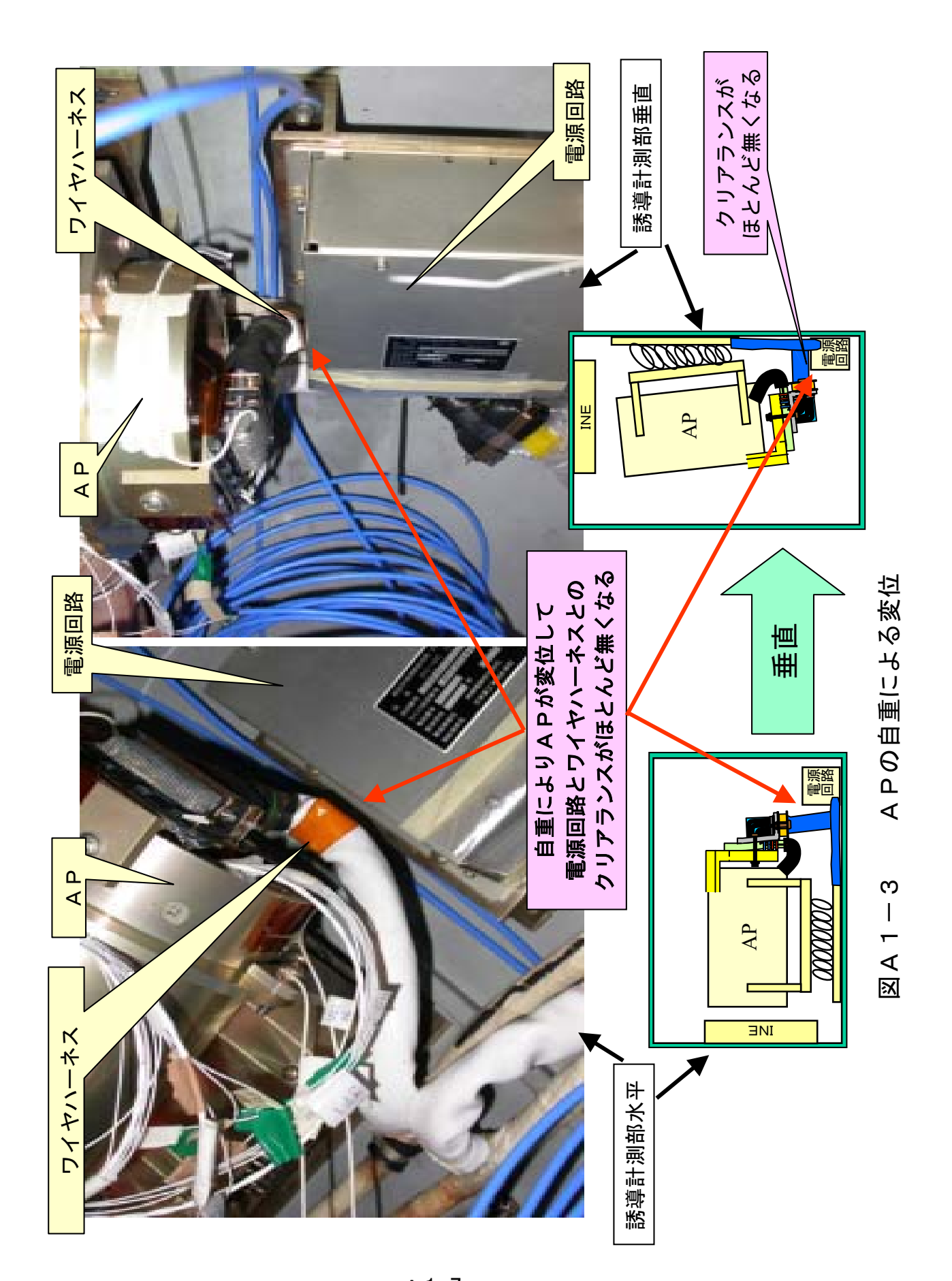
初度設計では、電源ラインは他の信号ラインと同一幅のパターンであり、フレックスハーネス基板のコネクタピンに 1 対 1 に対応して各層でパターンを設定していた。しかしながら、A Pへの電源供給容量を改善するために、図 A1-10 に示すように設

計変更して、基板パターン上の電源ラインの HOT、GND 各 4 本をまとめて各々 1 本の幅 広いラインに変更した。そのため、基板面積上の制約から、同一層でのパターン形成 が困難になり、1層目をコネクタに接続する層とし、2層目をフレックスハーネスに 接続する層とした。この処置の対応して、1層目と2層目の+5VHOT、GND の基板 パターンを層間で接続するために図 A1-9 に示したようにスルーホールが設けられた。

図A1-1 APショックマウントと荷重による変形

A 1-5





A 1-7



1号機APブラケット/フレックスハーネス短絡現品確認 ⊠ A 1 − 4

音響レベル:153dB(地上燃焼試験音響データから設定)

: 6センサ位置

誘導計測部を機軸垂直に設置(打上形態模擬)

【試験形態】

	.]	音響しべ	ル:1530	1B (地上)	燃焼試験	音響レベル:153dB(地上燃焼試験音響データから設定)
逆)			言式馬	試験条件		
刪	No.	音 マシブ	AP 荷重	Gセンサ 位置	短絡確認印加電圧	結
	-			基板上 に設置	50人力	短絡なし。
	2		田		1.5V 入力	短絡なし。
AP本体 の	3	153dB				短絡なし。
を計画 	4			基板上 6.4、7.#		短絡なし。
	2		自重 +3kg	デーズ 思い外 し	50人力	短絡なし。
	9	156dB				短絡なし。
	7	153dB	自重 +12kg			短絡なし。

クシション材

븯

誘導計測部

(胴体外表面

振動入力

荷重印加 (おもり)

クッション材

【考察】 本試験で実施した周波数帯域では、 フレックスハーネス基板の振幅が小さいため、 短絡が発生しなかったものと考えられる。

図A1-5

5 V ライン短絡計測 (オシロスコープ)

A 1-9

(A) 点火時衝擊

不具合発生時加速度(nx)

【荷重印加条件】

印加目標

(B) 主推力立ち

50ms

不具合発生 (以降は推定)

慣性セッカカ

3.0

4g

上がり時

(B)

 $\widehat{\mathsf{A}}$

0.

0.0

1.6

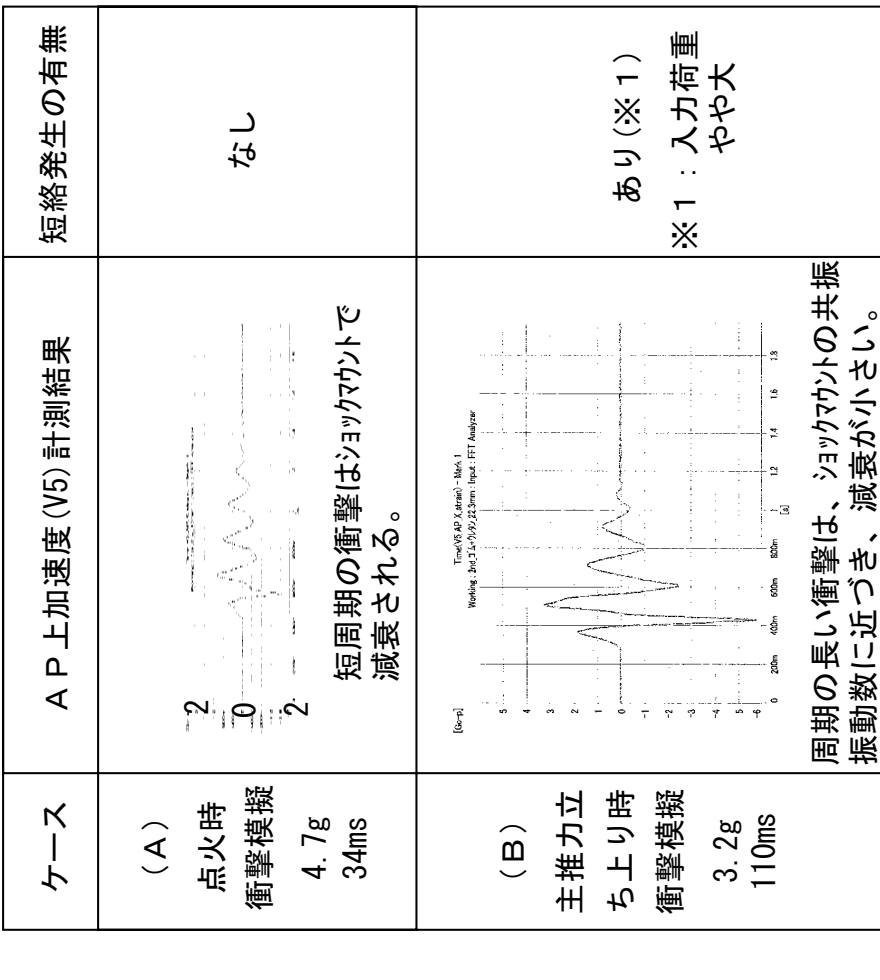
1.2

-1.0

1.7g 100ms

分離機構

【試験形態】



[老際]

才シロス コ−フ゜

外部 7クセスドア

/2

ショックマウント

誘導計測部

▲ : G センサー● : 短絡センサー

内部 内部 記 会 と 日 は は は

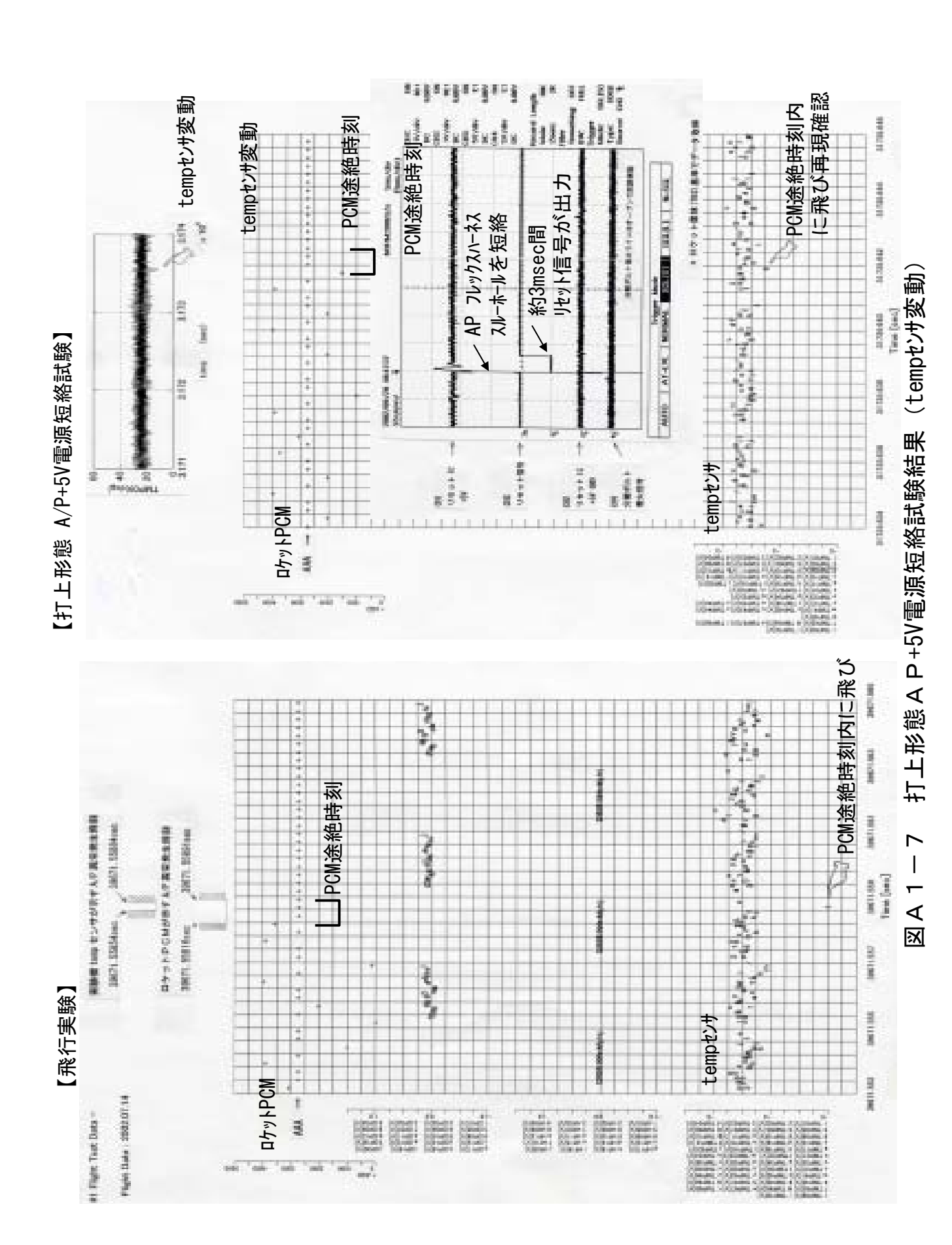
・ 本試験(B)で印加したような低周波数帯域では、A/Pの変位が大きく、短絡が発生しやすいものと考えられる。

【参考】ショックマウントの防振特性



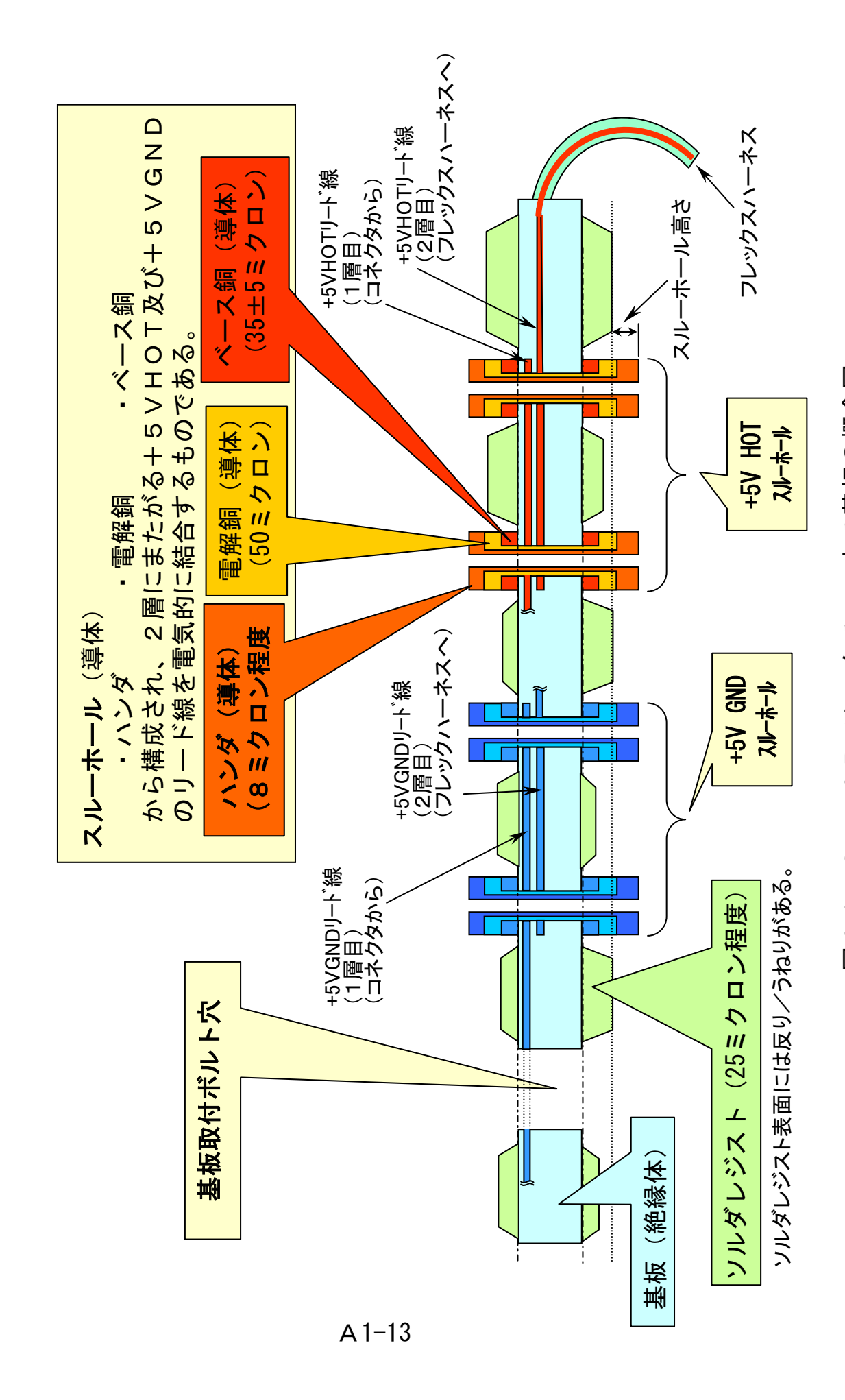
図A1-6 衝撃試験結果

ゴムマット

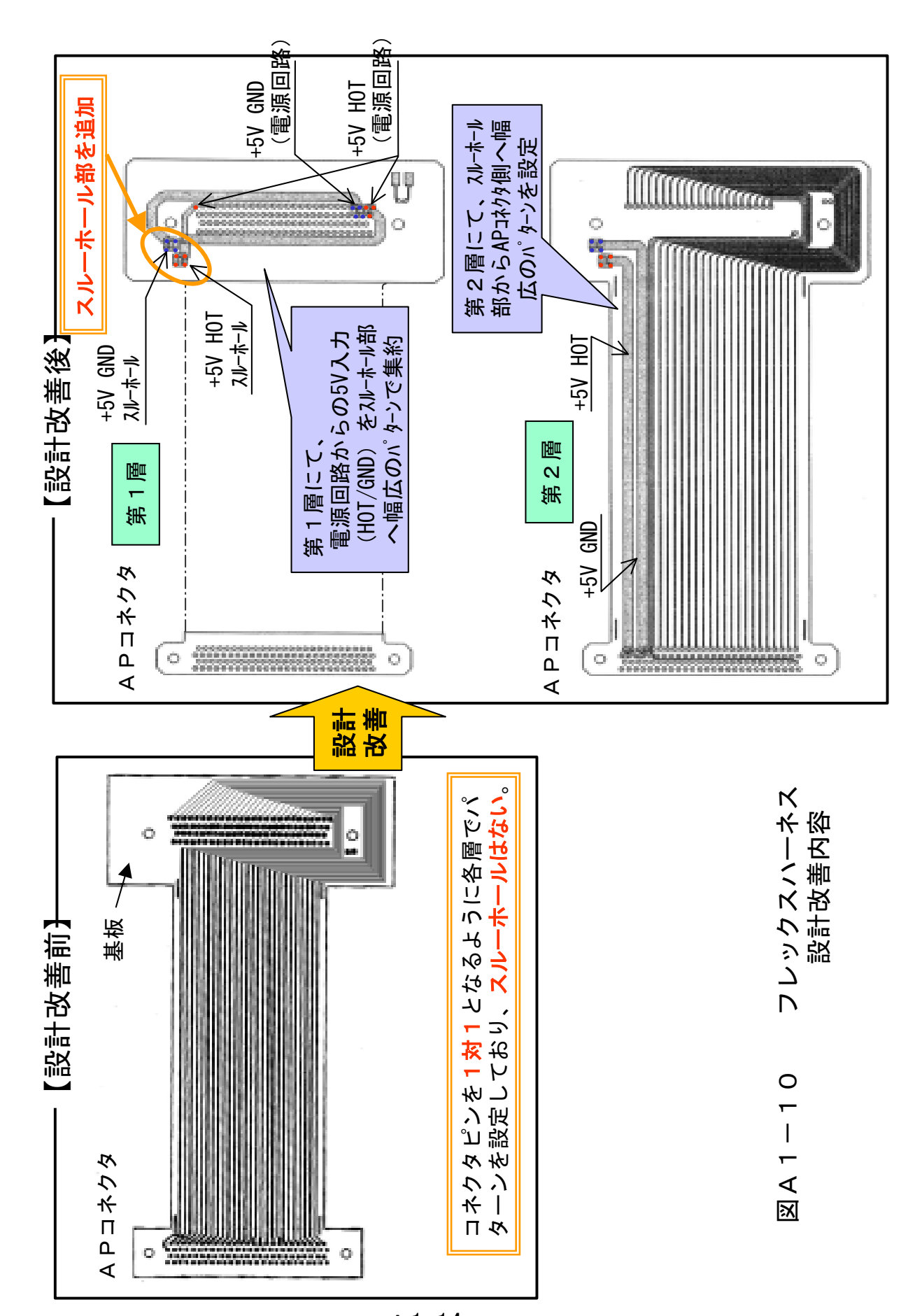


A 1-11

A 1-12



図A1-9 APフレックスハーネス基板の概念図



A 1-14

付録2. 事象の明確化

これまで行ってきた発生事象の明確化作業についてその結果をまとめる。 構成は以下の通り。

- 2. 1. 主要イベント発生時刻
 - (1) ロケットオートパイロット異常発生
 - (2)分離ボルト着火
- 2. 2. ロケット移動量
- 2. 3. 分離後のロケットの飛翔
- 2. 4. アンビリカルケーブルの挙動
 - (1) アンビリカルケーブルへの噴流の影響
 - (2) コネクタ分離の状況
- 2. 5. 分離ボルト着火前後の事象・時系列のまとめ

2.1. 主要イベント発生時刻

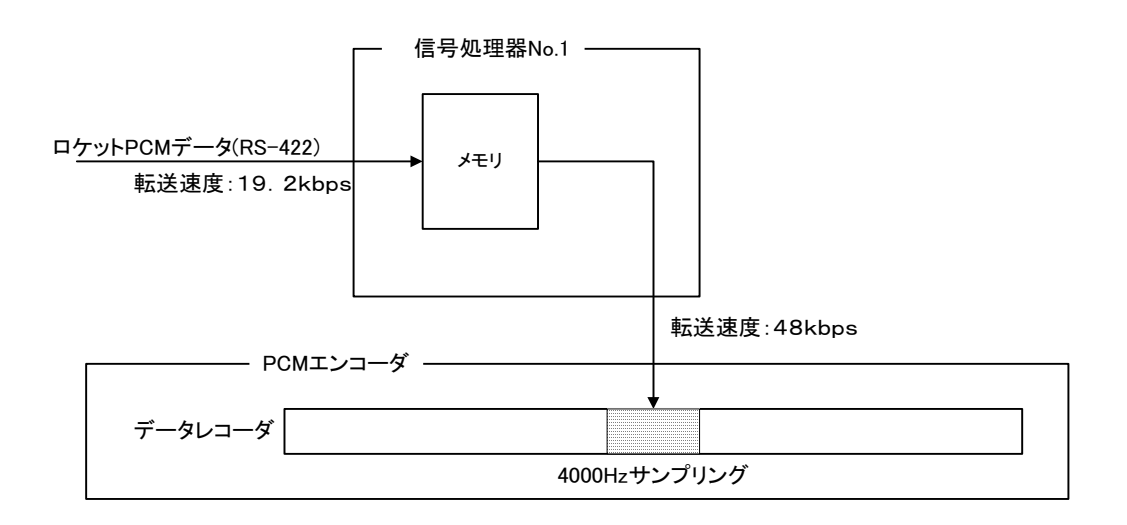
(1) ロケット A/P 異常発生

データレコーダに記録されたロケット PCM データ、実験機各種センサデータをもとに、ロケットの A/P に異常の発生した時刻の推定を行った。その結果を以下に示す。

①ロケット PCM データが示す A/P 異常発生時刻

ロケット PCM データはロケットの A/P により編集されたのち、転送レート 19.2kbps のシリアル転送 (RS-422) で実験機の信号処理器 No.1 に送られ、シリアル/パラレル変換されたのち、その内部メモリに一時的にストアされる。

実験機の PCM エンコーダは 48kbps でそれをサンプルしてゆくが、メモリ内のデータが 12Bit に達していない場合には、データレコーダの該当ワードに"AAA"を書き込むようになっている。



ロケット PCM データとして"AAA"がデータレコーダに記録されるのは下記の3ケースである。

		ケース 1	ケース 2	ケース 3
		(ゲートライン異常)	(クロックライン異常)	(データ送信途絶)
ライン	ケ゛ート	×	0	0
RS-422	クロック	_	×	0
RS-	₸゛-タ	_	_	0
デー	タ送信	_	_	×

注) O:正常 ×:異常(断線・短絡) -:正常・異常の状態にかかわらない

「アンビリカルケーブル類の調査(ロケット〜実験機アンビリカル)」で実施したロケットーアンビリカルケーブル導通・絶縁検査の結果によると、点火モータ内圧信号(P1)出力(+)側と、そのシールド GND との短絡以外、ゲートライン、クロックラインを含め全てのハーネスに異常は認められなかった。しかし、点火モータ内圧信号(P1) はロケット PCM 途絶時には正常に信号を送ってきていたことから、短絡はその後の破壊の中で発生したものと思われる。

よって今回の飛行実験のケースは、上記のケースのうちケース3の、ロケットの A/P に何らかの異常が発生し、データ送信が途絶したものである、と考えられる。

ロケットから実験機に送られ記録された PCM データを図 A2-1 上段に示す。 ロケット PCM データは当初 SYNC パターンも含め正常であったが、 t=39671.5584sec 付近で途絶している("AAA"が連続)。

サンプリングレート及び記録パターンを考慮すると PCM データが示すロケット A/P 異常発生時刻は、

t=39671.5584sec [+0.5, -0.25msec]

となる。

②実験機 temp (coaxial) センサが示す A/P 異常発生時刻

ロケット PCM が途絶した時刻付近の実験機各種空力センサ信号出力を図 A2-1 下段に示す。同図に示されるように、ロケット PCM 途絶時刻付近に temp センサ出力が一時的に大きく飛んでいる。

この現象は最近実施したロケット/実験機結合形態でのロケット A/P 5V 電源短絡試験でも発生している。同試験ではロケット#4 号機を用い、ロケット#1 号機で A/P 5V 供給電源 HOT-RTN スルーホール間に短絡痕の見つかった A/P フレックスハーネスブラケット部で実際に短絡を発生させ、そのときの実験機各種センサの出力を調査した。その結果、図 A2-2 に示すとおり、当該部で短絡を発生させ、それに伴ってロケット PCM が途絶するのと同時刻に temp センサ出力が一時的に飛ぶことが判明した。

この飛びは、短絡の瞬間 5V GND に生じるサージが 15V GND 経由で実験機の信号処理器 No. 1 の信号 GND を変動させるためであると思われる。temp センサ以外のセンサ (DP, HF) には飛びは見られなかった。temp センサの増幅率は 1000 倍と他の空力センサに比べはるかに大きく、これも temp センサ出力のみが大きく飛ぶー因であると思われる。

同データをもとに、実験機 temp センサが示す A/P 異常発生時刻は、

t=39671.5587sec [+0, -0.15msec]

となる。

③ロケット A/P 異常発生時刻

ロケット PCM 及び実験機 temp センサそれぞれが示すロケット A/P 異常発生時刻

の存在範囲を図 A2-1 に示す。

ロケットの A/P に異常が発生した時刻はこれらの共通の時刻であり、

t=39671.5587sec [+0, -0.15msec]

となる。

(2)分離ボルト着火時刻

データレコーダに記録された信号をもとに分離ボルト着火時刻の推定を行った。 その結果を以下にまとめる。

①時間遅れの補正

各信号が実験機の信号処理機で PCM 信号として記録される時刻は、センサがその信号を検知した時刻に対し時間遅れを有している。これらの時間遅れを下表にまとめる。

	日日ケの时间性化	_		
信号源	信号名称	サンフ゜リンク゛	時間遅∤	ı[msec]
		[Hz]	最小値	最大値
実験機 Nz センサ信号	Nzs	50	40	60
実験機 IMU 信号	p,q,r, $ heta$, ϕ , ψ ,	50	45	70
	Nx, Ny, Nz			
点火モータ内圧信号	P1, P2	500	0	0
Temp(Coaxial) センサ信	TEMP01∼TEMP70	250	0	0
号				
構造振動加速度	ACCO1, ACCO2	40000	0	0

各信号の時間遅れ

②点火モータ内圧センサ (P1)出力変動に関する考察

図 A2-3 に示されるように、分離ボルト着火と思われる時間帯に、2 つある点火モータ内圧信号 (P1、P2) のうち P1 に変動が生じている。「内圧センサ確認試験」を実施したところ、図 A2-4 に示されるように衝撃印加では P 1 のみ変動し、P 2 は変動しない現象が確認された。従って、点火モータ内圧 (P 1) の変動は、分離ボルト着火時の衝撃による可能性が高いと考える。

③Temp (Coaxial) センサ信号に関する考察

機体表面の境界層遷移計測のために設置された Temp(Coaxial) センサの各チャンネルの出力には、一部のチャンネルで t=39671.569 付近に瞬間的な飛びがある。図 A2-5 に同時刻付近($\pm 6msec$)の全チャンネルの信号出力を重ね書いて示す。図に示される通り $t=39671.5682 \sim 39671.5687$ の間にサンプルされたデータにのみ大きな飛びが見られる。出力の飛んでいるセンサの間に位置的な相関がな

いこと、Temp センサが機械的衝撃に反応するとは考えにくいことから、この飛びは電気的な要因によるものであると考えられる。

出力の飛んでいる時刻が分離ボルトの着火によるものと思われる点火モータ内 圧信号(P1)の飛んでいる時刻と一致すること等から、この Temp センサの飛びも 分離ボルトの着火に関連する事象であると思われる。

④構造振動加速度センサ信号に関する考察

左右それぞれの外翼中央部付近に設置された構造振動加速度センサ (ACC01, ACC02) 出力を図 A2-6 上段に示す。

実験機の左右の主翼は当初逆位相でゆれているが、t = 39671.5688 付近で突然 同位相に変化している。

同位相のモードを強調するため、左右の加速度センサ出力を加算したものを同 図中段に示す。上記の時刻を境に同位相のモードが急大していることが判る。

同図下段には ACCO1、ACCO2 と点火モータ内圧信号(P1)を併せて示す。

前方結合部、後方結合部それぞれの分離ボルトから ACC01、ACC02 位置まで振動が伝搬するのに必要な時間を、アルミ構造中を伝播する音速を 5040 m/s として求めると、それぞれ 0.8 msec、0.4 msec となり、これらを補正すると、分離ボルト着火推定時刻は $t=39671.5680 \sim 39671.5684$ となる。

左右主翼の振動の位相並びに振幅の突然変化する時刻は分離ボルト着火を示していると思われる点火モータ内圧信号 (P1) に飛びの発生する時刻と一致しており、このことからこの構造振動の急変もやはり分離ボルトの着火に伴って発生したものと考えられる。

⑤分離ボルト着火時刻の存在範囲

以上で述べたように、実験機のデータレコーダに記録された Nz センサ信号、IMU 信号、構造振動加速度信号、点火モータ内圧信号には、それぞれ分離ボルト着火時の影響と考えられる衝撃的な変化がみられた。

この分離ボルト着火衝撃による各信号の変化の発生時刻と、各信号のサンプリング間隔とを考慮した分離ボルト着火時刻の存在範囲を求め、図 A2-7 に示す。

なお、図中には①で述べた時間遅れを考慮し、各信号に補正を加えたものが示されている。実線は信号遅れが最小の場合、破線は信号遅れが最大の場合をそれ ぞれ示す。

- ・Nzセンサ信号が示す分離ボルト着火時刻の存在範囲
- IMU信号が示す分離ボルト着火時刻の存在範囲
- ・点火モータ内圧が示す分離ボルト着火時刻の存在範囲

構造振動加速度が示す分離ボルト着火時刻の存在範囲

これらの全ての存在範囲を満足する時刻が分離ボルトの着火時刻であり、それは下記の値となる。

<u>分離ボルト着火時刻 39671.5684sec [+0, -0.4msec]</u>

これは分離ボルト着火に関連して発生したと思われる Temp(Coaxial)センサ出力の瞬間的な飛びの時刻とも一致している。

NEXST-1 TIME HISTORY

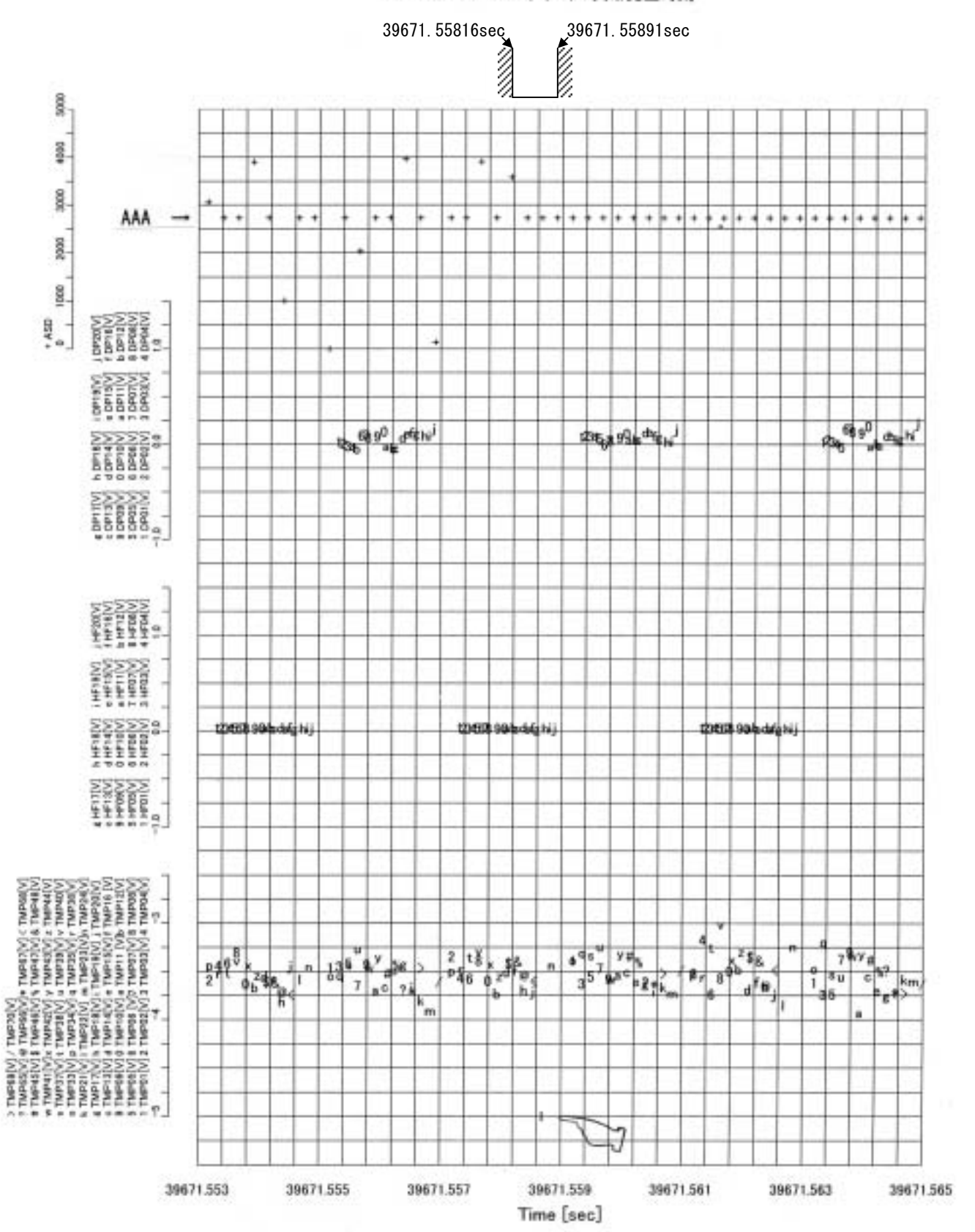
- #1 Flight Test Data -

Flight Date: 2002.07.14

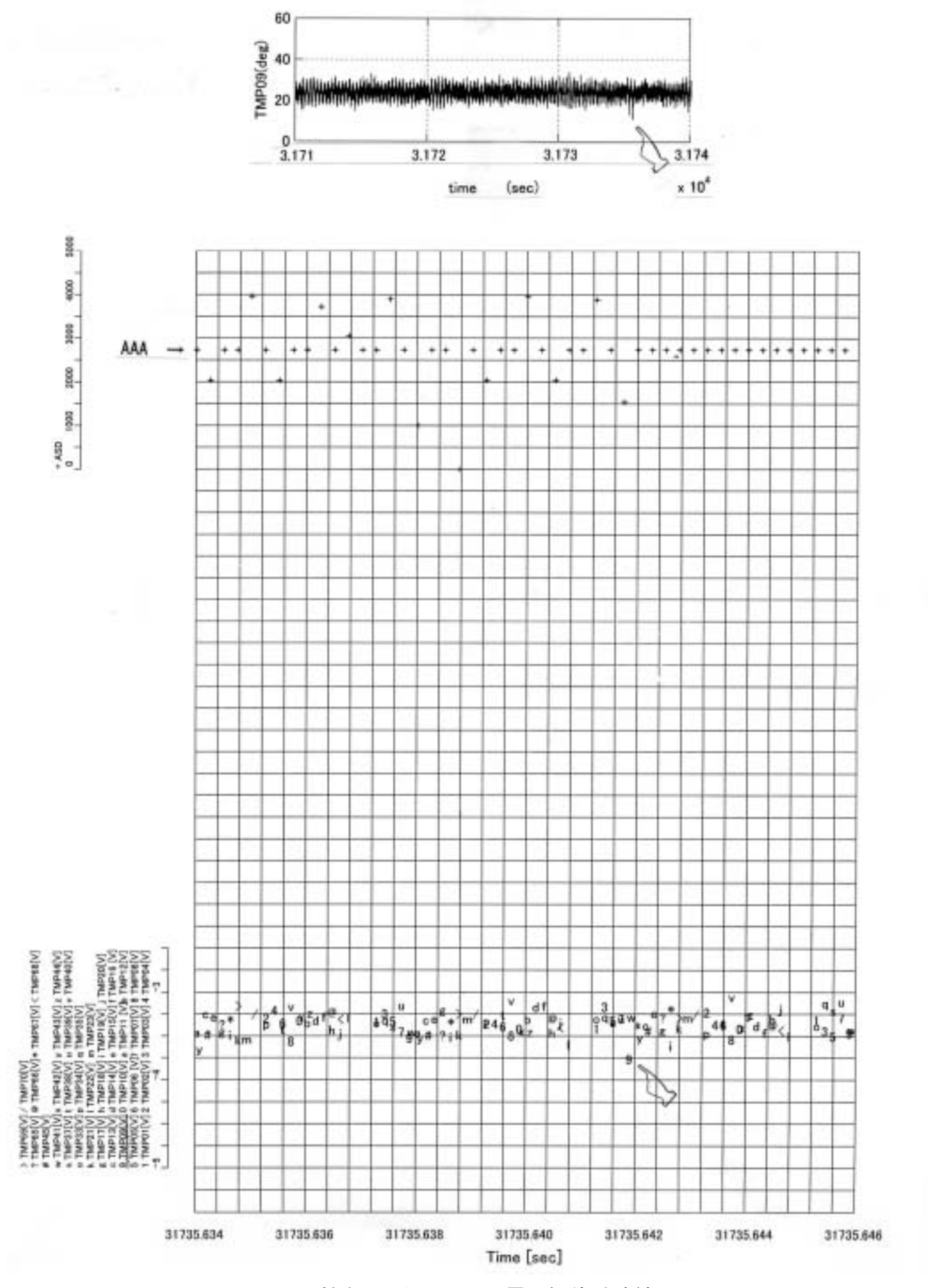
実験機 temp センサが示す A/P 異常発生時刻

39671.55854sec 39671.55869sec

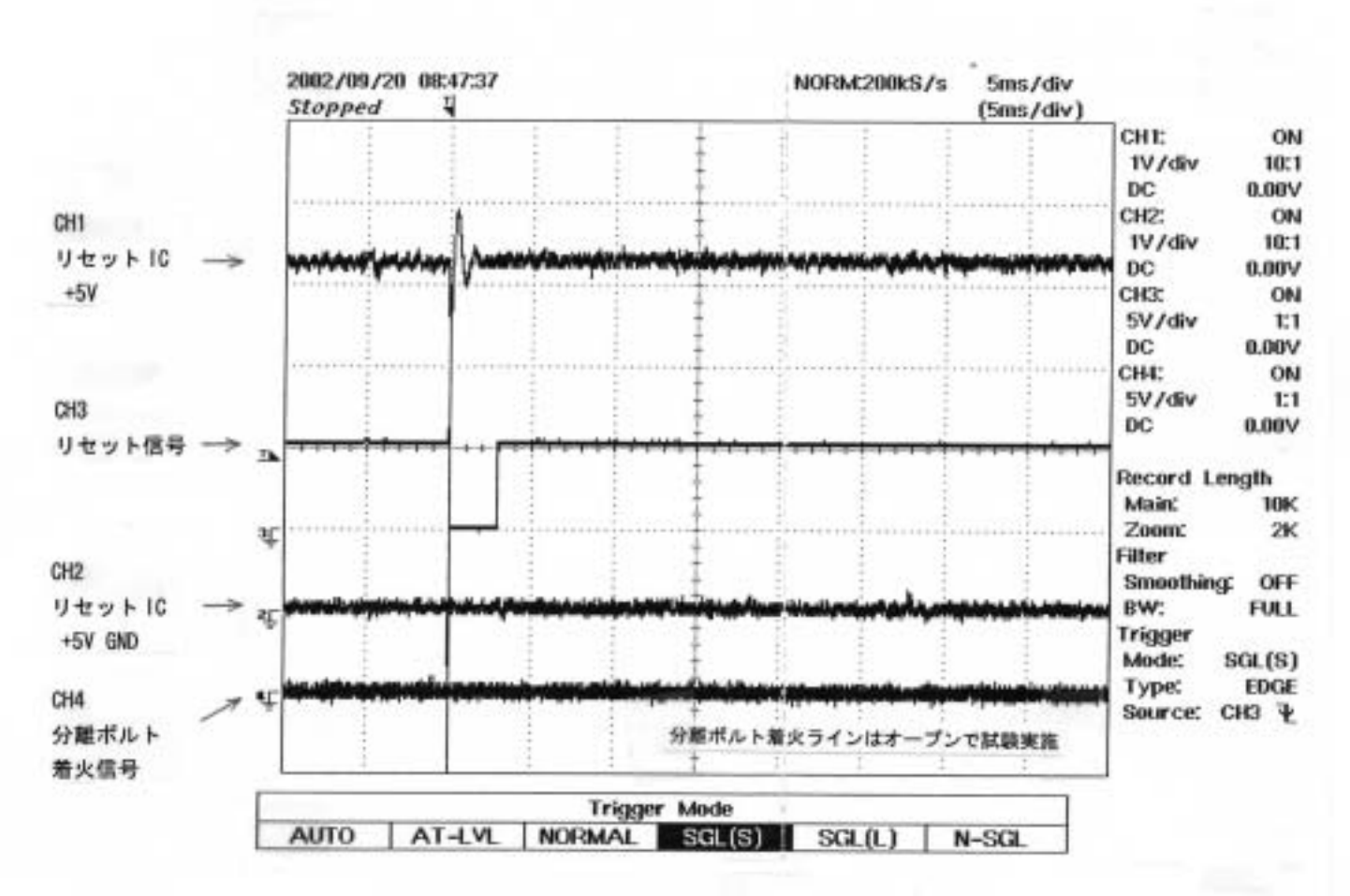
ロケットPCMが示す A/P 異常発生時刻



図A2-1 ロケットA/P異常発生時刻

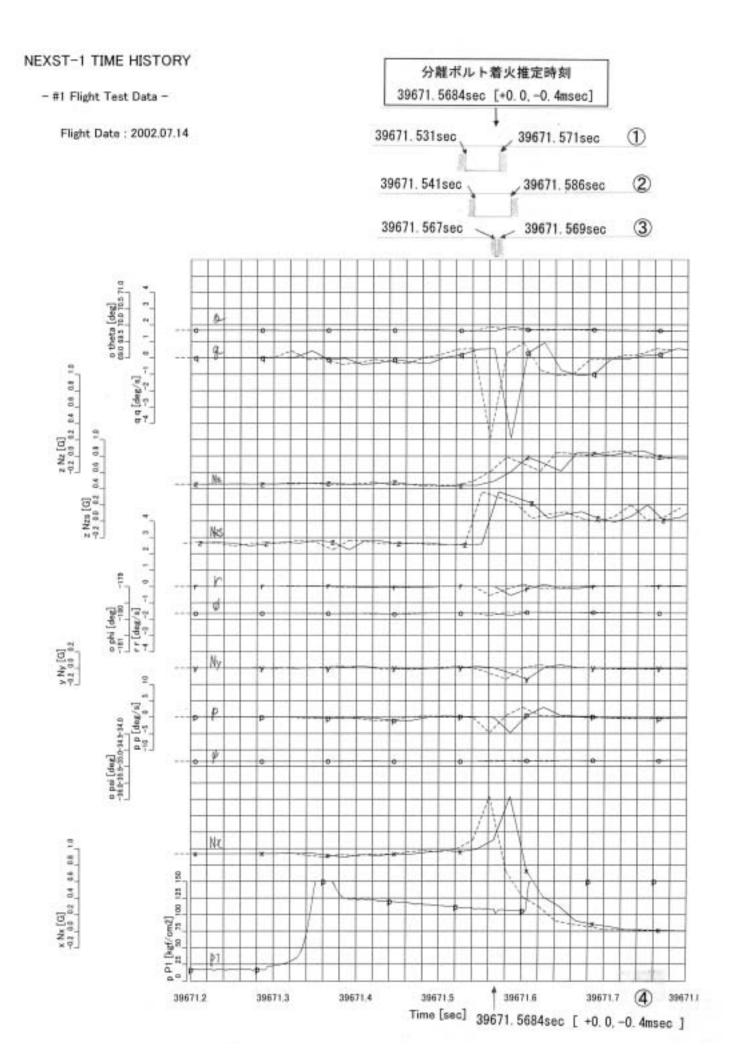


図A2-2 ロケット#4号機を用いた A/P 5V 電源短絡試験結果(1/2)

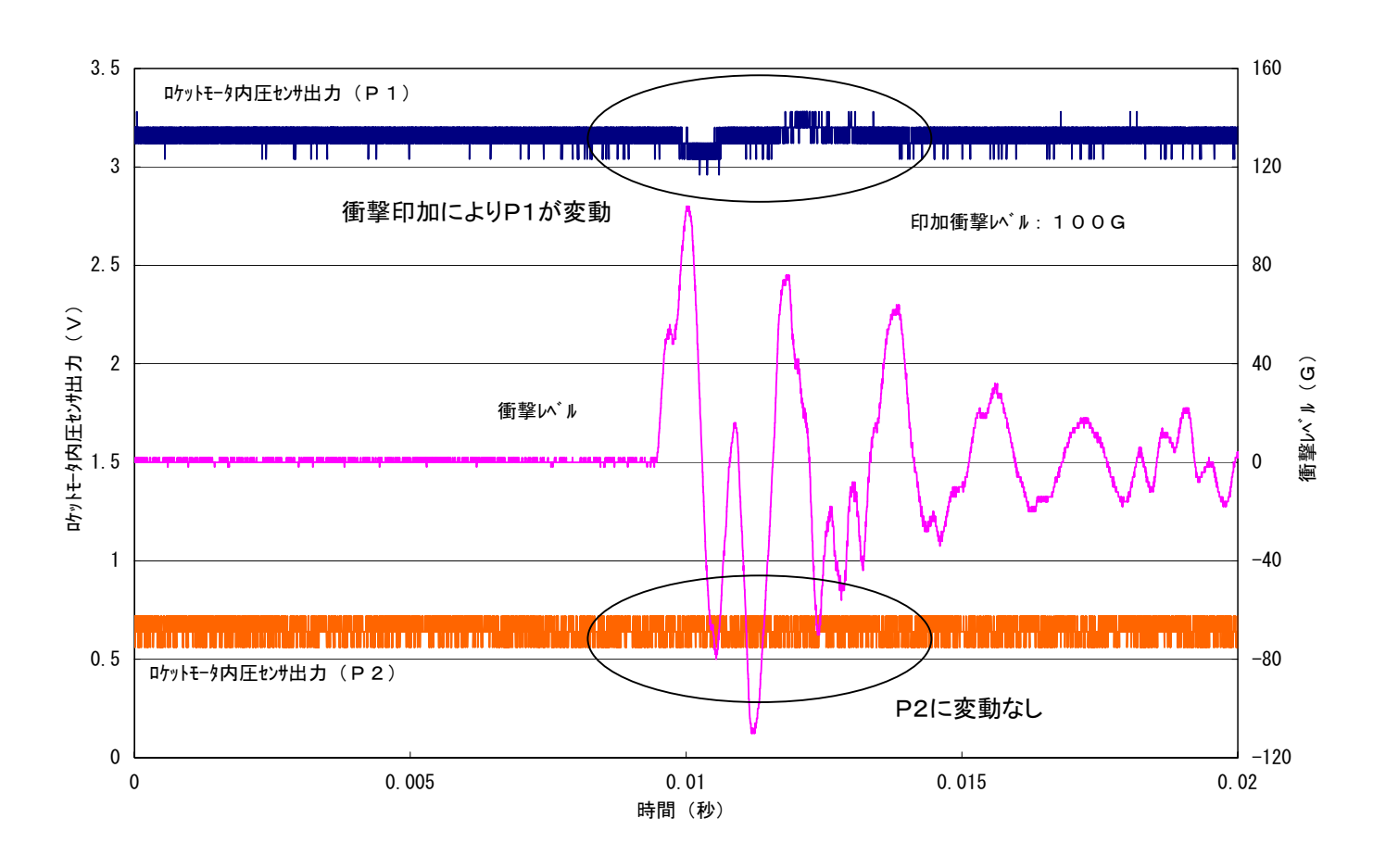


* ロケット筐体(TB2)基準でデータ取得

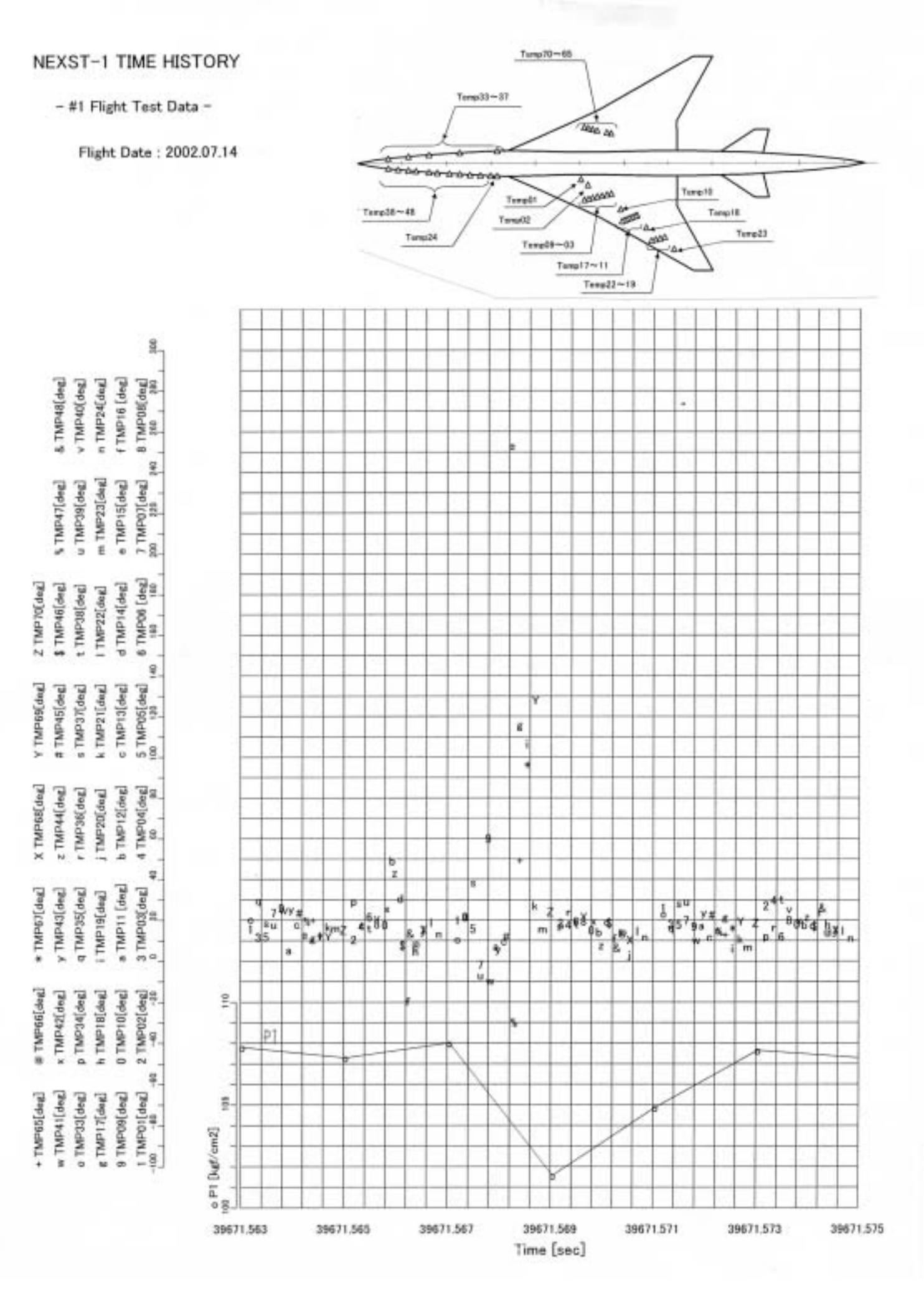
図A2-2 ロケット#4号機を用いた A/P 5V 電源短絡試験結果(2/2)



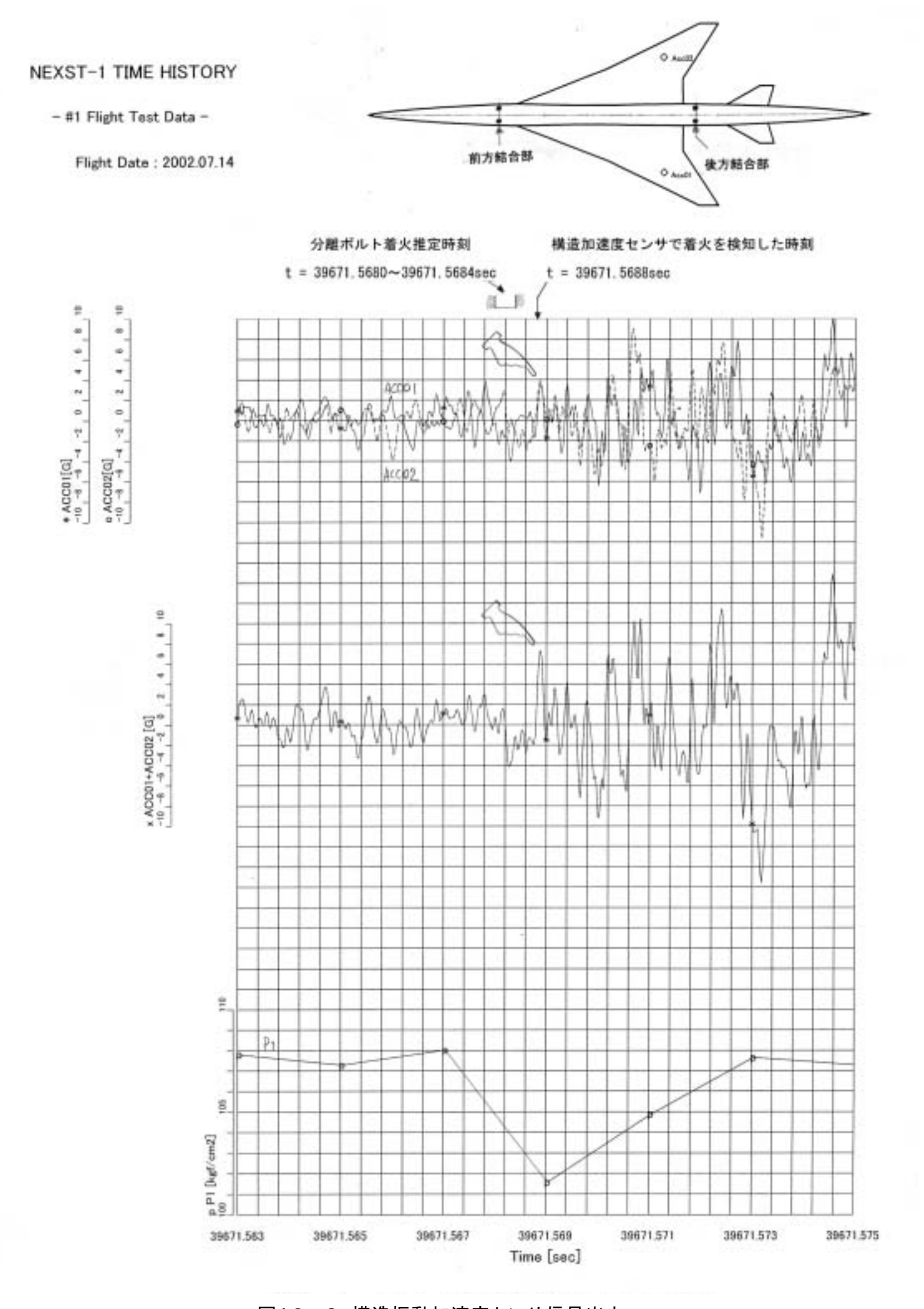
図A2-3 点火モータ内圧センサ出力変動



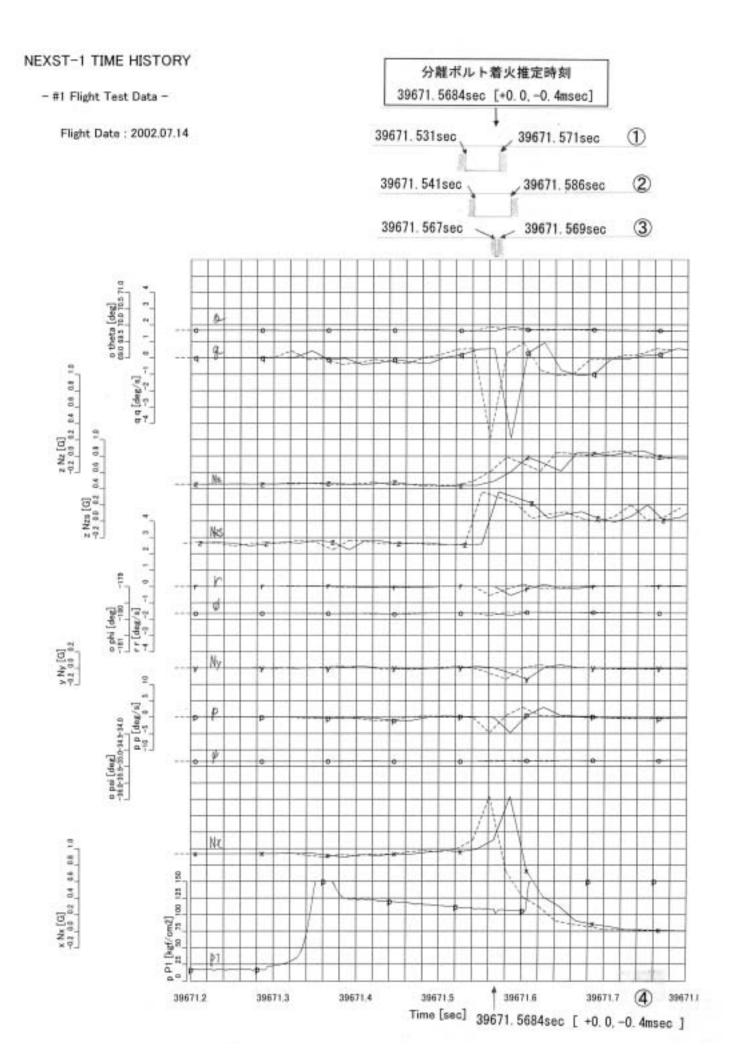
図A2-4 内圧センサ確認試験結果



図A2-5 Temp(Coaxial)センサ信号出力(t=39671.563~39671.575)



図A2-6 構造振動加速度センサ信号出力



図A2-7 分離ボルト着火時刻の推定

2. 2. ロケット移動量

ロケットA/P異常発生時刻および分離ボルト着火時刻でのロケットの移動量 を推定されたロケット推力を用いて算出した。

ロケット推力をもとに下式により算出したロケットの推定前後方向加速度 $(N \times CAL_{rigid})$ を、データレコーダに記録された実験機 I M U 前後方向加速度 $(N \times IMU)$ 、点火モータ内圧 (P 1)、実験機主翼構造振動加速度 (ACCO1, ACCO2) と比較して図 A2-8 に示す。

推定ロケット推力(T)×cosε - 摩擦力

ロケット推定前後方向加速度(N x CAL_{rigid})=-

重量(W)

T:推定ロケット推力

ε: ノズルカント角=2.9deg

F:摩擦力= μ ・(W・cos θ +T・sin ϵ)

(θ:射角=70deg、μ:摩擦係数=オンランチャ試験時実測値 0.1766 を使用)

W:7780kg(ロケットモータ点火直後のため打上形態初期重量を使用)

尚、 $N \times IMU$ は $I \to IMU$ が加速度を検知してから信号処理機で PCM 信号として記録されるまでの間の時間遅れを有しているため、これを補正したものを図中に示している(実線は時間遅れが最小(45msec)の場合、破線は時間遅れが最大(70msec)の場合、一点鎖線は $N \times IMU$ のピークと分離ボルト着火推定時刻の整合をとった(63msec)場合)。 $P \to I \times ACCO1 \times ACCO2$ はアナログ信号のため遅れは無い。

(1) 構造弾性変形効果

ロケットモータ着火後に推力が増大してゆく過程では、ロケットや実験機の構造に弾性変形が生じるため、 $N \times IMU$ にその影響が生ずる。FEM 解析により見積もった結果、弾性変形により $N \times IMU$ の増大には離昇直後で約 7msec 程度の遅れが生ずる。

(2) ロケット推定前後方向加速度の時刻合わせ

推定ロケット推力をもとに FEM 解析により推算した構造弾性変形効果を入れて 算出したロケット推定前後方向加速度 $(N \times CAL_{flex})$ を図 A2-8 中に合わせて示す。

算出した $N \times CAL_{flex}$ $EN \times IMU$ を時間的に整合させるため、算出した $N \times CAL_{flex}$ $EN \times IMU$ と整合するよう後方に $EN \times CAL_{flex}$ $EN \times IMU$ と整合するよう後方に $EN \times CAL_{flex}$ $EN \times C$

(3) ロケット移動量の算出

以上をもとに、ロケットA/P異常発生時刻及び分離ボルト着火時刻におけるロケット移動量を算出した。

ロケットA / P 異常発生時刻(t = 39671.559sec) では、図 A2-8のN x CAL_{rigid}を時間積分し、移動量は、

分離ボルト着火推定時刻 (t = 39671.568sec) では、同様に移動量は、

尚、[]内は、N×IMUのピークと分離ボルトの着火推定時刻との整合をとった場合の移動量を示している。

(4) ロケット・実験機分離以降のロケット移動量の算出

推定推力を用い、ロケットと実験機の分離以降まで含めて求めたロケット移動量を図 A2-9 に示す(図中実線)。又、ビデオ映像の解析により求めたロケット移動量も合わせて示す(図中シンボル)。ロケットと実験機の分離時刻は分離ボルト着火推定時刻(t=39671.568)とした。

ケースとしては以下を考えた。

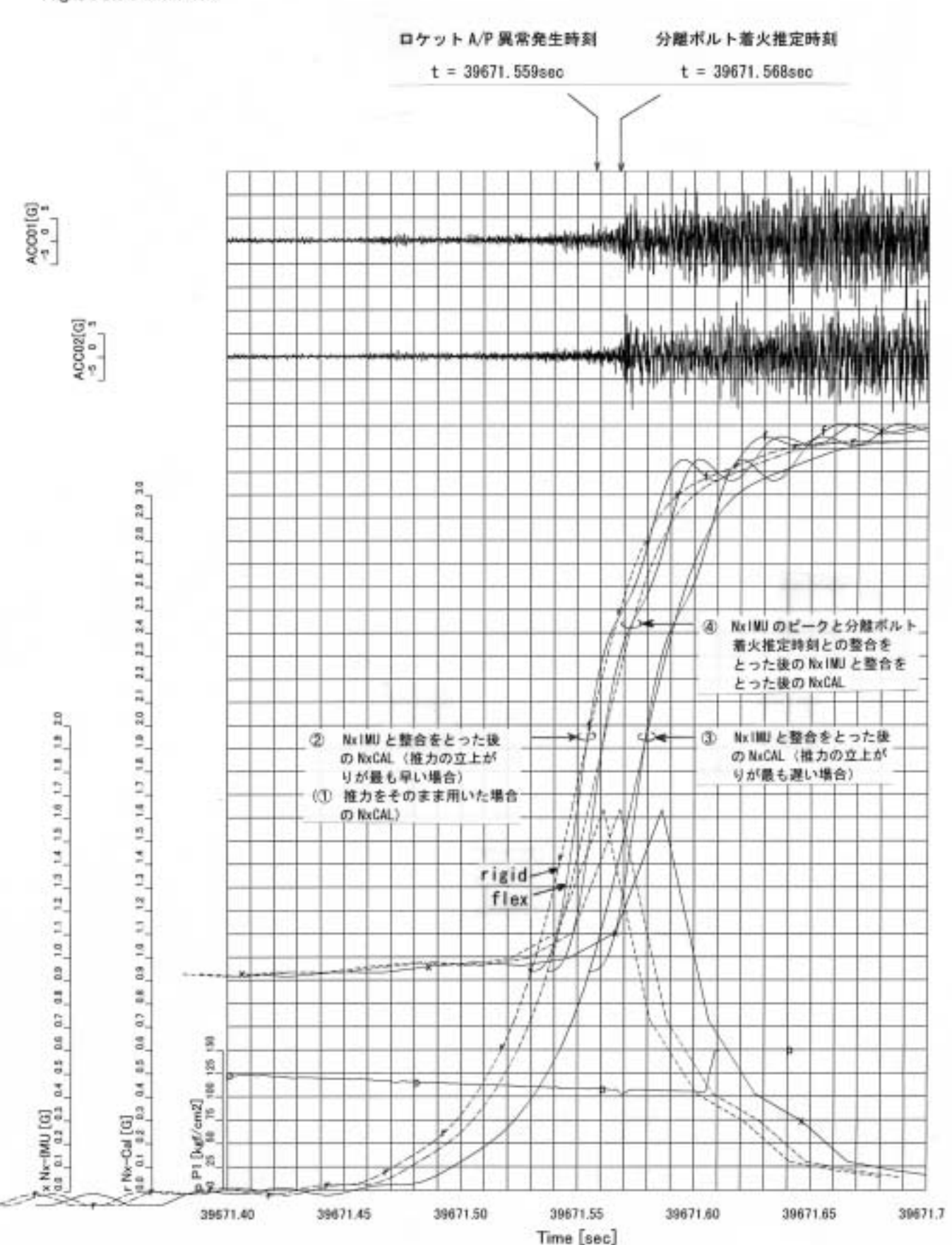
- ① 推定推力をそのまま用いた場合
- ② N x IMU と整合をとるよう補正した場合のうち、最も推力の立ち上がりが早い場合
- ③ N x IMU と整合をとるよう補正した場合のうち、最も推力の立ち上がりが遅い場合
- ④ N x IMU のピークと分離ボルトの着火推定時刻との整合をとった後のN x IMU と整合をとるよう補正した場合

推定推力を用いて求めた移動量とビデオ映像を用いて求めた移動量とは比較的よく整合がとれている。

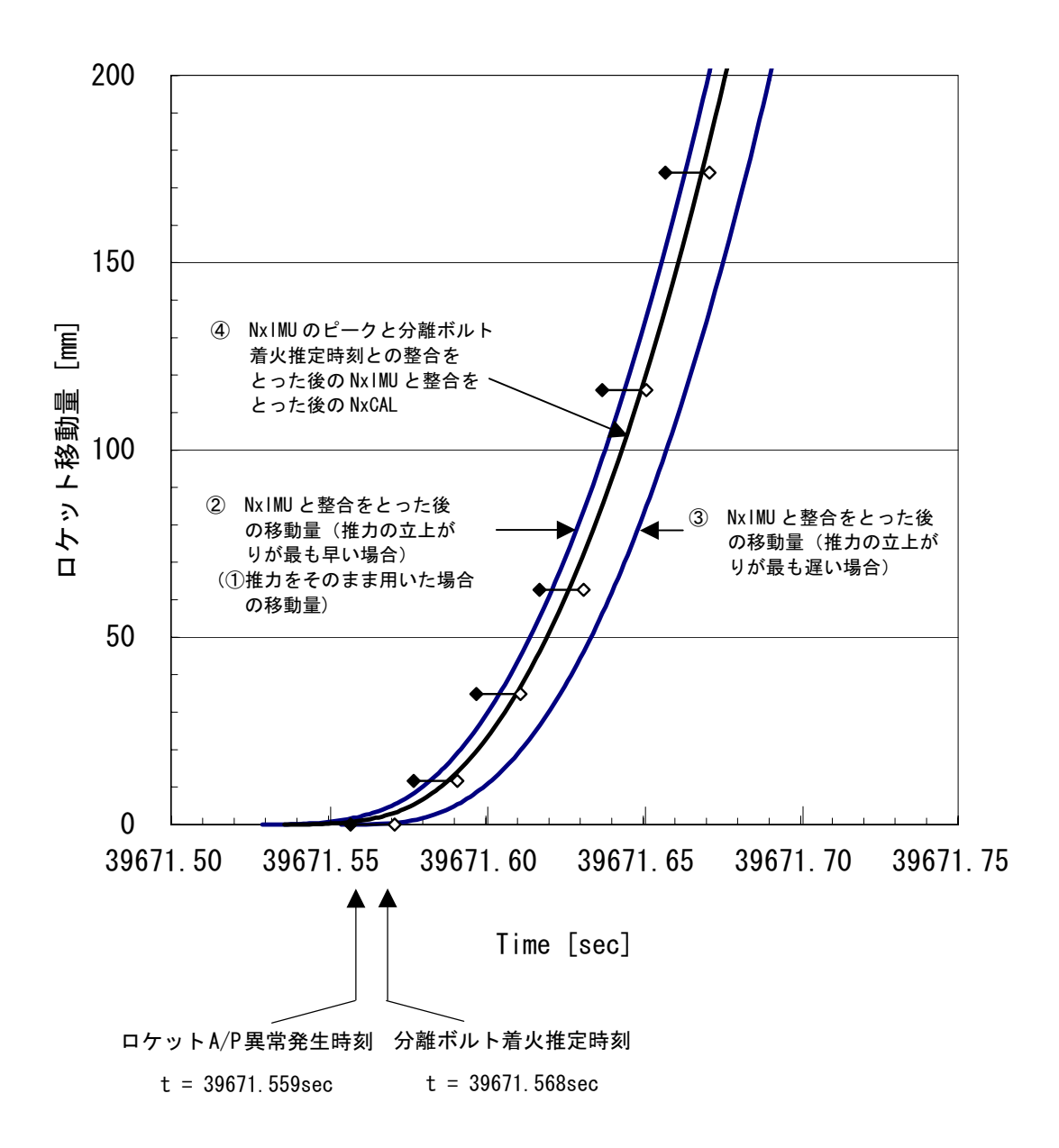
NEXST-1 TIME HISTORY

- #1 Flight Test Data -

Flight Date: 2002.07.14



図A2-8 ロケットの推定前後方向加速度



図A2-9 ロケット移動量

2. 3. 分離後のロケットの飛翔

簡略化したモデルを用い、実験機不時分離後のロケット飛行シミュレーション を実施した。計算条件は以下の通り。

(1) 空力特性

- $C_0 = 0.01408 + 0.006605 (\alpha^2 + \beta^2) + 0.000003 (\alpha^3 + \beta^3)$
- $C_{1\alpha} = 0.00512$ (1/deg)
- $C_{n\beta} = -0.00569$ (1/deg)
- $C_{YB} = -0.00512$ (1/deg)
- $C_{n\alpha} = 0.00332$ (1/deg)
- $C_{1\alpha} = C_{1\beta} = 0.00144$ (1/deg)

(ただし、迎角、横滑り角が 30deg 以上の場合 30deg 一定とした。)

(2) 推力

ノミナル推力の80%

(3)質量重心

空虚質量: 1823kg

空虚重心: X STA6.88m Z WL-0.724m

(4) ランチャ離脱時姿勢角

ピッチ姿勢角:80deg

(ロケットのランチャ離脱時はロケット後部がレールから外れておりより垂直な姿勢になっているが、角度が不明なため、80deg を仮定。)

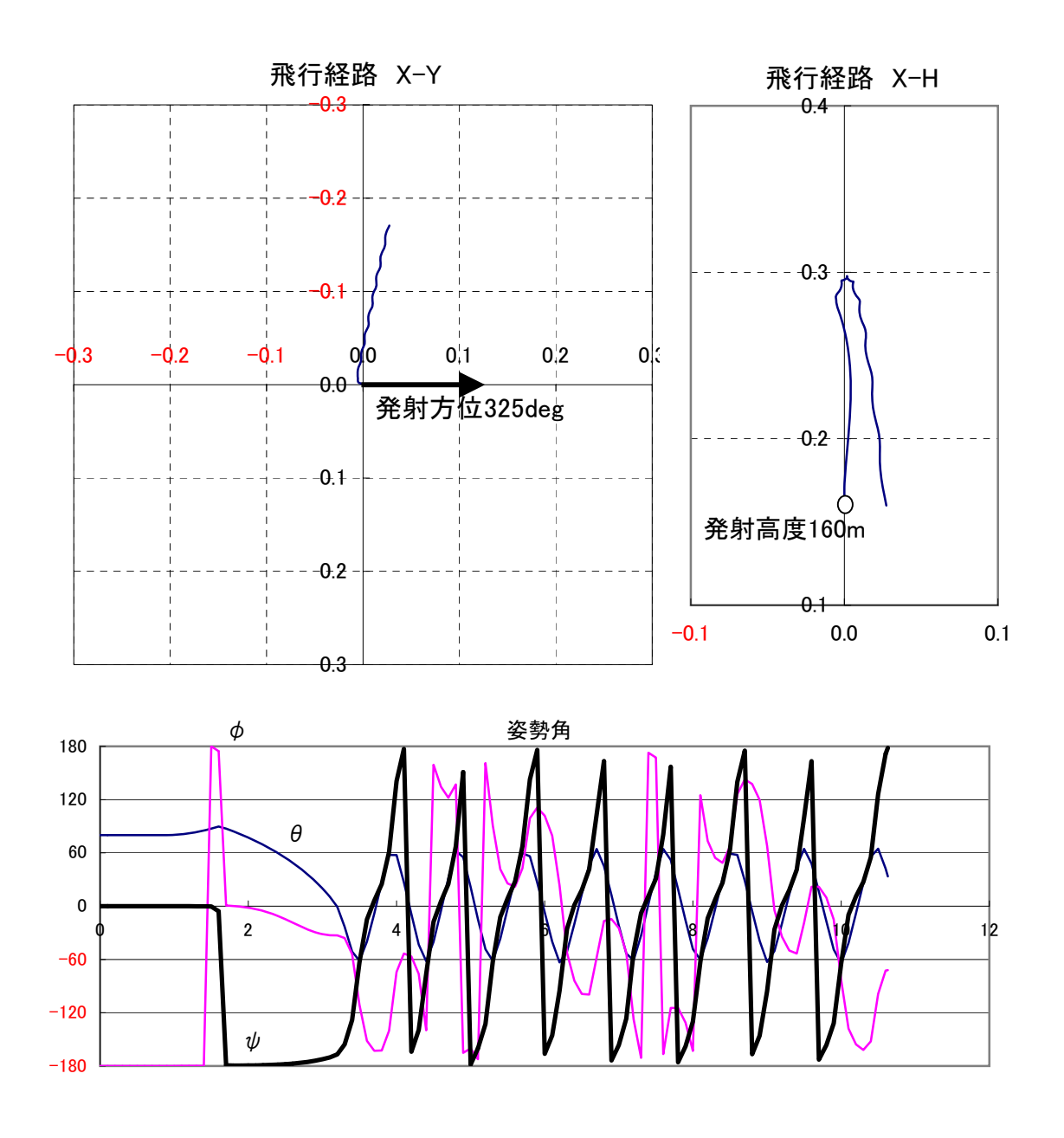
計算結果を図 A2-10 に示す。飛行時間及び落下点は以下の通り。

飛行時間:11s

落下点 : 射点からの距離 173m

: 方位 北基準 244deg

空力等に推定データを多く使用していることを考慮すると、実際の落下点(距離 264m、方位236deg)との一致は良好と考える。



条件 重量重心:制御部及びFIN3枚離脱後の推定値 ランチャ離脱時の姿勢:80degを仮定 推力:ノミナルの80% 空力特性:フィン1枚の時の推定空力

図A2-10 発射後のロケット運動シミュレーション結果

2. 4. アンビリカルケーブルの挙動

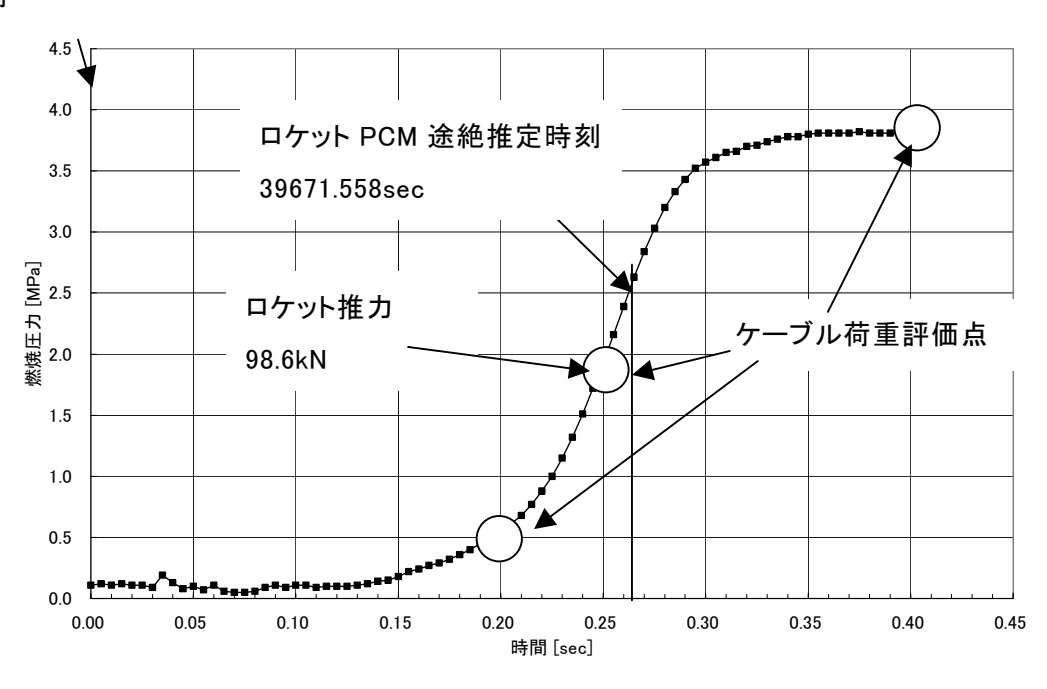
(1)アンビリカルケーブルへの噴流の影響

アンビリカルケーブルへのロケット噴流の影響をCFD(Computational Fluid Dynamics) を用いて解析を行った。

解析結果を表 A2-1 および図 A2-11~図 A2-13 に示す。解析手法間の比較や高速度カメラとの比較では定性的に合っていることがわかる。また、ケーブル付近の流れは吸い込みになっていることがわかる。これらの結果からケーブルに加わる張力を推定すると、燃焼器内圧力が 0.5MPa で通信系 13.5N 以下、点火系 10.8N以下、3.9MPa では通信系 324N以下、点火系 1300N以下となり、ケーブルが破断するだけの荷重は発生していないと推定される。また噴流によるケーブルの運動を考慮した場合、燃焼圧が 1.72MPa に上昇するまでに約 10mm 程度内側に動くと推定されるが、この移動量ではノズルの噴流領域には入らないと推定され、さらに動的な荷重も発生することは無いと考えられる。

ロケットモータ点火時

刻



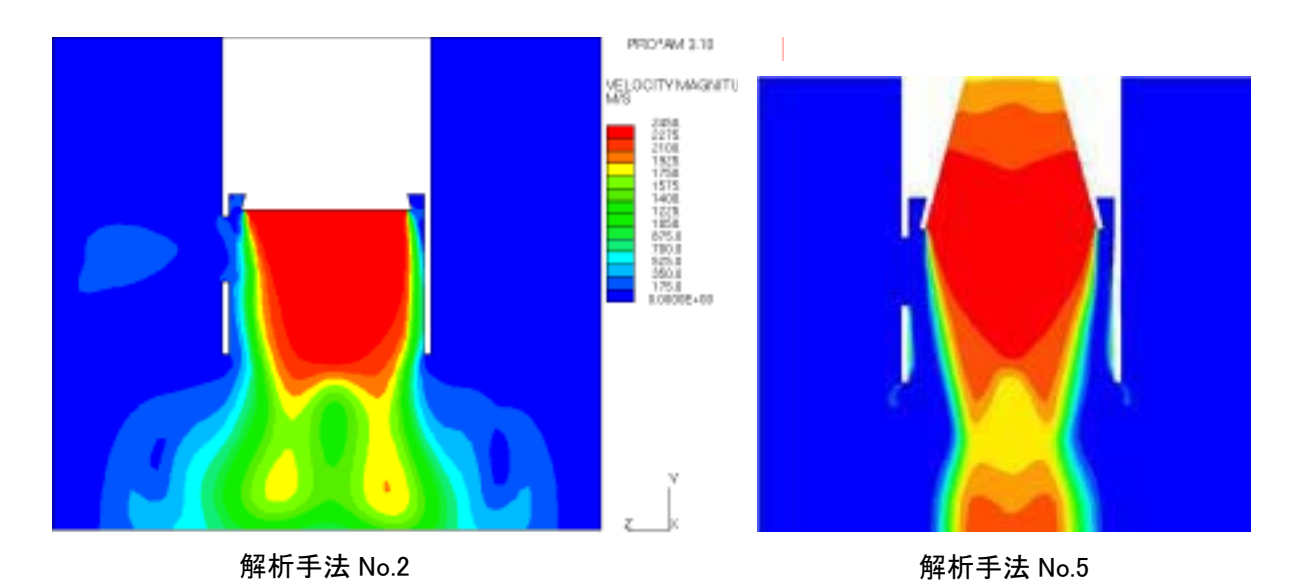
噴流の放射加熱による物体の表面温度は加熱前の温度を 290K $(17^{\circ}C)$ と仮定すると、非定常熱伝導解析の結果、コネクタ部では最高約 $310K(40^{\circ}C)$ 程度となる。また、ケーブル被覆のテフロンは最高約 $890K(620^{\circ}C)$ になるが、実際にはアルミ蒸着を施したグラスクロスに包まれているため、上記のような温度までは上昇せず、放射加熱によるケーブルへのダメージは無かったと推定される。

CFD 解析結果のまと 噴流 I $^{\circ}$ 表A

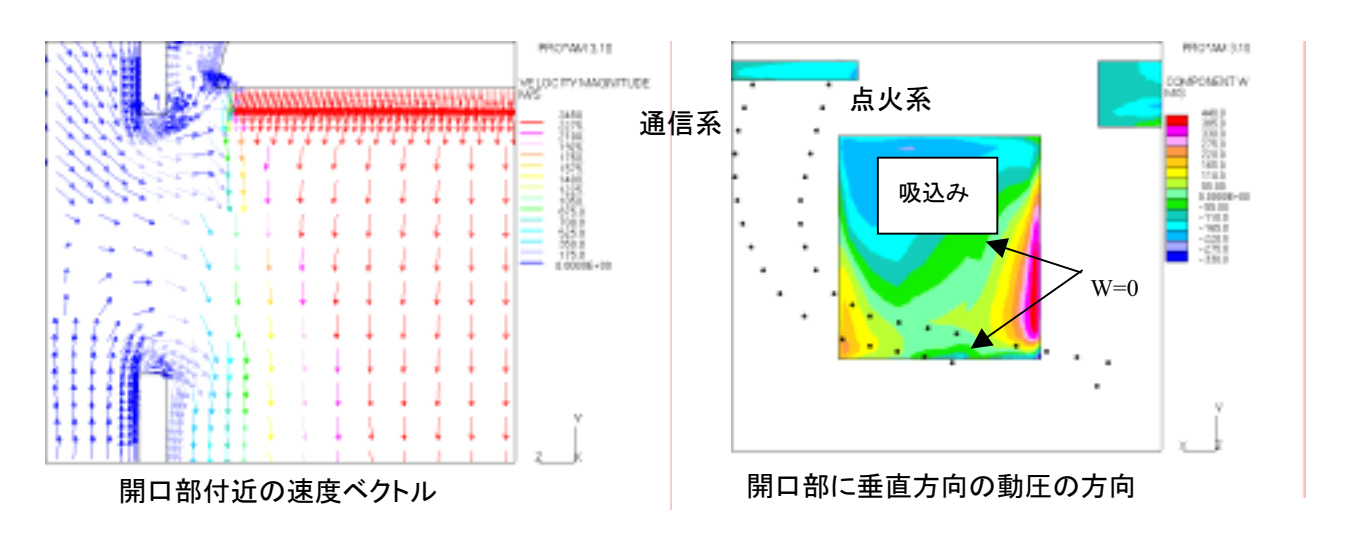
		\ \ \ \ \ \ \ \ \ \ \ \ \ \ \ \ \ \ \						
種類	頁 解析目的	解析手法	解析モデル	解析条件	検討結果の概要	元压0.5MPa	元圧1.72MPa	元压3.8~3.9MPa
∢	始動時の圧力波 伝播の確認	No.1:MHI 3次元オイラー (直交格子)	ノズル、ストッパー (キャント有り、 開口部有り)	凍結ガス (ァ=1.175), T0=3366K	1.開口部最大動圧: 0.06MPa以下。 2.最大荷重* ¹ : 360N以下。			
α	エジェクタ効果、 宇ヴ流か 場の	No.2:MHI 3汝元NS (STAR-CD)	ノズル、ストッパー (キャント有り、 開口部有り)	凍結ガス (ァ=1.175)、 T0=3366K、 空気 (ァ=1.4)	1.エジェクタ効果は元圧1.72MPaの条件で顕著。 2.最大動圧:200kPa(@3.9MPa)、23kPa (@1.72MPa)、4kPa(@0.5MPa) 3.最大荷重*1:1200N(@3.9MPa)、140N (@1.72MPa)、24N(@0.5MPa)	1. 最大動圧:4kPa 2. 最大荷重*!:24N 3. 積分荷重* ³ :3.0N, 2.4N	1. 最大動压:23kPa 2. 最大荷重 ^{*!} :140N 3. 積分荷重 ^{*3} :33N、 51N	最大動压:23kPa 1. 最大動压:200kPa 最大荷重* ¹ :140N 2. 最大荷重* ¹ :1200N 積分荷重* ³ :33N、3. 積分荷重* ³ :72N、 51N
)		No.4:NAL 3次元NS (B-Lモデル)	ノズル、ストッパー (キャント有り、 開口部有り 、厚み無し)	凍結ガス (<i>r</i> =1.175)、 T0=3366K	1.開口部の上流側で流入、下流側で流出。 2.最大動圧:2気圧以下。 3.最大荷重 ^{*2} :150kgf以下。			
	÷ 心 : : : : : :	No.3 : MHI 軸対称オイラー 及びNS	ノズル、ストッパー (軸対称、 開口部無し)	凍結ガス (ァ=1.175)、 T0=3366K	1.非粘性計算: (1)ストッパ有無で過渡現象は異なるが、 最終的にはぼぼ同じ流れ場に収束。 強い圧縮波は発生しない。 (2)最大動圧:0.06MPa以下。 3)最大荷重*!:360N以下。 2.粘性計算: (1)最大動圧:0.19MPa(@高燃焼室圧力時) (2)最大荷重*!:1140N			
O	非におぶんぷるの世権の日権	No.5:NAL 3次元オイラー (マルチブロック)	ノズル、ストッパー (キャント有り、 開口部有り)	凍結ガス (ァ=1.175)、 T0=3366K	+算の差はほとんど無い。 1部からの強い噴流 い。 定量値の推定精度は io.2の解析手法の結果 決案室圧が0.5MPaの場合	1. 最大動压:3kPa 2. 最大荷重 ^{*!} :18N 3. 積分荷重 ^{*4} :5.9N	1. 最大動压:0.8kPa 2. 最大荷重 ^{*!} :4.8N 3. 積分荷重 ^{*4} :2.6N	1. 最大動压:62.6kPa 2. 最大荷重 ^{*!} :375.6N 3. 積分荷重 ^{*4} :18.3N
•	**************************************	1 4 3001)	0	日世代			

*43 *43 *45

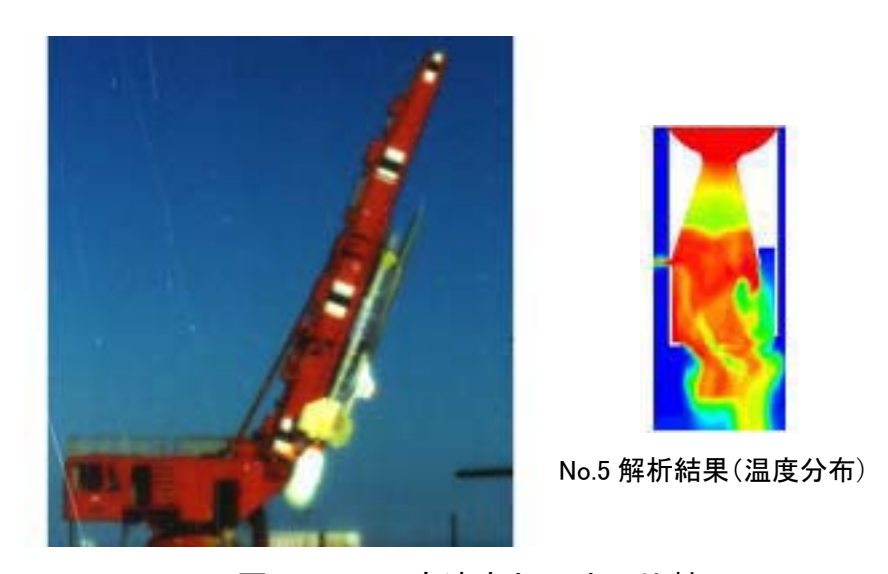
ケーブル直径30mm、長さ200mmを想定し、円柱の抵抗係数としてCD=1.0(M<1)を使用 ケーブル直径30mm、長さ200mmを想定し、円柱の抵抗係数としてCD=1.2(M>1)を使用 ケーブル直径30mm、長さはCATIAデータに基づく推定値を想定し、円柱の抵抗係数としてCD=1.0を使用。表中の値は通信系ケーブル、点火系ケーブルの順。 ケーブル直径30mm、長さはCATIAデータに基づく推定値を想定し、円柱の抵抗係数としてCD=1.0を使用。



図A2-11 No.2とNo.5の解析結果の比較(速度分布、総圧 1.72MPa)



図A2-12 ケーブル付近の流れの様子(総圧 1.72MPa)



図A2-13 高速度カメラとの比較

(2) コネクタ分離の状況

通信系と点火系のアンビリカルケーブルおよびコネクタの詳細調査、成分分析 等の結果から、分離から破壊に至る挙動を推定した。

通信系アンビリカルケーブルの挙動の推定

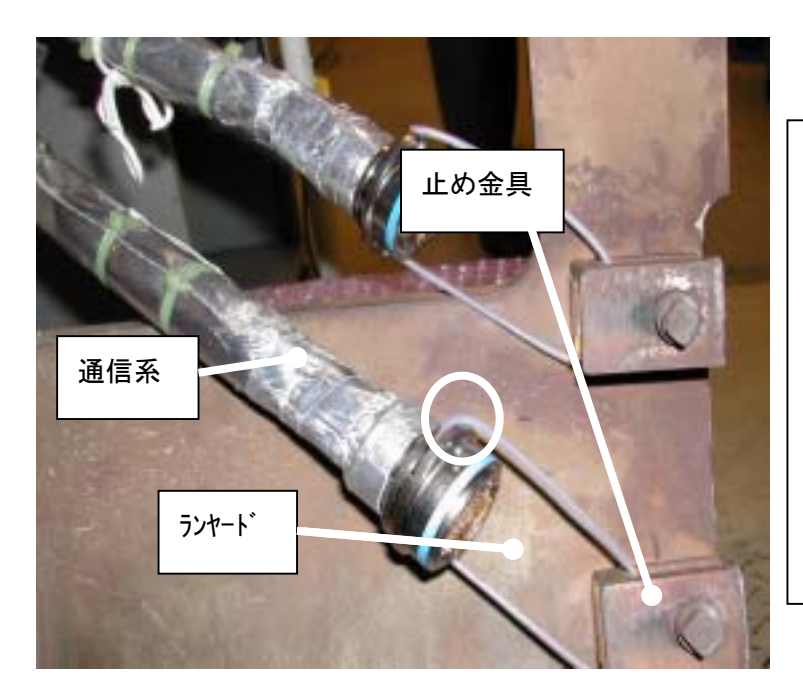
- ① ロケットモータ点火。
- ② 打上げロケット移動開始とほぼ同時にロケットと実験機の分離信号出力。
- ③ ランヤードが引かれ、ロケットから通信系コネクタが分離する。
- ④ ロケットが更に前進し、ブラスト(噴流)がロケットストッパの外へ広がる。
- ⑤ ロケットストッパ上のアンビリカルケーブル固定用タイラップが切れる。
- ⑥ アンビリカルケーブルが後方へ引かれる(垂れ下がる)。
- ⑦ ランヤードが逆引張り(ランヤードが万歳した状態:図 A2-14)となる。
- ⑧ ロケットが約1.2m程度上昇した段階でケーブルの張力が4000Nを越え、ケーブルがコネクタかしめ部から引き抜かれる。
- ⑨ ロケットが約3m程度上昇したところでフィン2枚が実験機の主翼(エルロン)と衝突し、制御部がロケットから外れ、ノズルが破壊される。
- ⑩ 破壊されたノズルがストッパ内を通過する際に通信系コネクタに接触した後、 地上に落下。このとき通信系コネクタのランヤードが破断する。
- ① 耐熱チューブが破損する。
- ① コネクタは地面のコンクリートに落下し、ブラストにより拾得地点まで飛ば される

点火系アンビリカルケーブルの挙動

- ① ロケットモータ点火。
- ② 打上げロケット移動開始とほぼ同時にロケットと実験機の分離信号出力。
- ③ ランヤードが引かれ、ロケットから点火系コネクタが分離する。
- ④ ロケットが更に前進し、ブラスト(噴流)がロケットストッパの外へ広がる。
- ⑤ 耐熱チューブが破損し、裸になった金属スプライス部にブラストの熱が加わる。
- ⑥ スプライスからの熱がテフロン内の導線を急速に伝達し、コネクタピン周囲 を加熱し、樹脂およびゴム部の強度を低下させる。(図 A2-15)
- ⑦ ロケットストッパ上のアンビリカルケーブル固定用タイラップが切れる。
- ⑧ アンビリカルケーブルが後方へ引かれる(垂れ下がる)。
- ⑨ ハーネスがコネクタのゴム部ごと引き抜かれる。
- ⑪ 引き抜かれたゴム部が、スプライス部より後方(下方)へ運動エネルギーを 持って移動したことにより、熱により強度低下しているスプライス部で機械

的に電線が破断する。

- ① 熱により強度の低下したランヤードは、ブラストを受けたコネクタの運動等により機械的に破断する。
- ② コネクタは落下し、ブラストにより拾得地点まで飛ばされる。



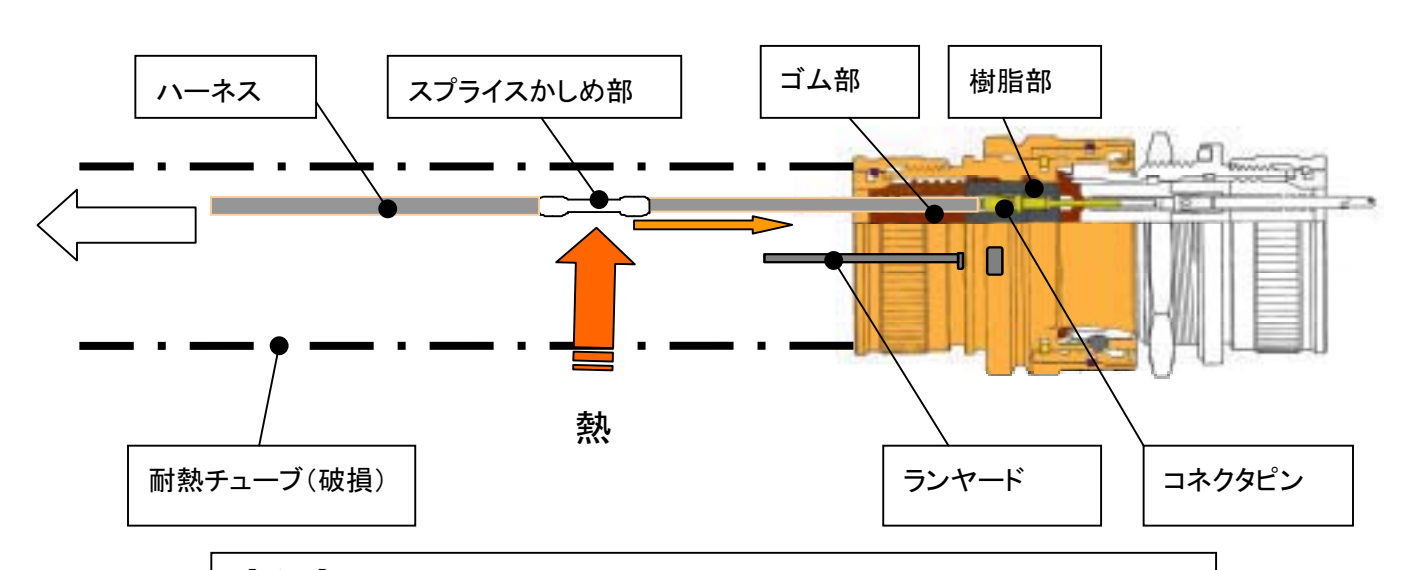
ロケットストッパー窓から引き出されたアンビリカルケーブルを内側から見る。

アンビリカルケーブルが後方 へ引かれ、ランヤードが止め金 具にて逆引張りとなる。

また、ランヤード止め玉部には 圧痕が認められる。

(左図 円内)

図A2-14 通信系アンビリカルケーブル



【説明】

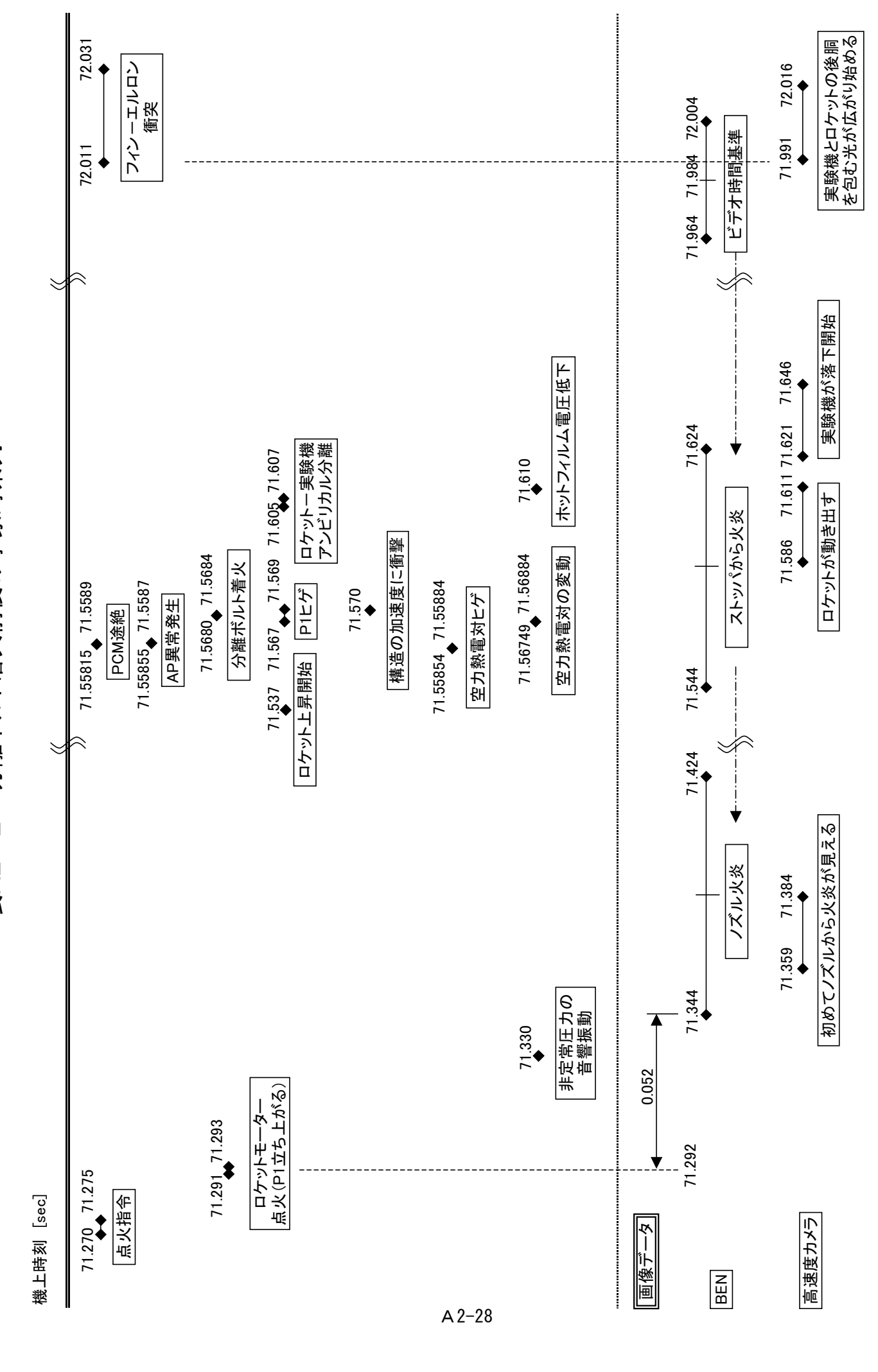
耐熱チューブが破損したため、ブラストの熱はスプライスかしめ部(金属)からハーネス内の導線を通じコネクタピンまで急速に伝わる。 コネクタピンが加熱し、樹脂部およびゴム部の強度が低下する。 ケーブル全体が後方へ引かれ、ゴム部ごとケーブルが抜ける。

図 A 2 - 1 5 点火系アンビリカルコネクタ

2. 5. 分離ボルト着火前後の事象・時系列のまとめ

以上及びこれまでの検討により明らかになった、ロケットモータ点火からロケットフィンと実験機エルロンの衝突までの各事象の時系列を表 A2-2 にまとめる。

表A2-2 分離ボルト着火前後の事象時系列



付録3. FTAの詳細

原因推定のために200項目に近い要因についてFTAを実施し、回収した 現品の調査、及び各種検証試験、解析を行い、原因の絞込を行った結果、不具 合の原因は以下に絞られた。

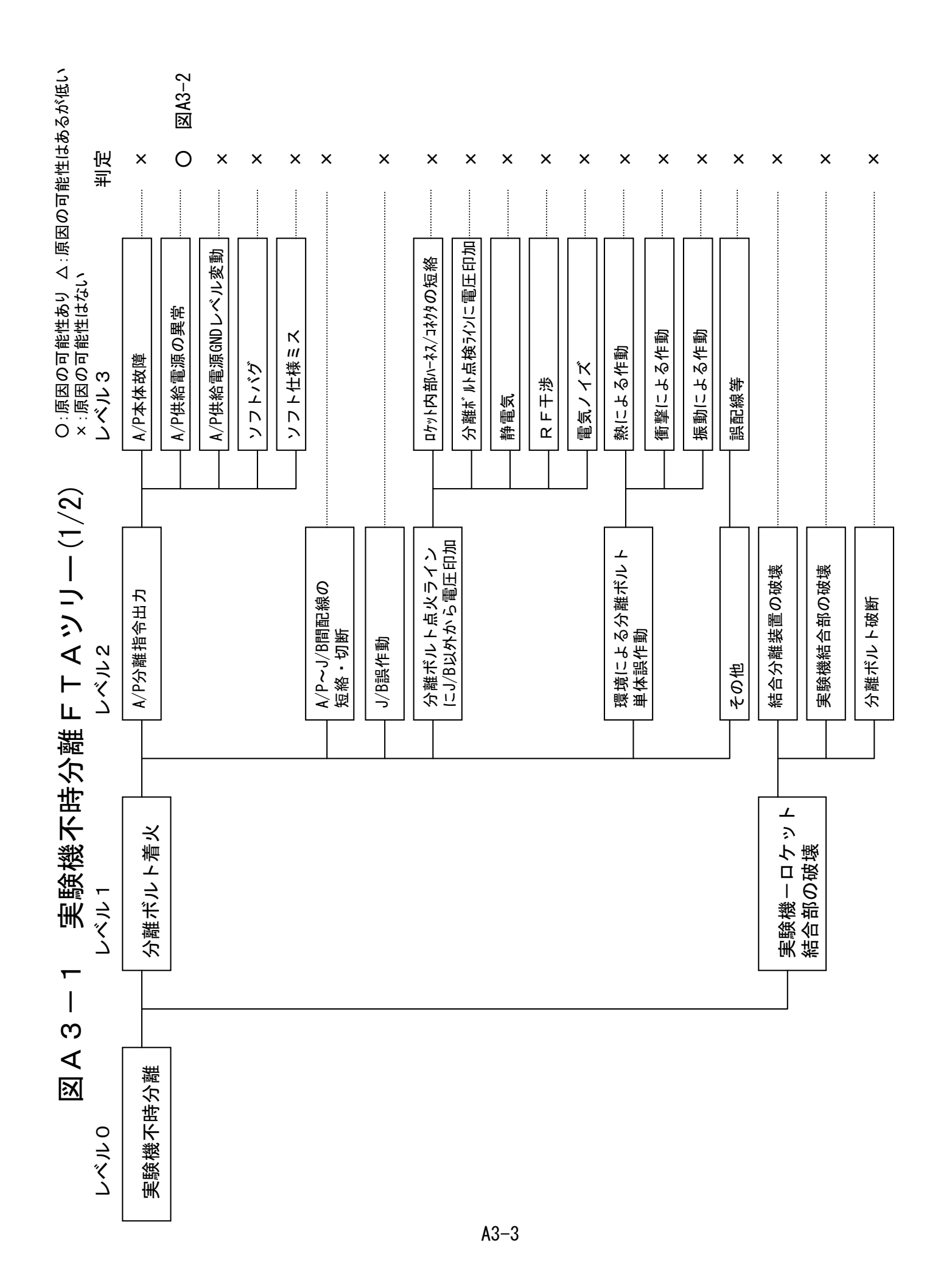
A/P フレックスハーネス基板上スルーホール部での5 V 電源短絡。

詳細を図A3-1、図A3-2、表A3-1,表A3-2に示す。

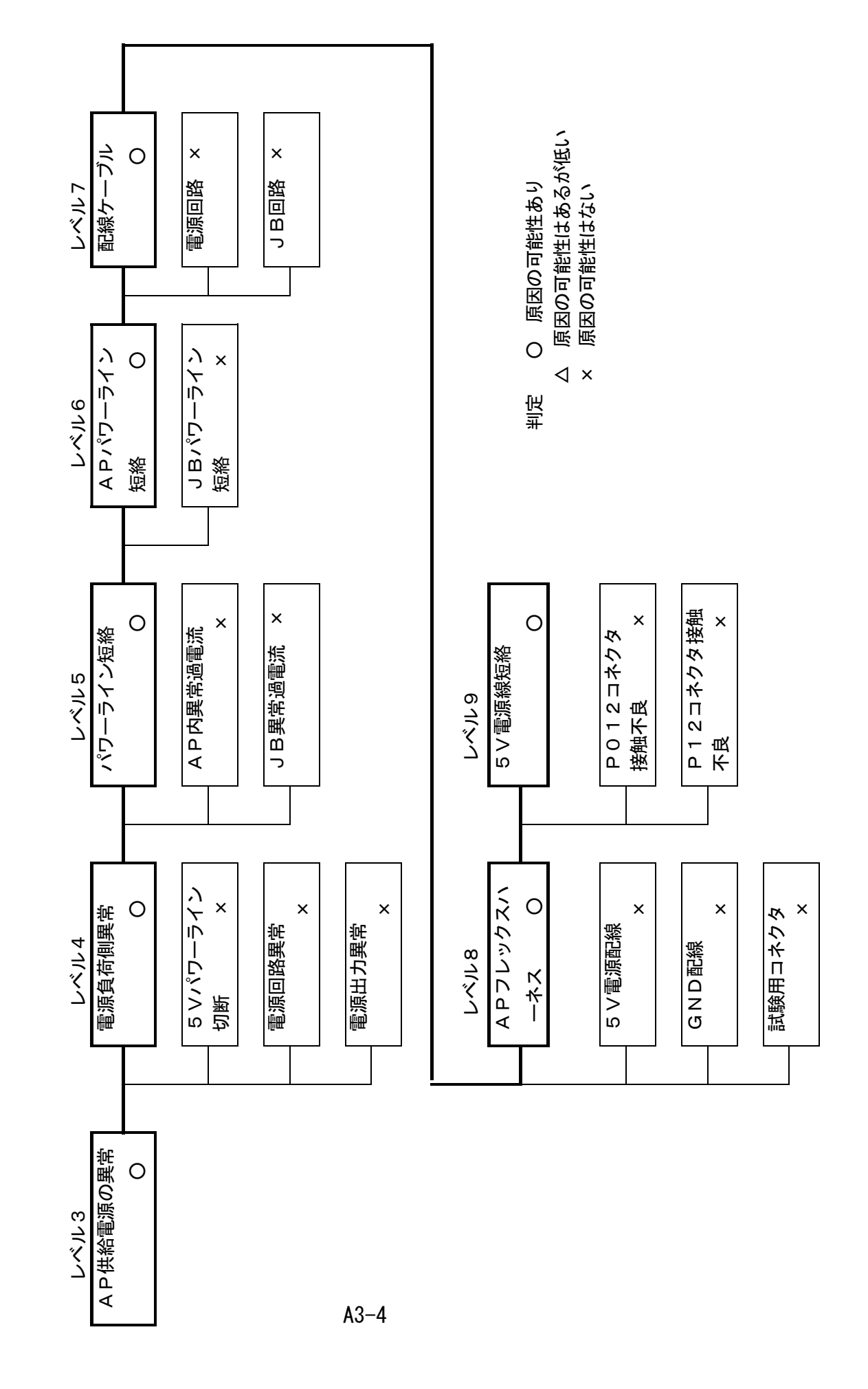
図A3-1及び図A3-2は実験機不時分離FTAのツリーを示す。FTAによる原因絞込みの主な経緯は次の通りである。

- (1) 実験機不時分離"の直接の原因は"分離ボルト着火"及び"実験機—ロケット結合部の破壊"に大別されたが、分離ボルト現品調査の結果、分離破断部は電気的着火によるものであること、分離ボルト及び結合部の強度余裕は全て正であり、強度上は問題無いこと、等が確認され、"分離ボルト着火"と推定された。
- (2) "分離ボルト着火"の要因としては、"AP分離指令出力"、"APとジャンクションボードJB間配線の短絡・切断"、"JB誤動作"、"分離ボルト点火ラインにJB以外から電圧印加"が挙げられた。
- (3) これらの要因の中で、現品調査及び検証試験の結果から、"AP分離指 令出力"に原因がある可能性が大きいことが推定された。
- (4) "AP分離指令出力"の要因は"AP本体の故障"、"AP供給電源の異常"、AP電源グランドGNDレベル変動"、"ソフトウエアのバグ"、ソフトウエア仕様ミス"が挙げられ、これらを調査項目として現品調査及び検証試験を行った。
- (5) "AP本体の故障"は、分解調査において該当基板に異常は無く、かつ 単体機能確認試験において正常に作動することを確認し、原因の可能性 は否定された。
- (6) "AP供給電源GNDレベル変動"はロケット及び発射制御装置の組み合せ試験においてGNDレベル変動によるAP分離指令出力は無かったこと、またAP5V電源GNDとロケット筐体を短絡させた状態で、ロケット筐体に高電圧サージを入れる試験を行ったが、AP分離指令出力は無かったことから、原因の可能性は否定された。
- (7) "ソフトバグ"及び"ソフト仕様ミス"は全プログラムを再確認した結果、AP分離指令が誤出力される可能性は否定された。
- (8) "AP供給電源の異常"の要因は"電源回路からのAPへのパワーライ

- ンの切断"、"電源回路の異常"、"誘導計測用電池からの入力電圧低下による電源回路の出力電圧異常"及び"電源回路負荷側異常に起因した機能低下"が挙げられた。
- (9) "電源回路からのAPへのパワーラインの切断"はハーネス現品調査の 結果、パワーラインは正常であることが確認され、原因の可能性は否定 された。
- (10) "電源回路の異常"は現品調査の結果、単体として正常に作動すること、5V出力部に短絡の痕跡が無いこと、過電流・過電圧などの保護回路も正常に作動することなどが確認され、原因の可能性は否定された。
- (11) "誘導計測用電池からの入力電圧低下による電源回路の出力電圧異常"は、28V電源瞬断試験において、APにリセット(分離指令出力を誘引)がかるような電源瞬断ではリセット回路が働くのとほぼ同時に点火モータ内圧信号(P1, P2)の電圧低下が発生しているが、本事象は飛行実験時には発生していないこと、電池は正常に作動したこと、電池からの電源回路へのパワーラインの切断は無いこと、等により原因の可能性が否定された。
- (12) "電源回路負荷側異常に起因した機能低下"の要因としては、"電源回路から他構成品へのパワーラインの短絡"、"AP関連の異常による過電流消費"、"JB内の異常による過電流消費"が挙げられ、これらを調査項目として現品調査及び検証試験を実施した結果、"電源回路から他構成品へのパワーラインの短絡"が原因の可能性が大きいことが推定された。また他の要因は原因の可能性は非常に小さいことが推定され、否定された。
- (13) "電源回路から他構成品へのパワーラインの短絡"の要因としては、 "電源回路からAPへのパワーラインの短絡"及び"電源回路からJB へのパワーラインの短絡"が挙げられ、後者は電源回路からJBへの+ 5 V電源ラインの現品調査の結果、断線及びGNDへの短絡が無いこと が確認され、原因の可能性は否定された。
- (14) "電源回路からAPへのパワーラインの短絡"はAP現品調査、検証試験及びシミュレーション解析の結果、フレキシブルハーネス用ブラケット部と基板上の+5Vスルーホール部の間で短絡した痕跡が確認されたこと、ブラケット部と+5Vスルーホール部が打上げ時の加速度環境において短絡する可能性が大きいことが判明したこと、等から、AP電源電圧の低下を誘引し、AP分離指令出力、分離ボルト着火、実験機不時分離に至らしめた原因と推定された。



図A3-2 実験機不時分離FTAツリー(2/2)



実験機不時分離FTA (1/6) ○:原因の可能性はかるが低い ×:原因の可能性はなが低い ×:原因の可能性はない 表A3-1

	地形	×	×	×	×	×	×	×	×	×	×	×	×	×	×	×	×	×	×	×	×	×	×	×	×	×	×
14ののから、 人: 京立のでまます。	レベナの	1111111	111112 基板パターン断線(リセット C入力)	1111113 基板パタン短絡(リセットIC入力)	111114 111114	1111121 FPGA故障	1111122 基板パタン断線(FPGA入力)	1111123 基板パ ターン短絡(FPGA入力)	1111124 FPGAはんだ付け不良	1111131 / パッファI C故障	1111132 基板パターン断線 (バッファ10入力)	1111133 基板パターン短絡(バッファ1C入力)	1111134 / シ ファ I Cはんだ付け不良	1111211 ディスクリートIC故障	1111212 基板パタン断線(ディスクリート16入力)	1111213 基板パ ターン短絡(ディスクリートIC入力)	1111214 <mark>ディスクリートICはんだ付け不良</mark>	1111221 ラッチI C故障	1111222 基板パタン断線(ラッチ16入力)	1111223 基板パターン短絡(ラッチ10入力)	1111224 ラッチICはんだ付け不良	1111231 パッファI C故障	1111232 基板パタン断線(バッファ1C入力)	1111233 基板パ ターン短絡(バッファ10入力)	1111234 バッファ」Cはんだ付け不良	1111311 デューダl C故障	1111312 基板パタ-ン断線(デューダ16入力)
스 : IR 스이 닉 IE II I A 에 이 이 네요.	15					リセット遅延処理 TEDGA 調 作動		-		リセットラインバ ッファ 10 1			-	ディスクリート1G誤作 「						-	-	バッファ1C誤作動 「					<u> - </u>
〇:原因の可能はあり	アベド5	111111 JセットIC誤作動				111112 Uセットジ	r Pus			111113 リセットラ	- 京本			111121 = 439	副			111122 ラッチI C誤作動				111123 N° y77				111131 デューゲーC誤作動	
· · · · · · · · · · · · · · · · · · ·	フベド4		作事』											デーク系統誤作動												13 アドレス系統誤作動	
-		11111												11112												11113	
	アベル3	A/P本体の #歴	<u>학</u>																								
-	レベル2	11 A/P分離 1 #今日十	相识用力																								
-	- 7×ゲコ	11 分離ボル 11	—— 兴 ——																								
	しイベン	1 実験機工	大 は に に											12.													

実験機不時分離FTA (2/6) ○:原Bの可能性あり △:原Bの可能性はあるが低い ×:原Bの可能性はない 表A3-1

おります。	×	×	×	×	×	×	×	×	×	×	×	×	×	×	×	×	×	×	×	×	×	×
レベル6		1111314 デューダlCはんだ付け不良	1111321 バッファlC故障	1111322 基板パターン断線(パッファIC入力)	1111323 基板パ ターン短絡(バッファ1C入力)	1111324 バッファ」Cはんだ付け不良	1111411 CPU周辺IC故障		1111413 基板パターン短絡 (CPU周辺IC)		ードパターン断線	-ドパターン短絡	可可以	刀断		または誤作動 おおおり こうしょう		誘導計測用電池からの電源回路へのパワーライン切断		1112332 Dケット(J/B)~実験機間1/Fのテレメトリ用誘導計測用電池電圧ラインが短絡	1112333 ロケット(TB1)~実験機間1/Fの実験機 分離モニタラインが短絡	1112334 Dケット(TB1) ~発射制御装置間1/Fの 発射制御装置用誘導計測用電池電圧モニタラインが短絡
レベル5			111132 バッファ1G誤作動					製」(CFU, メモリ)			基板、砂ボボ	111152 基板、砂一ボード	111153 14かはんだ付け不良	P へのパワー レインの	111221 +5V出力異常	111222 保護回路の作動または誤作動	111231 電池故障/不良	111232 誘導計測用電池力	111233 誘導計測用電池 から他構成品へ のパワーライン	· 经 经		
レベル4							114 CPU暴走				11115 電源系統故障	(HOI, GIND)		電源回路からA/	11122 電源回路の異常		123	からの入力電圧に作っています。	同時による電源国際の出り電圧を関する。			
レベル3							<u>-</u>				<u> </u>			1112 A/P供給電 1. 近の開発			<u> </u>					
レベル2																						
レベル1																						
レベルの												A3										

実験機不時分離FTA (3×6) ○:原因の可能性あり △:原因の可能性はあるが低い ×:原因の可能性はない 表A3-1

判定	×	×	×	×	×	×	×	×	×	×	×	×	×	>	<	>	<	×
	1112335 誘導計測用電池のA/Pへのパ ワーラインの短絡	1112336 誘導計測用電池のJ/Bへのパ ワーラインの短絡	111233 誘導計測用電池の電源回路へのパ ワーラインの短絡	1112338 誘導計測用電池のINEへのパ ワーラインの短絡	1112339 誘導計測用電池のサーボアンプへ のパワーラインの短絡	111233A 誘導計測用電池の指令受信装置へのパワーラインの短絡	111233B 誘導計測用電池の口 内圧センサへのパワ 絡	111234	1112342 ロット(A/P) ~発射制御装置間1/Fの B I T判定結果ラインが短絡	1112343 Dケット(A/P)~発射制御装置間1/Fの FIRING信号ラインが短絡	による過電流消費	指令受信装置内の異常による過電流消費	1112371	1113372 Dh.y.ト(S/V) ~実験機/発射制御装置 国 Fのテレメトリ 用制御部用電光	電圧モニタラインの短絡	1123/3 10- 170テレメ 1123/3 170テレメ 170テレメ 170 17	下った記れたーペン・ハこのこの一番	タ内圧センサ内の異常による過電流消費
レベル5								111234 A/P関連の異 堂による過電流	·····································		111235 INE内の異常	111236 指令受信装置内	111237 サーボアンプ関 連の異常による _{温電法} 流業	10年11年11年11年11年11年11年11年11年11年11年11年11年1				111238 ロケットモータ
レベル4																		
レベル3																		
レベル2																		<u> </u>
レベル1																		
レベルの							A3-7											

実験機不時分離FTA (4/6) ○:原因の可能性あり △:原因の可能性はあるが低い ×:原因の可能性はない 表A3-1

判定	0	×	×	×	×	×	×	×	×	×	×	×	×	×	×	×	×
レベル6	11241 電源回路からA/Pへのパワーラ インの短絡	112412 電源回路から J / B へのパワーラ インの短絡	11242 A/P内の異常による過電流消費	1112422 ロケット (A/P) ~発射制御装置間1/FのRS-2326信号Txライン短絡	1112423 ロケット(A/P) ~発射制御装置間1/Fの RS-2326信号Rxライン短絡	1112424 ロケット (A/P) ~実験機間1/FのRS-422 信号ライン(データ, クロック) 短絡	1112425 A/P~J/B間TTL信号ライン(ゲート)短絡	1112426 ロケット (A/P) ~発射制御装置間1/FのRS-2326信号1xラインへのサージ電圧	1112427 ロケット(A/P) ~発射制御装置間1/FのRS-2326信号Rxラインへのサージ電圧	11243 J/B内の異常による過電流消費	1112432 ロケット(A/P) ~実験機間1/FのRS-422 信号ライン(ゲート)短絡	1112433 ロケット (J/B) ~実験機間1/Fの分離制 御開始信号H0T短絡	1112434 ロット(J/B) ~実験機間1/Fの分離制 御開始信号RIN短絡	短絡)短絡	ロラインの短絡	テレメ用ロケットモータ内圧センサ用GNDラインの短絡
レベル5	源回路から他成品くのパールインの領		t	「よる過电派法」						111243 J/B関連の異常				111311 RS-232CシグナルGND類結絡	 111312 外部電源RTN5小の短絡	111321 テレメ用信号GNDライ	111322 テレメ用ロケット
レベル4	11124 電源回路負荷側 1 異常に起因した 機能低下	1	<u> -</u>							<u>-</u>				131 ロケット〜発射 制御装置 I / F 系統に起因する G N D レベル参		11132 ロケット~実験 1/ F 系統に 部別するの 2 D	-
レベル3	-													1113 A/P供給電 ¹¹ 源GNDレベ ル変動		<u> </u>	
レベル2																	
レベル1																	
しベルの								A3-8									

実験機不時分離FTA (5/6) ○:原Bの可能性あり △:原Bの可能性はあるが低い ×:原Bの可能性はない 表A3-1

地流	×	×	×	×	×	×	×	×	×	×	×	×	×	×	×	×	×	×	×	×	×	×	×	×	×
	11331 実験機~ロケット~発射制御装置間GNDレベル変動	111332 ロケットモータ/誘導計測部用電池/指令受信装置用電池 /制御部用電池の着火電流が流れることによるGNDレベル 変動	11333 A/P舵角指令RTNラインの短絡	111334 INEシグナルGNDラインの短絡	111335 指令受信装置のシグナルGNDラインの短絡	11336 J/BシグナルGNDラインの短絡	111337 サーボアンプからの舵角モニタRTNラインの短絡	111338 実験機・ロケット・発射制御装置間のGND電位の相違		ッチ (K10) 故障	Jimi	/— (K2) のチャタリング		, ンの 短絡	- 一夕点火ラインの短絡	ブラインの뛉絡)短絡								
し 4 次 人		Dレベル変動							断	火用リレー駆動スイ	ライバ(SN54AC14)の故障	振動環境下での分離ボルト着火リレー	インとGNDとの短絡	着火ラインとパワーライ	着火ラインとロケットモータ点火ライ	着火ラインと電池スクイブラインの短絡	部ハーネス/コネクタの短絡	点検ラインに電圧印加				——————————————————————————————————————	作動	作動	
レベル3									12 A/P~J/B間配線の短絡・切断	1131 分離ボルト着	1132 K10用ドラ	1133 振動環境下	1134 分離指令ライ	1135 分離ボルト着	1136 分離ボルト着	1137 分離ボルト着	1141 ロケット内部	1142 分離ボルト点検ライ	1143 静電気	1144 RF干渉	1145 電気ノイズ	1151 熱による作動		1153 振動による作動	1161 誤配線等
レベル2									112A/P~J/BF	113 J/B誤作	動						114 分離ボル	アドアインバン	/ B以外が、 の の の の の の の の の の の の の の の の の の の	からの 馬田引加		115 環境によ 7 ペ離ポ	の万層パート一番不	誤作動	116 その他
レベル1																									
しベルの										A3															

実験機不時分離FTA (6 / 6) ○:原Bの可能性あり ◇:原Bの可能性はあるが低い ×:原Bの可能性はない

当沿	×	×	×
トベル6			
レベル5			
レベル4			
レベル3	結合分離装置の破壊	実験機結合部の破壊	ト破断
レベル2	21 結合分離	122 実験機結	123 分離ボルト破断
レベル1	12 実験機一	おからた。	破难
しべんり			

APパワーライン短絡 [レベル6~9] (1/3) ○:原因の可能性はあっが低い ×:原因の可能性はない ○:原因の可能性はあっが低い ×:原因の可能性はない 表A3-2

判定	×	×	×	×	×	×	×	×	×	×	×	×	×	×	×	×	×	×	×	×	×	×	×	×	×	×	×	×	×	×	×	×	×
アベンの	A111 28V入力接触不良	A112 28V系GND入力接触不良	A113 SV出力接触不良(A/Pへ出力)	A114 SV系GND接触不良(A/Pヘ出力)	A115 SV出力接触不良(J/Bへ出力)	A116 5V系GND接触不良(J/Bヘ出力)	A121 28V入力ラ心断線	A122 28V電源GNDライン断線	A131 断線		A133 筐体とショート	A141 短絡				A162 28VCOM断線	A163 DC-DC故障	A164 5Vout断線	A165 SENCE信号断線	A166 TRIM断線	A167 SESRT断線		A171 断線		A181 短絡	A191 短絡	A101 短絡	A123 5V出力線断線	A124 5VGND線断線	A211 電源回路—A/P間配線断線	電源回路一	電源回路一	A214 電源回路—J/B間配線GND短絡
レベル8	A11 1499						A12 配線 // // // // // // // // // // // // //		A13 入力フィルタL1			入力コンテンサC1,C3,C4a,C4b	A15 入力チョークコイルL2		/ A16 DC-DCコハバータ								A17 出力チョ-クコイルL3、L4		A18 出力デンサC18、C6、C7 /	出 カコンデンサC5	R1	A12 西2線		A21 5V電源配線 /			
レベルフ	A1 電源回路																													A2 西2線ケーブル			
レベル6	APパワーラインの短絡	1112411																															

APパワーライン短絡 [レベル6~9] (2/3) ○:原因の可能性あり △:原因の可能性はあるが低い ×:原因の可能性はい 表A3-2

単加	×	×	×	×	×	×	×	×	×	0	×	×	×	×	×	×	×	×	×	×	×	×	×	×	×	×	×	×	×	×	×	×	×
			電源回路-	電源回路-		31 p012コネクタ5V電源接触不良	32 P012コネクタ5VGND接触不良	33 P12コネクタ5V電源接触不良	34 P12コネクク5VGND接触不良	35 5V電源が筐体、GNDと短絡	41 ピン37が筐体、他GNDと短絡	11 ピン44(5V)、50(5VGND)短絡	短絡		41 電源とGND間短絡、過電流	GNDとの短絡	IC	12 IC 54FCT543故障、5V短絡(過電流)		14 フォトカプラHCPL-5751故障、5V短絡(過電流)	15 IC 54FCT273故障、5V短絡(過電流)	IC 54FCT240故障、	IC 54FCT521故			春		22 RAM MT501008故障、5V短絡(過電流)	23 A/D IDT79R3081故障、5V短絡(過電流)	24 水晶発振 HC4801CZ故障、5V短絡(過電流)		26 IC 54FCT543故障、5V短絡(過電流)	27 FPGA OL12x16B故障、5V短絡(過電流)
	A215	A216	A221	A222	A223	A231	A232	A233	A234	A235	A241	A311	A321	A331	A341	A351	A411	A412	A413	A414	A415	A416	A417	A418	A419	A410	A421	A422	A423	A424	A425	A426	A427
レベル8			2 GND配線			3 A/Pフレックスハーネス					1 J11 試験用コネクタ	730	2 × 10 μ、0.1 μ × 2	IC	IC SN54AC14	配約	アナログ基板										2 CPU基板						
			A22			A23					A24	A31	A32	A33	A34	A35	A41										A42						
レベル7												A3 V ヤンクションボード (J / B)					A4 オートパイロット(A/P)																
レベル6																																	

APパワーライン短絡 [レベル6~9] (3/3) ○:原因の可能性はあるが低い ×:原因の可能性はない 表A3-2

6 . 4	地流	×	×	×	×	×	×	×	×	×	×	×	×	×	×	×	×	×	×	×	×	×	×	×	×	×	×	×
C・MAO 4 RITO 7 4・MAO 4 RITISのの7. Bo・ へ・MAO 4 RITIS ない	しんシン	A428 EEPROM AT20C010故障、5V短絡(過電流)	A429 IC 54FCT543故障、5V短絡(過電流)	A420 IC 54FCT541故障、5V短絡(過電流)	A42a SIO Z85230故障、5V短絡(過電流)	A42b 水晶発振 T4801CZ故障、5V短絡(過電流)	A42c UART MAX232A故障、5V短絡(過電流)	A42d パスコンデンサ短絡	A42e 基板内パターン5V-GND短絡	A431 IC 54FCT543故障、5V短絡(過電流)	A432 IC 54FCT541故障、5V短絡(過電流)	A433 IC DS26C31故障、5V短絡(過電流)	A434 IC DS26C32故障、5V短絡(過電流)	A435 IC IDT7134故障、5V短絡(過電流)	A436 IC OL12×16B故障、5V短絡(過電流)	A437 SIO Z85230故障、5V短絡(過電流)	A438 水晶発振 T4801CZ故障、5V短絡(過電流)	A439 パスコンデンサ短絡	A430 基板内パターン5V-GND短絡	A441 IC 54FCT541故障、5V短絡(過電流)	A442 IC 54FCT543故障、5V短絡(過電流)	A443 IC 54FCT138故障、5V短絡(過電流)	A444 フォトカプラ HCPL6731故障、5V短絡(過電流)	A445 パスコンデンサ短絡	A446 基板内パターン5V-GND短絡	A451 JJ25アナロゲ基板コネクタ接触不良		A453 基板内パターン5V-GND短絡
	アベル8									3 HDLC基板										4 ディスツリート基板						5 マザーボードフレックス基板		
	レベルフ									A43										A44						A45		
	0グブク																											

付録4. 現品調査と検証試験の詳細

現品調査および検証試験の詳細を表 A 4 - 1 にまとめる。

A4-1 1

実験機不時分離現品調查 • 検証試験結果一覧 表 4 4 - 1

	No.		試験項目	 	赤察
	-	A1 ***	1号機全般導通· 絶縁検査	①誘導計測部、制御部の外観を確認・撮影した。 ②後部バルクヘッドをはずし、配線の導通・絶縁検査を行い、記録した。 ③A/P、DC-DC1xが「4、J/Boxを取り外した。 必要最小限の分解状態で、導通・ 絶縁検査結果を記録した。	
A4-2	2 A	11-1-1	A11-1 オートパ イロット分 解調査	r	オートバイルトに機能的に製造時と変わらず動作しておりオートパイツトに機能的に製造時と変わらず動作しておりオートパイプトインを にする。 (カナートパイルト本体は、外観上、一部のプリント基板、コネケに破損があるもののハードウェス、アントカェのデーケとも壊れることなく動作している。 ②+5V、±15VGNDが筐体と導通のあった原因は、墜落の衝撃で外筒が外力により破損し、外筒の一部がHDLCプリン基板の34分部に当たることによりプリント基板が移動してアルームと接触したものである。 (別・部ン・カスルースのコネケ部の断線については、34分部が大きく振れるように変形しており、これにより34分の外側の信号フィン3本が断線しており、衝撃で発生したものと推測する。イ展れるように変形しており、一本により3イクの外側の信号フィン3本が断線になり、衝撃で発生したものと推測する。 (カナトパイルトの変形は電源回路の変形と一致することから、墜落の際、電源回路と衝突したものと考える。
	3 A	<mark>す</mark> A11−2 信	オートパイロット分解調査 RS232C, RS422, TTL 信号ライン短絡調査	①オートパイロット分解前後でRS232C, RS422, TTL信号、ディスクリート信号ラインの抵抗計測 を行ったが、分解前後において短絡はなかった。	
	4 A	A11-3 注	オートパイロット分解調査 基板, マザーボード調 査		
	5 A	A11-4	オートパイロット分解調査 ICはんだ付け調査	①基板上の部品は図面通りに実装されていた。 ②部品のはんだ付けに異常はなかった。	

実験機不時分離現品調查·検証試験結果一覧 表 4 4 - 1

No		試験項目	試験結果	老察
9	A12	INE分解調査	誘導計測部に取り付いた状態で、外観検査及び導通・絶縁点検(電源+28V系)まで実施。 し、 し、 で、 の、 の、 の、 の、 の、 の、 の、 の、 の、 の	機械的な損傷を受けており、INEとしては正常に作動しなかったものの、電源についてはほぼ動作しており、電源短絡の痕跡や可能性はないことを確認した。
A4-3	A13	電源回路分解調査	ている。 ているところがあるが作動を- 5。 形跡はないもののコンデンサ に接触し易い状態であった。 結果、約5msecであった。 、6.31Vで過電圧検出し、以:、5.31Vで過電圧検出し、以:、1.3後0Vを維持することが判	 ①左記③の短絡が発生した場合、オートパイロットのリセットが発生し、分離ボルト着火に至る可能性があるものの、落下時の衝撃による変形でかきい端子が傾き、リー、線間が狭くなったものであり、今回の事象の要因とはならない。②過電圧、温度上昇による保護回路作動時は0V*ーが、となるため、本事象とは異なることが判明した。
ω	A14	指令受信装置分解調査	誘導計測部に取り付いた状態で、外観検査及び導通・絶縁点検(電源+28V系)まで実施。 施。 ①他の誘導計測部装備品に比べると損傷が少ない。(筐体変形4カ所、蓋取付ポル8本全て切断)一部、コネクタ取り付けの筐体部分に変形がある。(2本の34ク内部折損、一つの34分配線内部で切断) ②導通・絶縁点検(電源+28V系)の結果、電源、GND間の短絡はなかった。 ・28V電源系統のHot-Rtn, Hot-シャーシゲランド, Rtnーシャーシゲランド 間の短絡なし。	

(3/15) 実験機不時分離現品調查·検証試験結果一覧

表 4 4 - 1

	試験項目	試験 選送 の	考察 ① 技下の 無勢 ボニューン ガニコー のニュー ユーナー
A15 ジャンク	ジャンクションボード 分解調査	外税符合、場通総線符合及ひ基板レヘルへの分解まで実施。 ①損傷が激しい。筐体上部が一部剥がれ、内部を確認できる。また防振台は外れている。 ている。 ②分離ボルトアーミングリレー2個の内、1個はアーム状態、1個はセーフ状態であった。 3)筐体内部より取り出した基板は一部損傷している。 ④分離ボルトアーミングリレー及び着火リレーのX線検査を実施した結果、 リレー内部の破損は見られなかった。 ⑤RS422nかトテレメータデート信号(U1/26LS31)は破損し、チップが露出しているが、チップに 損等の異常な痕跡はなかった。 ⑥非常装置着火が抵抗に若干焼損の形跡があった。抵抗値は正常。 ⑥事常装置着火が抵抗に若干焼損の形跡があった。抵抗値は正常。 ⑥の離れ5V-GND間に短絡はなかった。 ⑧分離指令入力インパータ (U2/SN54AC14)は正常に作動した。 ⑧分離指令用フォトMOSリレ-(K10/A02205V)は正常に作動した。	①洛トの衝撃でフッチングリレーのフッチ位直が変動したものと考えられる。 のと考えられる。 ②内部基板については、損傷があったが、一部復旧し作動させたところ、分離指令に関わるインバータ、フォトM0SJレーには異常はなかった。 ③非常装置着火ラインの抵抗焼損は、独立ラインである4本全てに見られることから、各種試験において、継続して電流を流したために発生したものと考えられる。 たために発生したものと考えられる。 (④)レーについては、今回の事象の要因とはならない。
A2 制御音	制御部現品調査	次の項目について調査を実施。特記事項は特に無し。 ①外観の確認・記録 ②制御部脱落状況の考察 ③ケーブルの取り外し。	
A2. 1 ቻ-ቶ ን	サーボアンプ分解調査	外観検査、抵抗調査、分解調査を実施し以下のことを確認した。 ① 外観上に一部破損がある。(上パれ、後パれ、制御基板2枚、DC/DCコンバータ) ②電源間及び電源~筐体間に短絡はない。 ③制御電源、動力電源ともに短絡はない。	

実験機不時分離現品調查·検証試験結果一覧 表 4 4 - 1

9		試験項目	試験結果	考察
12	A3	結合分離機構(前,後)の調査	①前方結合部調査:左舷側のボルトキャッチャ、マウント部の脱落等損傷が激しい。②後方結合部調査:若干損傷があるもののほぼ原形を留めている。③分離ボルト電橋線作動調査:電橋線4個中2個は導通なし。残り2個は導通有り。 ・ 前方、右舷:107公[作動前電橋線抵抗値:1.0±0.2公] ・ 前方、右舷:107公[作動前電橋線抵抗値:1.0±0.2公] ・ 後方、左舷:0.03公[作動前電橋線抵抗値:1.0±0.2公] ・ 後方、左舷:0.03公[作動前電橋線抵抗値:1.0±0.2公] ・ 後方、左舷:0.03公[作動前電橋線抵抗値:1.0±0.2公] ・ 後の供試体と同様であった。 ⑤分離ボルト破面をSEM(電子顕微鏡)調査した。破面には付着物が著しく破壊形態の特定には至らなかった。 ⑥分離ボルトの成分解析を実施したところ、多量のAI,微量のK,C,Oが検出された。 かた。	(1)、②の損傷状況については、落下時の衝撃によるものと判断される。 ③作動後の分離ボルト電橋線導通有は、内部の火薬の残渣によるものと推測される。尚、正常に分離した分離機能技術確認試験後の供試体と同様な事象が発生している。 (5.2k2、0.11k2) (4)分離機能技術確認試験後の供試体と同様である。 した分離機能技術確認試験後の供試体と同様である。 の才口観察では分離機能技術確認試験用の供試体の破面との差異は認められない。 (6)2k2、1k2、0 (6)2k2、1k2、0 (6)2k2、0 (6)2k2、0 (6)2k2、0 (6)2k2、0 (6)2k2、0 (6)2k2、0 (6)2k2、0 (6)2k2、0 (6)2k2、0 (6)2k2、0 (6)2k2、0 (6)2k2、0 (6)2k2、0 (6)2k2、0 (6)2k2、0 (6)2k2、0 (6)2k2、0 (7)2k2、0 (6)2k2、0 (7)2k2、0 (7)2k2、0 (8)2k2 (8)2
13	3 A23	電池調査	E装置と考えられる)と衝撃により損傷した個所が !集個所には+リード線があり、リード線も含めて こ、エ常放電と変わりなし) こ、十リード線と一リード線の折れ曲げ付近で焼掛 が力の加わった形跡は認められない。 には外観上損傷はないが、X線検査から+リード線 いることが判明した。セルには変形など異常はな いることが判明した。セルには変形など異常はな には解体調査を実施し、+リード線と-リード線には溶 で体には異常はなかったが、外部配線に被覆の剥加	誘導計 制御部 制御部 記 記 記 記 記 記 記 記 記 記 記 記 記 記 記 記 記 記 記
14	1 A4-1	アンビリカル-ブル類の調査 (ロケット~実験機アンビリカル)	外観検査及び導通絶縁検査を実施。 ①ロケットモータ内圧センサの3線シールドのシールド外皮が断線している。 ②ロケットモータ内圧センサの3線シールドのシールド外皮とロケットモータ内圧センサ(P1)がショート。 センサ(P1)がショート。 ③アンビリカルコネクタには打痕がみられ、一部黄色い塗料を確認した。	アンビリカルケーブルにおいて実験機分離モニタの短絡がないことが確認できた。

(5/ 15) 実験機不時分離現品調查·検証試験結果一覧 表 4 4 - 1

考察	 ① + 5 \(\) 電源ラインの断線によるオートパイロットのリセットは無い。 ② 左記②のGND配線については、大電流が流れたことにより焼損した形跡があり、A23電池調査結果から、落下による損傷で露出した誘導計測部用電池の+リード線が筐体に接触し、電流が流れたものと考える。 	1
試験結果	①+5∨電源ライン及び+5∨電源GNDラインについては断線が無いことを確認した。 た。②ターミナルボードTB2~機体間のGND配線(#16、1本)に焼損と見られる被覆の剥がれがあった。周辺配線には熱損傷なし。③+5∨電源ラインのGNDへの短絡はなし。④トンネルケーブルこついては損傷が激しく(2箇所で断線、ロケット後方焼損)導通調査困難。 ⑤制御部内ハーネスについても焼損しており導通絶縁調査困難。	ハーネス単体のカシメ部及びスプライス部の引張り強度データを取得した。 実アンビリカルケーブルを用いた引張り試験は他の試験を優先し、未実施
試験項目	15 A4-2 打ち上げロケット内ハーネ 15 3の調査 15 15 15 15 15 15 15 1	アンビ リカルケーブ ル引 つ張 り 試験
	A4—	05
No	<u> </u>	16

実験機不時分離現品調査・検証試験結果一覧 表 4 4 - 1

(6/15)

考察	①配線によるショートとしてはスプライス部分で起きる 可能性が在る。ただし、誘導部用電池電圧モニタ、 Firing信号、BIT判定結果ラインはスプライス付近も 含め、損傷がないため、アンビリカルケーブルでの28V ショートの可能性は低い。 ②断熱材の損傷の仕方が、通信系、点火系いずれにも 共通しており、両ケーブルは同時に破損したと推定される。
試験結果	 ・通信系アンビリカルケーブル (1) (1) (1) (1) (1) (1) (1) (1) (1) (1)
試験項目	アンヒ゜リカルケーフ゛ル漢 の 調 (W01, W02)
No No	17 C2-1
	— — — A4-7

実験機不時分離現品調查 • 検証試験結果一覧 表 4 4 - 1

考察	①MIケーブルはランチャ中継ボックス内の信号系の中継ケーブルであるが、コネクタ近傍のTxケーブルが各種事前試験におけるケーブル脱着作業及び移動・輸送時の振動などにより電線被覆部が少しずつこすれて、芯線が露出し、ケーブルクランプと接触したものと考えられる。 ②RS-232C Txラインはケーブルクランプを通してランチャと接触しており、ノイズ等が入りやすいと考えられる。 ③上記接触はケーブル取り付け状態などの影響を受けて不安定であり、振動・衝撃により接や断と変化する状態であったと予想される。
<u> </u>	 ①導通絶縁検査により、P155コネクタZSピン (RS-232C TX) とコネクタ パックシェルがショートしていることを確認。 ②RS232C Txラインの電線の被覆が損傷し、芯線が露出していることを 確認。 ③芯線が露出している箇所で、カドミウム、銅が検出された。 (カドミウムはケー ブルクランプ部のメッキ材料、銅は電線材料であり、特に異物はない)。 ④芯線が露出している箇所のSE M観察の結果、短絡等によって生ずるスパーク 痕(金属の再溶解によって生ずる粒状の付着物) は認められなかった。
試験項目	18 G2-2 アンビリカルケーブル類の調査 (W1)
	. 62–.
9N	18

実験機不時分離現品調查·検証試験結果一覧 表 4 4 - 1

(8/15)

No		試験項目	試験結果	**************************************
<u>⊕</u> A4−9	62-3	アンビ リカルコネクタの調査 (P151, P152, J151, J152)	画にネタケビリカルコネクタ (P151) (プロオクタはつぶれたようなをあるである。 (D) カーシャル・カクター・カート がしまり (D) がん (D) から (D) がん (D	通信条アンビリカルコネクタ (①ランヤードによってコネクタが引き抜かれて外れた ものと考える。 理由(1)アウターシェルが引き抜かれた状態である。 (2)レセプタクルの3, 4個のボール痕は通常の 着脱で起きたものと差異がない。(4号機の 同コネクタにも同様なボール痕あり) (3)ランヤード以外にこの付近でアウターシェルを 引き抜くものがない。 (4)ボールに異常な変形や磨耗がないことから 必要以上の荷重等がかかっていない。 (4)ボールに翼にな影から判断しランヤードはコネクタの 前のほうに位置して引っ張り荷重を受け破断した。 コネクタが抜けた後、噴流及び機械的な力により切 れたものと予想される。

実験機不時分離現品調查 • 検証試験結果一覧 表 4 4 - 1

No	試験項目	試験結果	考察
		通信系レセプタクル(J151) ①円周1/4の範囲でかけがある。 ②コネクタをロックする穴から引き抜き方向に直線状のボール痕が3,4箇所ある。 ③損傷部及び付着物の成分分析結果は、主としてブラスト成分だった。	点火系アンビリカルコネクタ ①ランヤードによってコネクタが引き抜かれて外れたものと考える。 理由は通信系と同じ。但しボール痕なし) ②点火系アンビリカルコネクタは20番線が19本の全てのピップ・デュー・
		系アンビリカルコネクタ(P152) ウターシェルがコネクタ後方に引かれた状態(コネクタセット前の状態)であ ・・・・・・・・・・・・・・・・・・・・・・・・・・・・・・・・・・・・	に入っており、緑のかしの部から抜けるカよりインサートで破壊される力が小さかったため、インサー ト部分が先にれたものと推定される。通信系アンビリカルコネクタは22線で細くかしめ部が外れやすい。
		部は熱の暑 れてなくた)点火系アンビリカルコネクタは、カントしたノズルの噴流 影響を強く受ける位置にあり、コネクタ、ケーブル及びライードへの熱的影響が大きかったと考えられる。このことにフンチャストッパの内面の噴流跡の観察からでも裏付けら
	(前項目続き)	(4)コネクタ全般に渡り付着物が着いている(細部解析中) ⑤ゴム部には弾性があることから熱的損傷は軽微である。 ⑥打痕部の観察結果より、ケブル側からピン側に進む擦り傷が認められた。 ⑦通信系과が端部に認められた様なコケリト片の食い込みは認められない。	れる。 ④付着物はブラスト成分と推定される。 通信及び点火系レセプタクル ぎェュー・キャンのルーではないコンチュー・シン
		のまががらいろ」がある。破板がようになりってあり、然頃は敵のちんない。 ③上記②に続き、細部解析(SEM観察)の結果、破面は付着物に覆われており、 破面形態の特定には至らない。破断部近傍は素線の形状をとどめており、溶融した様②波面上で検出されたC.Fからテフロン等の高分子材の存在 相は認められない。 「他」記念に結果、付着物は単色及びにあの異物ととまし	ノンスト・砂灰ガジでにTIが検出されたことがら、ノンイー塗布部分との接触が推定される。)波面上で検出されたC,Fからテフロン等の高分子材の存在)推定されるが、これが接触による物かは不明。
		多量に別されて、おものでは、またでした。これであると推定される。 の上記⑧に続き、する内部の樹脂部分を観察した結果、ピッ穴内部には、 ピッや圧着端子などの残さは認められない。 また、樹脂部分には亀裂や欠損は認められず、熱損の様相も認められない。	
\4-10		点火系レセプタクル(J152) ①円周1/4の範囲でかけがある。 ②コネクタをロックする穴からのボール痕はなし。 ③損傷部及び付着物の成分分析結果は、主としてブラスト成分だった。	

実験機不時分離現品調查·検証試験結果一覧

表A4·

N _o	0	試験項目	試験結果	考察
Ž	20 63.3	3 叶ッドストッパ。の調査	(1)打痕 ロケットストッパ前端面(2箇所),後端面(1箇所)に打痕有り。 ②ブラスト 開口部後方には、ブラストの付着していない範囲有。 ブラストはロケットストッパ内上側に偏って付着している。 ③アンビリカル取付金具設置位置: 点火系;長穴前端面からの隙間4mm ワッシャ痕観察(ずれたような痕跡無し。) 戻りトルク検査(ボルトの戻りトルク:13N・m[締付トルク:19.2~21.2Nm]) 通信系;長穴前端面からの隙間4mm フッシャ痕観察(ずれたような痕跡無し。) 戻りトルク検査(ボルトの戻りトルク:13N・m[締付トルク:19.2~21.2Nm]) 原りトルク検査(ボルトの戻りトルク:14N・m[締付トルク:19.2~21.2Nm])	(1)打痕は、ロケットノズル(金属覆)側の打痕とよく一致しておりロケットストッパ内をロケットノズル(金属覆)を通過したことが推測される。 (2)開口部後方にブラストが付着していない範囲があるのはアンビリカルケーブルの影になった可能性も考えられる。また、ブラストがロケットストッパ内上側に偏って付着しているのは、ノズルがカント角を有している為と判断できる。。 (3)調査結果より、アンビリカル取付金具は発射前の調整のままで、発射時には緩んでいなかったと判断できる。まで、発射時には緩んでいなかったと判断できる。(4)内外面に付着した白灰色の物質は酸化アルミが主成分と考したられ、その様子からノズルカント方向であるランチャ方向に強心噴流衝突の痕跡が認められる。
⊼ A4-11	1 63.4	中継ボックスの調査	通信系, 点火系340的取付け箇所周辺に変向きに曲げられた形状となっている。ボックス底板を一体化したモデルを用近似し解析を行った結果、約600~700kgf上ベルの荷重で作用時間が短くなるにつれ、変形に必要(用時間が短くなるにつれ、変形に必要)	破損解析結果より、これらの変形は、ケーブルより入った荷重によって通信系、点火系のコネクタが曲げられたものと考えられる。
22	2 A5	フィン(アンテナ含)の調査	①フィン#1、#4は、大きな亀裂や外板の飛散等があり他の2枚に比べ損傷が大きい。 い。 ②フィン#3は後端部に欠落があるがほぼ原形を留めている。 ③フィン#2はもっとも損傷が少なくほぼ原形を留めている。 ④フィン#2の指令受信アンテナ、#3のトランスポンダアンテナについては正常に機能することを確認したが、それぞれのアンテナケーブルは損傷している。	フィン#1、#4の大きな亀裂は実験機との衝突によるものと推測され,他の2枚に比べ損傷が大きい。

実験機不時分離現品調查·検証試験結果一覧 表A4

考察	I	①RS232CのTx及びRxに電圧を印加した場合、スートパイロットに 10-10-11-11-11-11-11-11-11-11-11-11-11-1	①オ-トパイロット本体は、ハードウェア、ソフトウェアとも製造時と変わらず動作していることが確認された。 ②左記②の+5V電源HOTとGND間の短絡が発生した場合、オートパイロットのリセットが発生し、分離ボルト着火に至る可能性がある。
試験結果	①打上ロケット、発射制御装置、M1ケ-ブル代替品について、導通・絶縁を検査し、 問題ないことを確認した。 ②発射制御装置及び#4ロケット誘導計測部及び制御部が正常に機能することを 確認した。	①TxラインをGNDに短絡した結果、過渡的電流は確認できなかった。また故障も生じなかった。 Ξ Ixラインに28VDCを電圧を印加したところICが故障した。 ③Txラインに28VDCを電圧を印加したところICが故障しなかった。また、 下internation π の電圧を印加したところ、ICが故障した。 は時的な電源電流(4. π 100nS以下であり、その後の定常的な電源電流は50mAであった。(正常時は5mA)電源電流は50mAであった。(正常時は5mA)を②の再現試験として π xランいに主28VDCを印加したが故障は発生しなかった。但し、:32VDCの電圧を印加したが故障はないたところICが故障した。故障時の電源電流は最大で150mAであった。 ⑥Rxj4\に±40VDCの電圧を印加したが故障は無かった。 ⑥Rxj4\に±350V/1 μ Sまで電圧を印加したが、入力電圧は物50Nでカラン。されICは故障しなかった。また、このときの電源電流は6.4A、50nS以下であった。	 ①外部フレックスハーネスのコネクタからは電源間短絡、信号とGND間には短絡はなかった。 ②+5VGND、±15VGND (両GNDは内部で接続されている)と筐体間に導通があった。 導通個所は、オートパイロット本体内ではなく、外部機器と接続するフレックスハーネスおであることが判明した。 さらにその箇所は+5V電源H0Tラインと筐体が短絡し易い構造となっていた。 ③外筒からオートパイロット本体と外部フックスハーネスを取りだし分解した結果、コネクタの勘合には異常が無かった。 Qオートパイロット本体に電源を投入しRS232Cラインから内部メモリのソフトウェアチェックサム値を読み出し、正規の値であることを確認した。 ⑤更にオートパイロット本体とシュレーシュテff算機とを組合せ閉ループシミュレーションをした結果、正常動作することを確認した。 ⑥あlo29~35の試験ため、オートパイロット本体の基板にモニク線を接続し、組立を行った。 ⑦部品取り付け状態の調査については、No29~35の試験後に行うこととした。
試験項目	再現試験 機能確認	B11-1 オートパ イロット部 品確認 RS232C用 IC単体調査	811-2 オートパイロット単体確認
No No	23 B1	24 B11-	25 B11-;
Z	2	~` A4−1:	

実験機不時分離現品調查·検証試験結果一覧

表A4·

No	C	試験項目	試験結果	考察
2	26 B11	オートパ イロット単 休確認 + B11-3 5 V 電源瞬断及び低下調 査	瞬時電流を一定時間流すことにより、5V電源の瞬断を模擬した。 ①瞬時電流 1.0~4.0A、継続時間:50μsecではA/Pはリセットしない。 ひ以下では、300μsec及び600μsecではA/Pはリセットしない。 ②瞬時電流 2.5A、継続時間:150μsecでA/Pがリセットした。 ③瞬時電流 3.0A、継続時間:150μsecでA/Pがリセットした。 ③瞬時電流 4.0A、継続時間:65μsecでA/Pがリセットした。 試験結果よりA/Pがリセットを起こすためには少なくとも 2.5A以上の瞬時電流が必要である。	+5∨瞬断時にA/Pがリセットを起こすまでの時間は、A /P入力端バイパスコンデンサ及び電源回路応答時間に支配 されていると考える。 ①の継続時間50μsec及び②の瞬時電流1.9Aケース では、瞬断が回復するまで及び電源回路が応答するまでの消 費電流がバイパスコンデンサでカバーされた為、電源電圧が 4.55∨以下まで降下ぜずリセットが発生しなかったと考えられる。
2	27 B111	オートパイロット単体確認 B11-4 RS232C, RS422, TTL信号ラ イン短絡、電圧印加調査	①CPU基板単体 (BBM) において、RS232CのTX出力ライン(+10V出力状態)に-140V以上vx幅 1 μsのサージ電圧を印加した場合に5V電源電圧の低下があったものの、リセット信号カはなかった。 ただし、リセット信号にノイズ状の電圧変動が見られた。 さらに-300Vパ 以1 μsのサージ電圧を印加したときにRS23C用にが故障(一側出力電圧低下)した。②上記形態に-160V、パルな幅8 μsのサージ電圧を印加したところ、リセット信号出力が発生したものの、RS232C用にが故障(+側出力電圧低下)した。	 *ル (1)RS232C用ICが故障しないい、ルのサジ電圧を印加した場出合、リセット信号出力は発生しないものの、ノイズ状の電圧変動に変動がCPU、ラッチ用 ICに与える影響が考えられ、不具合要因の可能性として残る。 (2)RS232CのTX出力にサージ電圧が印加した場合、リセット信号出力が発生する可能性はあるものの、RS232C用ICが故障する。
A4-13	28 B11	B11-5 イカートパイロット単体確認 GNDレベル変動調査		点火系ケーブル等における24V、28Vの流れている配線又電池28Vが筐体とショートすることにより、オートパイロットのリセット又は誤作動が発生して分離ボルト着火に至る可能性がある。
2	29 B12	B12-1 サージ電圧によるGNDレ ベル変動調査(その 1)	5 V 浮か れた時点 は全く変 でアンビ ご発生し アンビリル	誘導計測部を25V浮かした状態でアンビリカルを引き抜きを実施しても+5V電源電圧は変動しなかったことから、アンビリカル正常引き抜きによる+5V系GND系へのリーク電流の流れ込みやサージは発生せず、A/Pにリセットがかかることは考えにくい。
က	30 B12	B12-2 ゲルジ電圧によるGNDL ドル変動調査(その2)	①RSZ3ZCのRx及びT×のラインに11V以上の電圧が印加されることはなかった。 ②リレー駆動電流をカットすることによって、RSZ3ZCのシグナルGND電位が 数100mV~1Vの範囲で変動した。 ③アンビリカルケーブルのシールド線を断線模擬したき、RSZ3ZC GNDの発射制御装置端で約一9Vのサージを確認したが、このサージではA/Pにリセットがかからなかった。	①RS232CのRx及びTxに異常な電位が発生していないことから、サージ電圧がRS232CのRx及びTxに印加され、A/Pがリセットされた可能性は低い。

A4-13

実験機不時分離現品調查·検証試験結果一覧

表 4 4

No		試験項目	討験結果	孝察
31	ı	A/P筐体電流印加試験	 ①5~10A程度の電流印加によって、高いサージ電圧が発生し、電流断時にA/PリセットIC付近+5V電源が大きく変動することを確認した。 ②A/PリセットIC付近+5V電源ラインに対して、ブレッドボード上に他のリセットIC(単品)を並列に付けて試験を実施したところ、3~10Aの電流印加でブレッドボード上のリセットICはリセットしたが、A/PのリセットICはリセットしたがった。 	① 5~10Vの低い電圧印加でも高いサージ電圧が発生する事が判明した。② リセット信号発生の有無については、ノイズ環境下での計測精度、I Cのばらつきなどの違いによるものと考えられる。
32	B13	28V電源瞬断試験	瞬断発生機能付き電源で瞬断を起こし、A/Pのリセットに必要な電源瞬断時間や、A/Pがリセットした場合に分離ボルト着火信号が出力されている時間等について調査した。 ①28V電源の瞬断が4msec以上継続すると、電源回路の5∨出力が4.55∨を下回りA/Pのリセットが発生することを確認した。 ②A/Pがリセットした場合に分離ボルト着火信号が出力されている時間は16~20msecであった。 ③28V電源が瞬断すると、圧力センサ出力PI及びP2の両方の出力が同時に低下することが判明した。 → よことが判明した。 ④分離指令がA/P(FCT541)より出力されてから約6msec後に分離ボルト着火信号が出力されることが分かった。	 ① 4 m s 以上の28 V電源瞬断で、A/Pはリセットし、分離ボルト着火に十分な時間(5 m s e c 以上)、着火信号が出力されることを確認した。 ②飛行実験時にはオートパイロットが停止した時点でデータしコーダのP1, P2が変動していない為、28 V電源瞬断の可能性は低い。 ②インバータ(S N 5 4 A C 1 4)、K 1 0 フォトMOS リのインバータ(S N 5 4 A C 1 4)、K 1 0 フォトMOS リー(A Q Z 2 0 5 V)及びK 2 分離ボルト着火リレー(Y-J-2N)のトータル作動時間遅れ量は約6 m s e c である。
ස A4−14	B14-1	RS 2 3 2 6ラインへの +28V系へのショート	試験省略	5∨瞬断試験(B11-3)とRS232G単体試験(B11-1) でRS232Cラインが28∨と短絡しても5∨電源電圧に 影響が無いことを確認した為、試験を省略する。
34	. B14-2	RS 2 3 2 CラインのGND ショ-ト	発射シーケンスを実施し、ロケットモータ点火信号が出力された時点で、RS-232CのIX、RXのいずれか又は両方のラインをGNDと短絡させた結果、GNDや電源の変動はなく、RS232CラインのGNDへのショートではA/Pにリセットがかからないことを確認した。なお、IX、RXラインのGND短絡時の+5V電圧変動を10mVオーダで捕らえられなお、IX、RXラインのGND短絡時の+5V電圧変動を10mVオーダで捕らえられるようにして電圧変動量の計測を行なったが、+5V電圧の変動は見られなかった。	RS-232CのRx,Txラインが単にGNDに短絡しただけでは今回の不具合は発生しない。
35	B14-3	RS422 ラインの+28 V系へのショート	試験省略	A/P現品調査において、RS4221Gに損傷がなく、かつ、28V電源瞬断試験(B13)より、28V電源瞬断の可能性が低いことが判明した為、試験を省略する。
36	B14-4	4 ディスクリートライン のGNDへのショート	試験省略	アンビリカルケーブルでのディスクリートライン(B1T判定結果(28V)、FIRING信号(28V))の短絡の痕跡がなく、かつ、28V電源瞬断試験(B13)より、28V電源瞬断の可能性が低いことが判明した為、試験を省略する。
37	B18	圧力センサ出力変動確認試 験	分離機能技術確認試験時相当の衝撃(1206)をセンサに印加し,出力に変動の生じることを確認した。	圧力センサは分離ボルトの衝撃により出力変動を起こした可能性が高い。

A4-14

実験機不時分離現品調查·検証試験結果一覧 表A4·

No		試験項目	試験結果	
	B19 A	A/Pソフトウエア確認	 ①分離指令出力に関する処理について処理フロー及びソフトウェアソースが仕様書通りであることを確認した。 ②ソフトウェアソースリストについて分離指令出力に関連する変数名等を全モジュールについて検索し、分離誤出力がないことを確認した。 ③分離時間をカウントしているタイマ処理の正当性についても変数名等を検索することにより確認した。 ④オートパイロット全体の処理について再確認を実施し問題無いことを確認した。 	オートパイロットソフトウエア上、全処理を通じ、不時の分離指令出力が発生しないことを確認した。
	ilida O N M	誘導計測部環境試験	①地上燃焼試験から推定される音場による音響加振 (153db) をかけたが、短絡は発生しなかった。 しなかった。 ②AutoPilotに対する直接加振を、AutoPilotに対する環境要求 (4.2grms相当) に達するまでかけたが、短絡は発生しなかった。 ③AutoPilotに対する静的荷重負荷を4g加速相当まで印加したが、短絡は発生しなかった。 ④不具合の起きた1号機の状態について引き続き調査を実施し、A/P基板の状況など、面者の相違を明確にした。 ⑥不具合発生時のINEデータから、不具合が発生した主推力立ち上げ時の衝撃及び発射時衝撃を模擬し、誘導計測部の落下による衝撃試験を行った。 ⑥上記の結果、主推力立ち上げ時の衝撃を模擬した試験で、A/Plhvylにつながる短絡を発生する事象が確認された。	 ① 試験に供した誘導計測部4号機では、振動条件によって 短絡を起こすことは無い。 ② 主推力立ち上がり時に発生する数ヘルッオーダーの衝撃により、A/PJとックスパーネス基板で短絡が発生し、A/PJとがに陥り、不時分離に至った可能性のある事が確認された。

• 検証試験結果一覧 実験機不時分離現品調査 表 4 4

L				
N _o	-	記奏項目	試験結果	考察
			①実験機~ロケット~発射制御装置を含むGSEを組立て、接続して、打上形態を模擬し、パッテリによる作動による打上シーケンスを4回実施した。また、外部電源による作動(制御部230V有り、無し各1回)を実施した。打上シーケンス中、点火系アーム、アンビリカル引抜き時等において、実験機が、加付ND~ロケット筐体、ロケット+5V~ロケット筐体には数Vの変動が計測されたが、 $+5V$ ~ $+5V$ ~ $+5V$ 0NDには大きな変動は計測されなかった。全試験ケースを通じ、 A/P $)$ セット、 PCM 通信途絶、分離ボルト着火信号出力は無かった。	①打上シーケンス中に数VのGND変動が計測されたが、A/Pリセット、PCM通信途絶、分離ボルト着火信号出力が無かったことから、打上形態(実験機とロケットの結合、内部バッテリ作動)に起因するGND変動は、打上時分離不具合の原因ではないものと推定する。
A4) B22	2 打上形態GND変動検証	②実験機バス電圧A、Bについては打上時の変動が再現している部分と、再現しない部分、試験ケース毎に変動の様子が異なる部分があった。 ・再現部分: ・バッテリON時の電圧上昇 ・ブッテッと実験機アンビリカル引抜き時のバスB電圧上昇 ・ロケット~実験機アンビリカル引抜き時のバスB電圧上昇 ・ロケットと実験機アンビリカル引抜き時のバスB電圧上昇 ・非再現部分: ・北再現部分: ・北再銀部分: ・がかきに異なる部分: ・が部電源電圧下げ操作時のバスA電圧変動 ・バスB電圧の低下	②バス電圧変動の非再現部分:ロケットと実験機分離後のバス電圧変動(39672.15秒)は、ロケット・フィンと実験機工ルロンの衝突(39672.011秒)後に発生しており、ノーマルな状態では発生しないものと推定される。試験毎に変動状況が異なる部分はJ-BOX操作(速度)の差異、パッテリ初期電圧と残容量の条件に起因するものと推定される。 総体的にはほぼ、打上時の電圧変動が再現しているものと考える。
16			③ロケットA/Pフレックスハーネス基板上スルーホールでA/P 5V電源を短絡させ、その際実験機のデータレコーダに記録されるデータを調査した。その結果、飛行実験時と同様、A/PにリセットがかかりロケットPCMが途絶するのと同時に温度センサ値にとびが生ずることを確認した。	③A/P 5V電源の短絡により、ロケットPOMの途絶と同時に温度センサ値がとぶ事象が再現した。
41	10	実験機現品調査	飛行実験に使用された実験機 #2号機の飛行実験後の状況を確認するために、機体構造及び装備品の現品調査を行った。 ①他面駆動、航法誘導制御、通信計測、電力、非常、回収の各系統及び機体構造に関して調査を行った。 ②今回の調査は、主に目視確認・損傷状態の写真撮影による記録を実施した。 ③調査結果としては、実験機には、実験機と打ち上げロケットの衝突・実験機の着地・カートリッジアクチュエータの作動及が打上ロケットの噴射による損傷あるいは変色が見られるものの、それら以外の異常事象は見受けられなかった。	調査の範囲内ではロケットA/Pリセットにつながるような痕跡は実験機では見られなかった。

A4-16

付録5. 実験機システムの概要

5. 1. 目的

小型超音速実験機計画では次世代超音速機に対する中核技術の開発と確立を目指し、 主に次の3点を主要な目的とする。

- ①小型超音速実験機の開発および飛行実験を通した先進的航空機システム統合技術 の獲得·確立
- ②数値流体力学(CFD)技術を用いた航空機空力設計技術(逆問題設計法)の開発と飛行 実証による技術確立
- ③飛行実験手法の確立

5. 2. システム概要

上記目的を達成させるため小型超音速実験機計画では次の2種類の形態による飛行実験を計画している。

● ロケット実験機

無推力の小型超音速実験機(超音速滑空機)を用い、ロケット打ち上げにより飛行 実験高度に投入させ、所望の飛行実験を行う。本計画では主に超音速飛行時の抗 力低減技術として独自に開発した CFD 逆問題設計技術を飛行実証する。

● ジェット実験機

ジェット·エンジン(テレダイン社製 YJ69)搭載の小型超音速実験機を用い、大型 航空機からの分離により飛行実験高度に投入し、所望の飛行実験を行う。本計画 では超音速および遷音速飛行時における推進系作動時の実用的な運用条件に対す る揚抗比改善技術を飛行実証する。

以下にロケット実験機のシステム概要をまとめる。

(1)実験機の空力設計概要

ロケット実験機の空力形状は超音速飛行時の抗力低減を目標として、次の空力設計コンセプトと今回独自に開発した CFD 逆問題設計法を適用して設計した。

- ・アロー型平面形による揚力依存抗力の低減
- ・主翼の捩りとキャンバー分布の最適化(ワープ)による揚力依存抗力の低減
- ・胴体断面積分布の最適化(エリア・ルール胴体)による体積依存造波抗力の低減
- ・超音速自然層流翼による摩擦抗力の低減

図 A5-1 に空力設計コンセプトをまとめる。

空力設計に際しては、代表的な次世代超音速輸送機の機体諸元(設計マッハ数 2.0、設計揚力係数 0.1、全長 91m、主翼面積 836m²、機体総体積 850m³、最大離陸重量 330ton、乗客数 300 人、航続距離 10,000km、等)を想定し、その 11% スケール機と設定した。図 A5-2 にロケット実験機の主要諸元と三面図を示す。

(2) 実験機の構造設計概要

本実験機では空力形状の高精度の実現を考慮して外翼および前縁部は金属の一体構造とし、それら以外は通常航空機同様の外板と桁およびフレーム構造とした。 図 A5-3 にロケット実験機の構造概要図を示す。

尚、飛行実験では世界初の超音速自然層流翼効果を実証するため、機体表面を風 洞試験模型に準ずる状態として主翼前縁から約20% 翼弦長までの表面粗さが約2~ 3μ以下となる表面平滑度状態の保持を要求した。

(3) 実験機の装備品搭載概要

本実験機では系統別に以下の代表的な装備品類を搭載している。

・飛行制御系統:フライト・コンピュータ、慣性航法装置、舵面駆動用アクチュエ

ータ、大気データ取得装置(5 孔ピトー管)、Nz センサ

計測系統 : 計測センサ類(絶対圧センサ、圧力スキャナ、温度、シグナル・

コンディショナ)、信号処理機(シグナル・プロセッサ)

・通信系統 : トランスポンダ・アンテナ、コマンド・レシーバ

電力系統 : バッテリ、アンビリカル・コネクタ

・回収系統 : エアバッグ、パラシュート

図 A5-4 に装備品配置図を示す。

(4) 打ち上げロケットの設計概要

打ち上げ用ロケットとしては既存の SB735 をベースに、燃焼パターンの変更、ノズル・キャント角の設定を含む固定ノズルへの変更、飛行制御用フィンの設置、等の改良を行い、本実験機の飛行条件に投入可能な性能を有する設計を行った(本ロケットは NAL735 と呼称)。図 A5-5 に打ち上げロケットの概要を示す。

また図 A5-6 にロケットから分離した際の実験機とロケットの分離挙動シミュレーションの結果を示す。本結果は超音速風洞試験で得られた空力データを基に推定したものである。

5.3.飛行実験の概要

(1) 実験場

飛行実験場は豪州ウーメラ実験場を選定した。図 A5-7 にその位置ならびに飛行地域を示す。

(2) 飛行要求

飛行実験は高度 15km を中心に 18km から 11km までの高度において、マッハ数 2 ±0.05 を中心とするマッハ数範囲で飛行することを基本条件とし、可能な限り広い範囲のレイノルズ数を確保する高度において迎角(α)スイープを行うことを飛行要求とする。飛行過程は図 A5-8 の飛行概念に示すように大きく次の 4 段階から構成される。すなわち、実験機を実験条件に投入する NAL735 ロケット・ブースタによる打ち上げフェーズ、分離から実験条件投入までの遷移飛行フェーズ、マッハ数 2 ±0.05 において計測を行う試験フェーズ、並びに実験機の回収地点へ帰還する回収フェーズである。図 A5-9 に標準飛行経路図を示す。

(3) 実験内容

実験機は2機製作し、2回ずつ合計4回の飛行実験を行う。各飛行実験の主な目的および課題は以下の通りである。

①総合システム試験

・第1回フライト:実験システムの技術信頼性確認、計測手法技術確認、飛行実 験課題への適合性確認

・主要確認項目:打ち上げ機能性能、分離機能、飛行実験条件付与、遷音速飛 行安全性、回帰飛行制御、回収システム機能、計測機能、通 信機能、データ処理機能、ほか

②飛行実験

・第2回フライト:基本技術実証飛行(空力性能及び表面圧力、境界層計測)

・第3回フライト:データ再現性及び精度向上(境界層計測及び基本空力性能)

・第4回フライト:飛行条件・課題の拡大及びデータ再現性・精度向上

(4)飛行実証方法

CFD 設計技術の飛行実証においては、評価対象は揚抗特性、圧力分布特性、境界層遷移特性の3つとする。実証方法としては、これらに関する CFD 解析データと各種誤差源に基づく補正を施した飛行実験データとの比較を通して行う。

(5) 計測内容

計測は遷移計測を含む空力計測を中心に表 A5-1 に示される各項目に対して行う。

表A5-1 ロケット実験機の計測項目

分類	計測項目	計測センサ	計測点数
基本計測	位置、速度	レーダ、IMU	2 点
	迎角、マッハ数、動圧、全温	ADS、TAT センサ	6 点
機体諸元計測	姿勢角、加速度、舵角	IMU、G センサ、舵角センサ	9 点
CFD 対応圧力計測	主翼上下面静圧	・零点補償圧力スキャナ・センサ	432 点
	胴体表面静圧		
	水平尾翼表面圧		
	垂直尾翼表面圧		
境界層計測	主翼上面遷移計測	ホット・フィルム	96 点
	主翼上面非定常圧力	非定常圧力	
	主翼上面境界層総圧	プレストン管	
	主翼上面金属温度	熱電対	
	胴体側面遷移計測	ホット・フィルム	
	胴体側面非定常圧力	非定常圧力	
	胴体側面金属温度	熱電対	
構造計測	変形、振動、温度ほか	歪計、熱電対	190 点
ロケット計測	飛行諸元、システム・モニタ等	IMU、G センサ、舵角	66 点
監視計測	画像監視	テレビ・カメラ	1 点

5. 4. 原因調査に関連する部位の説明図

本報告書で引用したロケット実験機システムに関連する部位の説明図を図 A5-10~A5-15 にまとめる。

・図 A5-10: 誘導計測部とオートパイロット外観

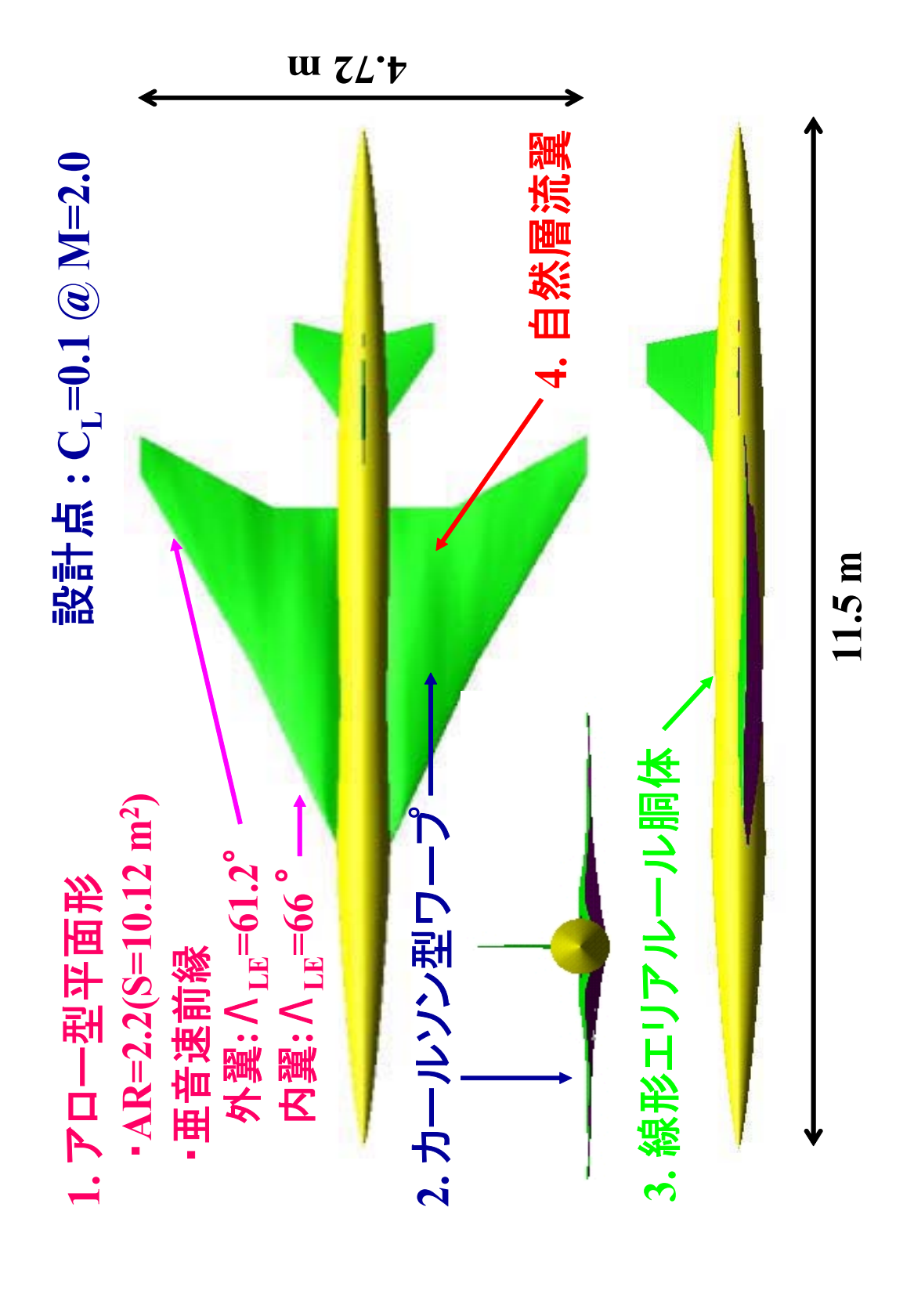
・図 A5-11:打ち上げロケット誘導計測部内回路概略および外部とのインタフェース

・図 A5-12:アンビリカル·ケーブルの艤装と外観

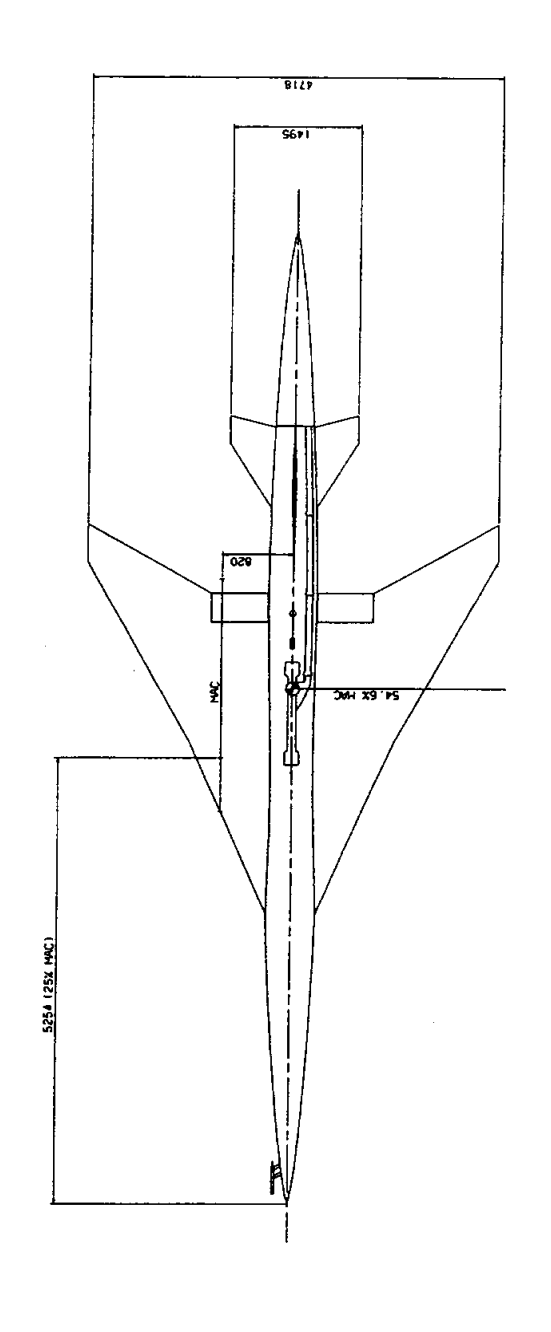
·図 A5-13:前方結合分離部詳細

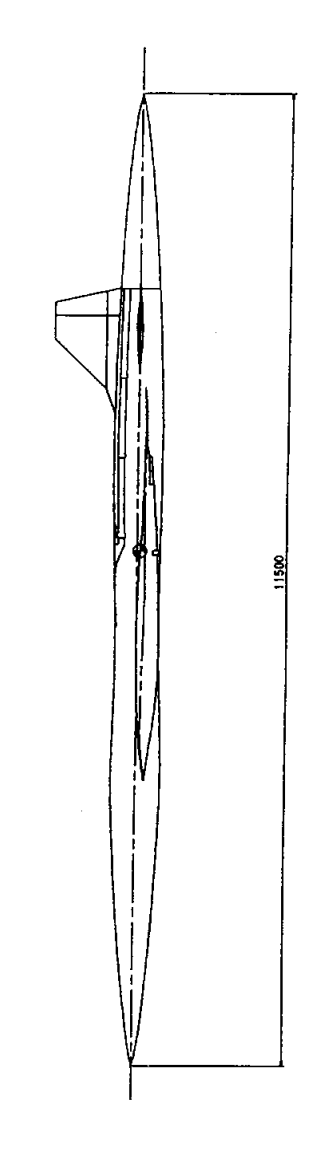
·図 A5-14:後方結合分離部詳細

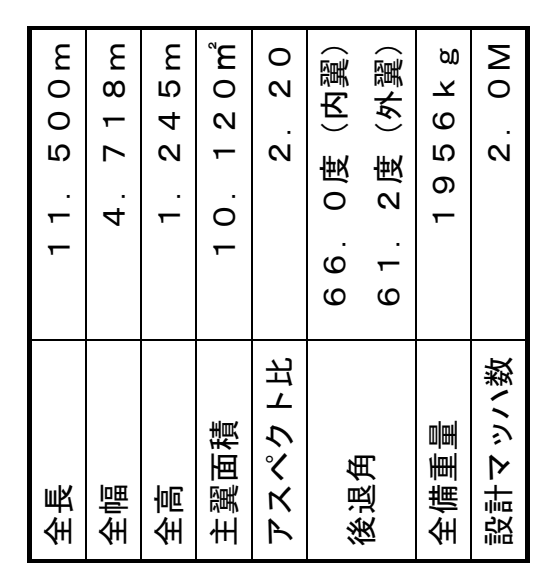
・図 A5-15:分離ボルトの構造と作動原理

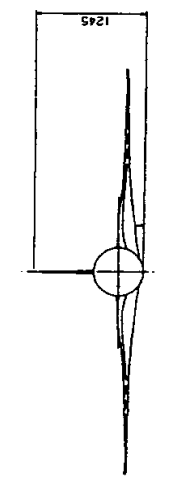


図A5-1 ロケット実験機の空力設計コンセプト







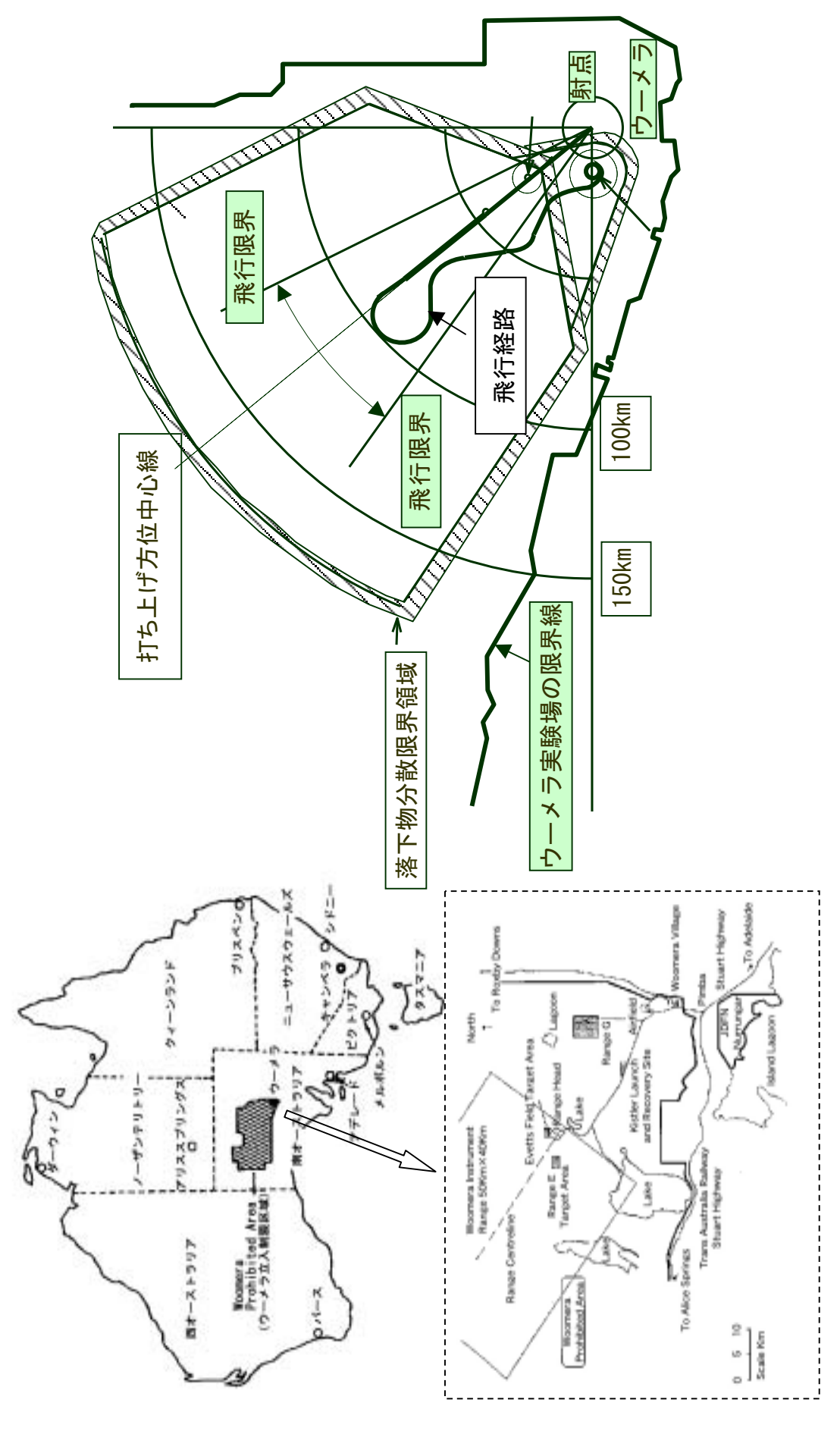


図A5-3 実験機の構造概要

図A5-4 ロケット実験機装備配置

図A5一5 打ち上げロケットの概要

図A5-6 実験機の超音速分離挙動シミュレーション結果(M=2.1)



A5-11

図A5-8 飛行実験の概要

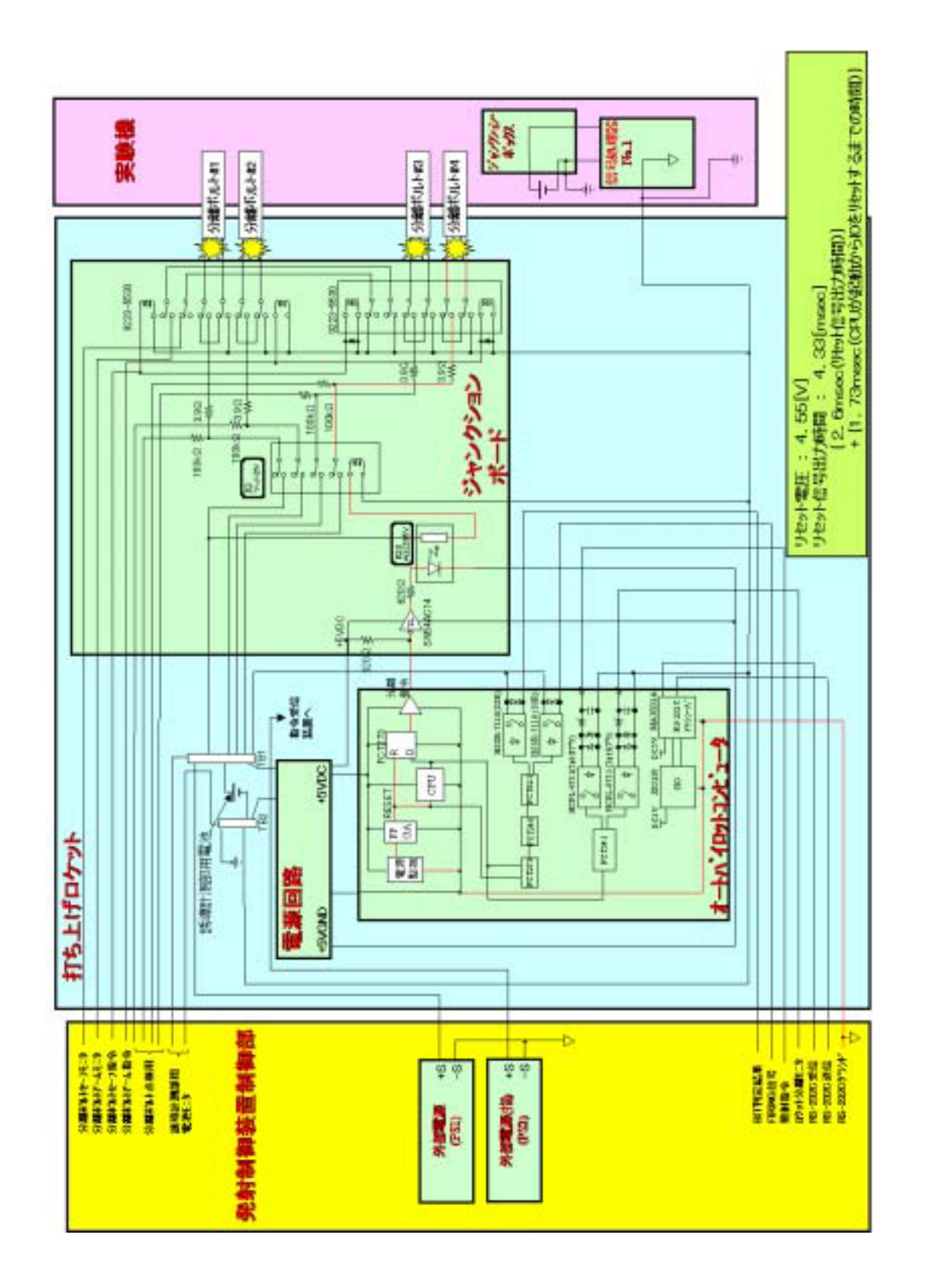
-30 ~300 °C -30~300°C -30 ~300 °C -30~300°C 計測レンジ 0~100kPa 0~100kPa 0~100kPa 0~100kPa 0~100kPa 0~10kPa 0~10kPa ADSシステム TATセンサ 歪計、舵角セン サ 零点補償圧 カスキャナセ ンサ ロケット実験機の計測項目 歪計、熱電対 計測センサ IMU、Gセンサ 非定常压力 非定常压力 テレビカメラ V-4°, IMU アプレストン管 ホットフィルム ホットフィルム 熱電対 熱電対 迎角、マッハ数、動圧、 全温 主翼上面境界層総圧 主翼上面非定常圧力 胴体側面非定常圧力 胴体側面金属温度 主翼上面遷移計測 主翼上面金属温度 胴体側面遷移計測 計測項目 垂直尾翼表面圧 主翼上下面静圧 水平尾翼表面圧 姿勢角、加速度 振動、温度ほか 胴体変形、舵角 胴体表面静圧 位置、速度 画像監視 CFD対応圧力計測 機体諸元計測 分類 境界層計測 基本計測 監視計測 T=90:試験区間開始 T=0(秒): 点火 I=155:試験区間終 T=50: 燃焼終了 T=74:分離 打ち上げフェーズ 9 0 Flight Path (Launch Azimuth = 325 deg.) -10 試験フェーズ -50 <u>۾</u> X (km) パラシュート開傘 T=708: -40 -20 ဓု T=170:ターン -70 2 2 _ -10 -8 9 50 4 30 9 0 (KM) Y A5 - 13

図A5一9 標準飛行経路および計測項目

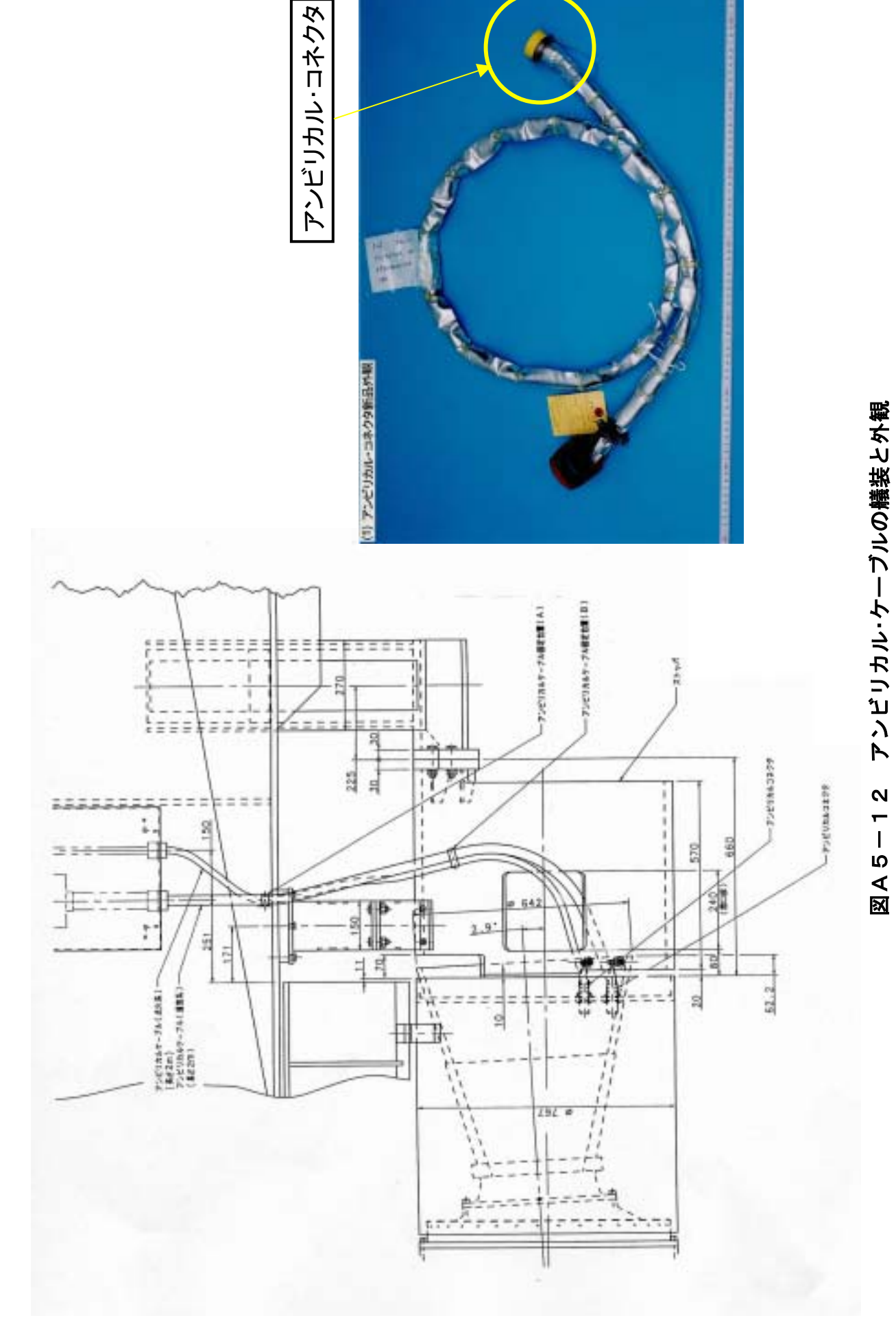
オートパイロット



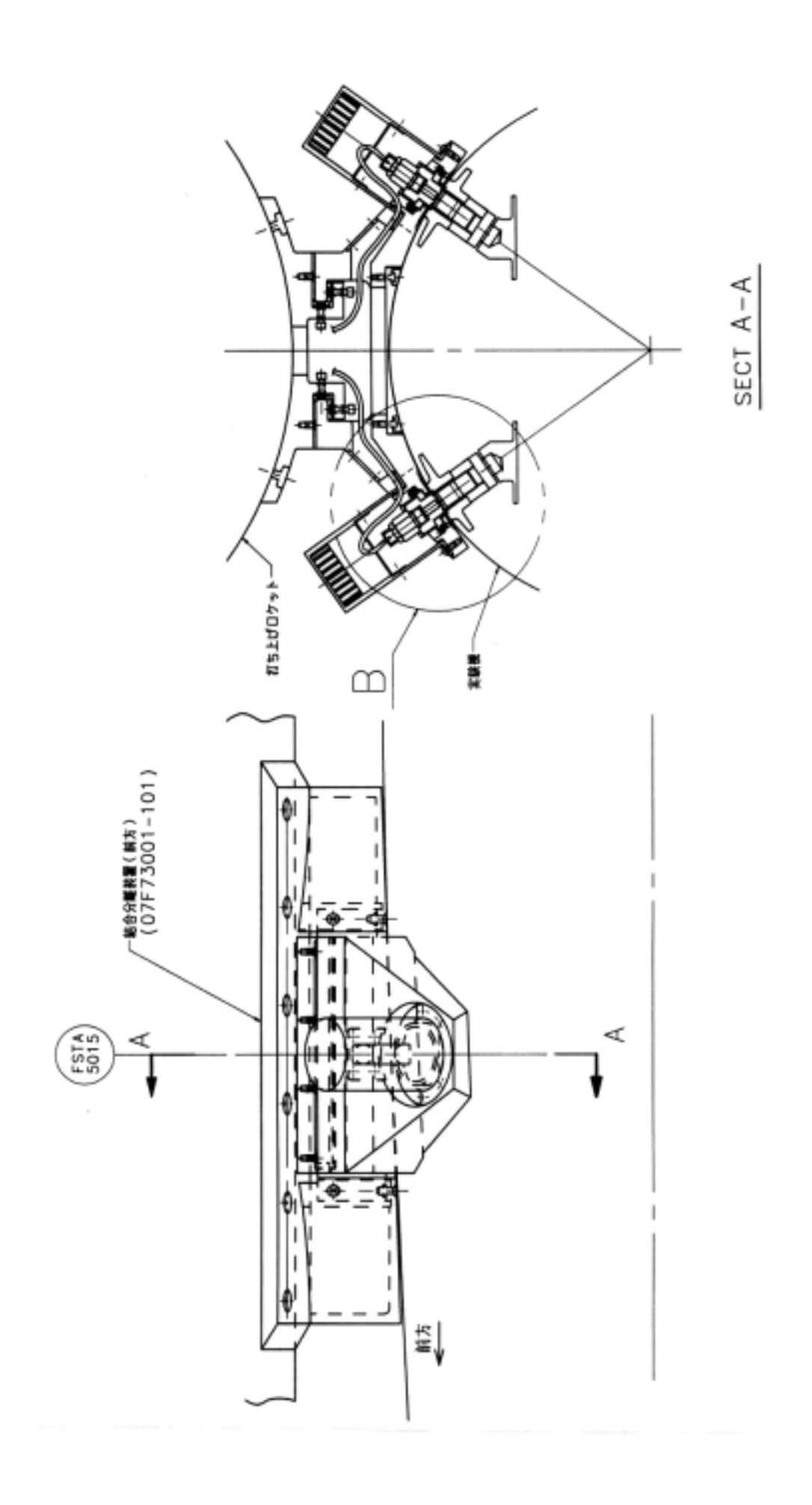
誘導計測部



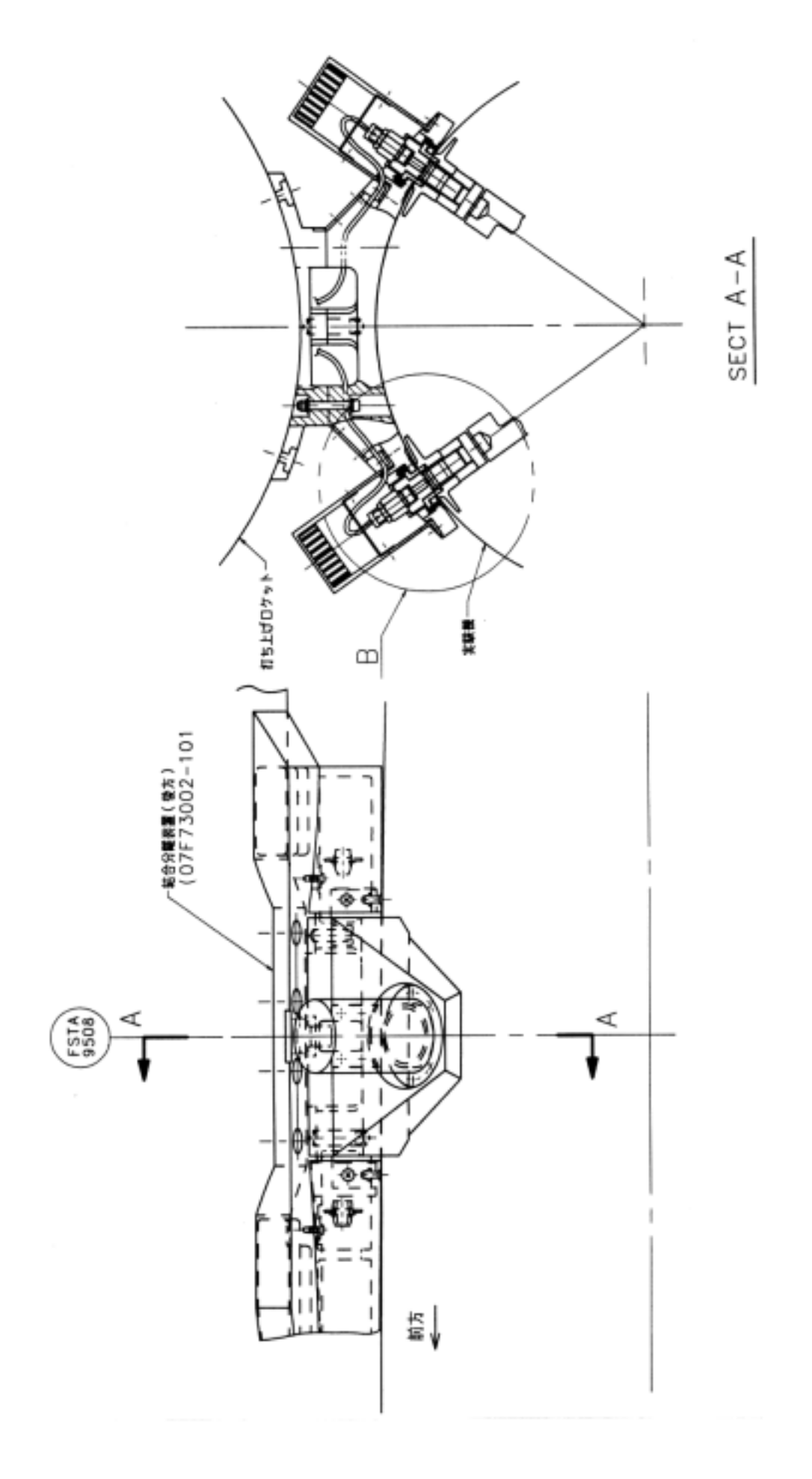
打ち上げロケット誘導計測部内回路概略および外部とのインタフェース **図A5-11**



A5-16



A5-17



(庫位: mm) 点火部 イニシェータ デトネータ (108) $(\phi 1 2)$ (<u>L</u> $(\delta 23)$ 分離箇所 ボルト部

作動原理

電橋線に発火電流を流すと、点火薬が発火し着火薬に火をつける。着火薬の火は、空間を飛んで起爆薬に火をつける。起爆薬に火がつくと音速を超える衝撃波を伴う燃焼(爆轟)になり、その爆轟が添装薬を爆轟させる。添装薬の爆轟による衝撃波によりボルトの分離箇所にひびを生起させ、ボルトの先端部を分離する。

電気的特性(イニシエータ)

電橋線

点火薬

着火薬

添装薬

起爆薬

1. 適用プラグ : MS3116-8-2S

2. 絶縁抵抗 : 100MQ以上

(500VDCを端子~ボディ間に印加したとき)

3. ブリッジ抵抗値: 1. 0±0. 2Ω

4. 最小発火電流 : 3. 7 A × 10 m s

5. 最大不発火電流:2. 3A×5min

(1 A 1 W 5 min 不発火)

図A5-15 分離ボルトの構造と作動原理

点火部詳細

付録 6. 原因調査活動

6. 1. 原因調査実施体制

航空宇宙技術研究所は、平成 14 年 7 月 14 日に実施の小型超音速実験機(ロケット実験機)第 1 回飛行実験の失敗を受け、その原因究明のために、同日直ちに外部専門家で構成される原因調査委員会(委員長:相原康彦東大名誉教授)を設置するとともに、所内に調査対策チーム(本部長:戸田勧理事長)を設置した。

航空宇宙技術研究所

原因調査委員会

委員長:相原康彦 東大名誉教授

調査対策チーム

本 部 長:戸田 勧 理事長

本部長代理:永安正彦 理事

本部長付き: 高木譲一 理事

対外対応チーム チームリーダー 舞田正孝 企画経営室長 原因究明チーム チームリーダー 上田哲彦 構造材料研究センター長

原因調査委員会の構成

委員長: 相原康彦(東京大学名誉教授)

委 員: 後藤昇弘(九州大学教授)

委 員: 小林 修(東海大学教授)

委 員: 近藤恭平(東京大学名誉教授)

委員: 佐木誠夫(宇宙開発事業団)

委員: 中島俊(宇宙科学研究所)

委員: 中村富久(宇宙開発事業団)

調査対策チームの構成

本部長 戸田 勧 理事長

本部長代理 永安正彦 理事

本部長付き 高木譲一 理事

対外対応チームリーダー 舞田正孝 企画経営室長

原因究明チームリーダー 上田哲彦 構造材料研究センター長

メンバー

田中康男 総務部長

寺田博之 業務部長

坂田公夫 次世代超音速機プロジェクトセンター長

岩宮敏幸 CFD技術開発センター長

石川隆司 先進複合材評価技術開発センター長

遠藤征紀 航空推進研究センター長

田中敬司 飛行システム研究センター長

冠 昭夫 角田宇宙推進技術研究所長

野坂正隆 ロケット推進研究センター長

中島 俊 宇宙科学研究所システム研究系教授

橋本正之 宇宙科学企画情報解析センター助教授

佐木誠夫 宇宙開発事業団特任参事

福島幸夫 宇宙開発事業団宇宙輸送システム本部参事

兵藤幸夫 宇宙開発事業団安全性・信頼性管理部安全性審査室長

中安英彦 次世代超音速機プロジェクトセンター計画管理室長

堀之内茂 次世代超音速機プロジェクトセンターシステム設計グループリーダ

大貫 武 次世代超音速機プロジェクトセンター飛行実験計画グループリーダ

吉田憲司 次世代超音速機プロジェクトセンター空力設計グループリーダ

町田 茂 次世代超音速機プロジェクトセンター構造設計グループリーダ

柳 良二 次世代超音速機プロジェクトセンター推進システム設計グループリーダ

村上 哲 次世代超音速機プロジェクトセンターエンジン統合設計グループリーダ

滝沢 実 次世代超音速機プロジェクトセンター誘導制御設計グループリーダ

奥野善則 次世代超音速機プロジェクトセンター飛行解析グループリーダ

中野英一郎 次世代超音速機プロジェクトセンター実験場グループリーダ

平子敬一 次世代超音速機プロジェクトセンター特別研究員

事務局 舩引浩平 企画経営室研究主幹

浜本 滋 風洞技術開発センター主任研究員

6. 2. 原因調査活動の概要

現地での初期調査活動は 7 月 26 日に終了し、破片等を日本に輸送して国内での詳細な現品調査及び検証試験等を実施するとともに、必要な解析を並行して進めた。8 月 28 日には中間報告書をとりまとめた。

7月14日 第1回飛行実験 所内調査対策チーム設置 原因調査委員会設置 画像データ/飛行データ解析着手

7月15日 安全確保作業実施 現場調査(破片散乱調査等)着手

7月19日 第1回原因調査委員会 (原因調査状況報告)

7月23日 原因調査委員会現地調査

7月26日 実験機・ロケット等の日本への輸送開始

設計図/開発試験データ等の分析 詳細発生要因分析 現品調査・検証試験計画策定

8月2日 第2回原因調査委員会 (原因調査状況報告)

8月5日 ロケット誘導部等小型部品の日本到着

8月8日 現品調査着手(分解調査等)

8月12日 検証試験着手

8月28日 第3回原因調査委員会(中間報告書)

9月3日 実験機及びロケット本体の日本到着

9月4日 実験機・ロケット結合形態検証試験着手

9月13日 実験機現品調査開始

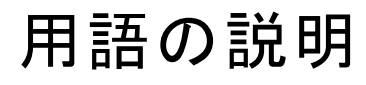
10月11日 第4回原因調査委員会(最終報告書)

現地初期調査活動

- 破片散乱調査
- ・飛行データ解析
- ・画像データ解析、等

原因調査分析活動

- 詳細な事象発生要因分析
- ・飛行データ等の詳細解析
- 現品分解調查/各種解析
- 検証試験、等



アナログデータ

計測量を電圧変換したデータのこと。ロケットの誘導制御用コンピュータを経由せず実験機データレコーダに記録されるロケットのデータ。

アンビリカル

打上げロケット、実験機、地上支援設備間を結合するためのコネクタやケーブルのこと。

イグナイタモータ (点火モータ)

ロケットの推薬を着火させるための点火モータ。

オートパイロット(誘導制御用コンピュータ、AP)

打上げロケットの誘導制御及びシーケンス制御を実施するコンピュータ。 結合分離機構

ロケットと実験機を結合し、分離ボルト、ロケットー実験機アンビリカル等を含む機構一式

サージ電圧

動作中の回路がオープンとなった時点で誘導起電力等により生じる電圧 のこと。

サーボアンプ

オートパイロットからの操舵指令信号に対して舵面を駆動するサーボモータの回転角を制御する装置。

サーボモータ

サーボアンプから信号を受けロケットフィンにある舵面を駆動する装置。 シェル

コネクタの外筒のこと

ジャンクションボード (JB)

打上げロケット内で分離ボルトや非常装置、ロケットモータへの着火出力を行うリレー類から構成される装備品。

受信ライン (Rx)

オートパイロットが発射制御装置(地上支援設備)からデータを受信する RS232C 通信ラインのこと。

ショックマウント

装備品に伝達される振動、衝撃などの機械的環境を和らげるための衝撃 吸収取付台。

指令受信装置

地上より送信される非常飛行停止指令を受信するための装置。実験機に 1台、ロケットに1台搭載されている。

スルーホール

多層化された回路基板の層間を電気的に接続するために設けられている 穴のこと

制御部

ロケットの後部にある、ロケットの制御用装備品(サーボアンプ、サーボモータ等)が搭載されている部分をいう。

接地電位

装備品が接地している部分の電圧。

送信ライン(Tx)

オートパイロットが発射制御装置(地上支援設備)へデータを送信する RS232C 通信ラインのこと。

ソルダレジスト

プリント基板をハンダめっきする時に、めっき部以外にハンダが付かないよう基板表面を保護するための皮膜。

中継ボックス

打上げロケット〜発射制御装置間をつなぐラインのうち、RS422 通信をRS232C 通信に変換するための地上側に設けられた変換ボックスのこと。

データレコーダ

飛行中の計測データを記録する装置で実験機に搭載されている。ロケットー実験機アンビリカルを通じて、ロケットのデータも記録されている。 電源回路(DC/DC コンバータ)

ロケットの装備品に誘導計測部用電池からの+28VDCを変換して±15VDC、+5VDC電源を供給するための装置。

トンネルケーブル

打上げロケット前部の誘導の信号を後部に伝えるためのケーブルのこと。 打上げロケット外側に設けられたカバー内に艤装されている。

ハーネス

打上げロケット、実験機内の電線のこと。

非常飛行停止

飛行中の実験機、ロケットに対して、飛行中断させる動作のこと。

フィン

ロケット後部にある4枚の尾翼のこと。

フォト MOS リレー

電気信号の ON/OFF を光によって伝達するリレー ブラケット

(2)

基板を固定するための金具。

フレックスハーネス

多数の薄い銅箔ラインをフィルムで挟んだ柔軟性のあるハーネス 分離ボルト

実験機と打上げロケットを結合する締結部品であり、かつ、オートパイロットからの点火信号により発火してネジ部が切断される。

誘導計測部

ロケットの前部にある、ロケットの誘導・計測用装備品(オートパイロット、INE、電源回路、ジャンクションボード、指令受信装置等)が搭載されている部分をいう。

ランヤード

打上げロケットと接続されたアンビリカルコネクタのロック機構を解除 するためのワイヤのこと。

レセプタクル

アンビリカルコネクタと接続される打上げロケット側のコネクタのこと。 ロケットストッパ

打上げランチャ上でロケットが発進するまでロケット後端面を支持する ための部品。ロケットアンビリカルコネクタが取り付けられる構造とな っている。

CFD

Computational Fluid Dynamics (計算流体力学)の略。流体力学の方程式を数値計算で解き流れ場をシミュレートする手法。

FTA

Fault Tree Analysis の略。故障の木解析。故障の原因の候補を因果関係を考慮してツリー構造で表現したもの。

GND

電位レベルの基準点。

IMU

Inertial Measurement Unit の略。実験機の運動を検出するセンサであり、加速度、角速度を検出し、位置、速度、姿勢角を計算して出力する。

INE

Inertial Navigation Equipment の略。打上げロケットの運動を検出するセンサであり加速度、角速度を検出し、位置、速度、姿勢角を計算してオートパイロットコンピュータに出力する。

Nz センサ

実験機機軸に垂直な方向(Z方向)の加速度を検出する装置。

PCM データ

Pulse Code Modulation (パルス符号変調) されたデータのこと。0 と 1 のパターン列でデータを表す方法。ロケットの誘導制御用コンピュータ にて変換されて実験機データレコーダに記録されるロケットのデータ。

RF干涉

電波による干渉のこと。

RS232C

通信回路方法の1つ。

RS422

通信回路方法の1つ。RS232Cより伝送可能距離が長い。

Temp センサ

実験機の機体表面温度を計測するための熱電対。

TTL

Transistor-Transistor Logic の略。トランジスタ論理素子。5V/0V で論理レベルの Hi/Lo レベルを意味する。

小型超音速実験機(ロケット実験機) 対策検討報告書

平成15年1月15日 対策検討委員会

まえがき

平成14年7月14日の小型超音速実験機(ロケット実験機)の飛行実験失敗を受けて設置された原因調査委員会によって、原因が特定されたことに基づき、その対策を検討し、提言を行うために本委員会が設けられた。 この報告は、失敗の直接的原因及び調査の過程で指摘されたシステム設計上の留意事項の対策、ならびに直接的原因が発生した背景分析と再発防止のための開発体制改善について検討を行い、その結果を航空宇宙技術研究所が今後実験再開に向けて具体的に対策作業を進めるに当っての指針としてまとめたものである。

対策検討委員会

委員長 後藤昇弘

目 次

	頁
1. はじめに	1
2. 飛行実験失敗原因とその背景	2
3. 対策	3
3. 1. 飛行実験システムに関する事項	3
3. 2. 開発体制に関する事項	8
4. まとめ	1 0
資料 1 対策検討委員会の活動概要	1 1
資料 2 飛行実験失敗の直接原因	1 2

1. はじめに

平成14年7月14日に航空宇宙技術研究所が実施した小型超音速実験機(ロケット実験機)の飛行実験の失敗に関しては、原因調査委員会(委員長:相原康彦東大名誉教授)によってその原因がロケット誘導制御コンピュータ(オートパイロット;AP)における不適切な構造及び機器配置にあるものと特定された。同時に、対策検討にあたっては主原因の他に問題がないか点検を行うとともに、主原因の背景などについて調査することが提言された。

これを受けて、航空宇宙技術研究所は飛行実験システムの改修対策及びプロジェクト 推進体制の点検改善、ならびに飛行実験再開に必要なその他の検討を行うため、本委員 会を設置し、本委員会に対して小型超音速実験機(ロケット実験機)の飛行実験システ ム及び開発体制に対する提言を求めた。

本委員会は先の原因調査委員会の提言も踏まえ、第一に、主原因となった不具合が一連の開発過程で見いだすことができなかった背景を調査してその問題を明らかにし、次に、飛行実験システムについて原因調査委員会で判明した事項も含め、信頼性及び安全性の観点から現状のシステムにおいて改善が望ましいと考えられる事項を可能な限り幅広く抽出し、開発体制の改善も含めて今後の対策について検討を行った。(資料1)

本報告は、その調査・検討結果について整理し、航空宇宙技術研究所がロケット実験機の実験実施に向けて、対策・改善を検討すべき事項についての提言を取りまとめたものである。

2. 飛行実験失敗原因とその背景

飛行実験の失敗原因については、原因調査委員会によりAPにおける不適切な構造と機器配置にあったと特定され、また、これらが設計、製造、機能試験等からなる一連の開発過程で見いだされなかったことも関与しているものと指摘している。(資料2)

飛行実験失敗の原因となったAP部分について、その設計、製造、検査ならびに試験などの一連の開発過程を調査した結果、一連の開発過程において不具合を見いだせなかった背景が下記にあるものと判断された。

- (1) ロケット誘導系は出来る限り信頼性の確立した既存部品、既存技術を用いて設計された。しかしながらAPについては既存の基板を活用しているものの、筐体、信号及び電源の入出力部についてはNAL735に適合するように新規に設計された。
- (2) 電気的入出力部のフレックスハーネス基板の設計変更が行われたにもかかわらず、 担当部門間の連携不足によってAP部全体としての技術検討及び評価が不足し、 同時にその設計変更が組立図に反映されることなく他のAP部品との整合を確 認する機会を失った。
- (3) A Pに関する地上試験として、A P等の機器を搭載した組立て状態でのロケット 誘導計測部に対する振動試験等の環境試験が行われたが、A P単体の振動試験は 実施されなかった。また、M I L 規格を適用した試験を実施したが、A Pショッ クマウントの特性を考慮すると、A Pを含めた搭載機器の環境試験による評価が 十分でなかった。
- (4)技術的には信頼性確認済みのサブシステムであるとの判断のもとに、製造メーカ においてAP全体を一つとしてとりまとめる適切な責任者が配置されなかった。

この様に、担当部門間の連携不足、技術検討及び評価の不足、AP全体のとりまとめの適切な責任者の不在等から、設計の調整・審査、製造、組立、さらには検査、試験の各段階で設計変更による不具合因子が発見されないままとなり、実験失敗の原因となったと考える。

3. 対策

本章では飛行実験失敗の再発防止を目的とした改善策を、実験機・ロケット及び地上設備からなる飛行実験システムに関する事項と、設計・製造・検査・試験の一連の過程における開発体制に関する事項とについて提言する。これら改善策の検討に際して、本システムが前例の無い打上方式であることから、再度点検を行った。その結果を踏まえ、ここでは失敗の直接原因に関する項目に限らず、システムの十分な信頼性と実験安全性を確保するために必要な項目もできるだけ幅広く抽出し、それらに対する対策あるいは検討の必要性についても提案する。

3.1.飛行実験システムに関する事項

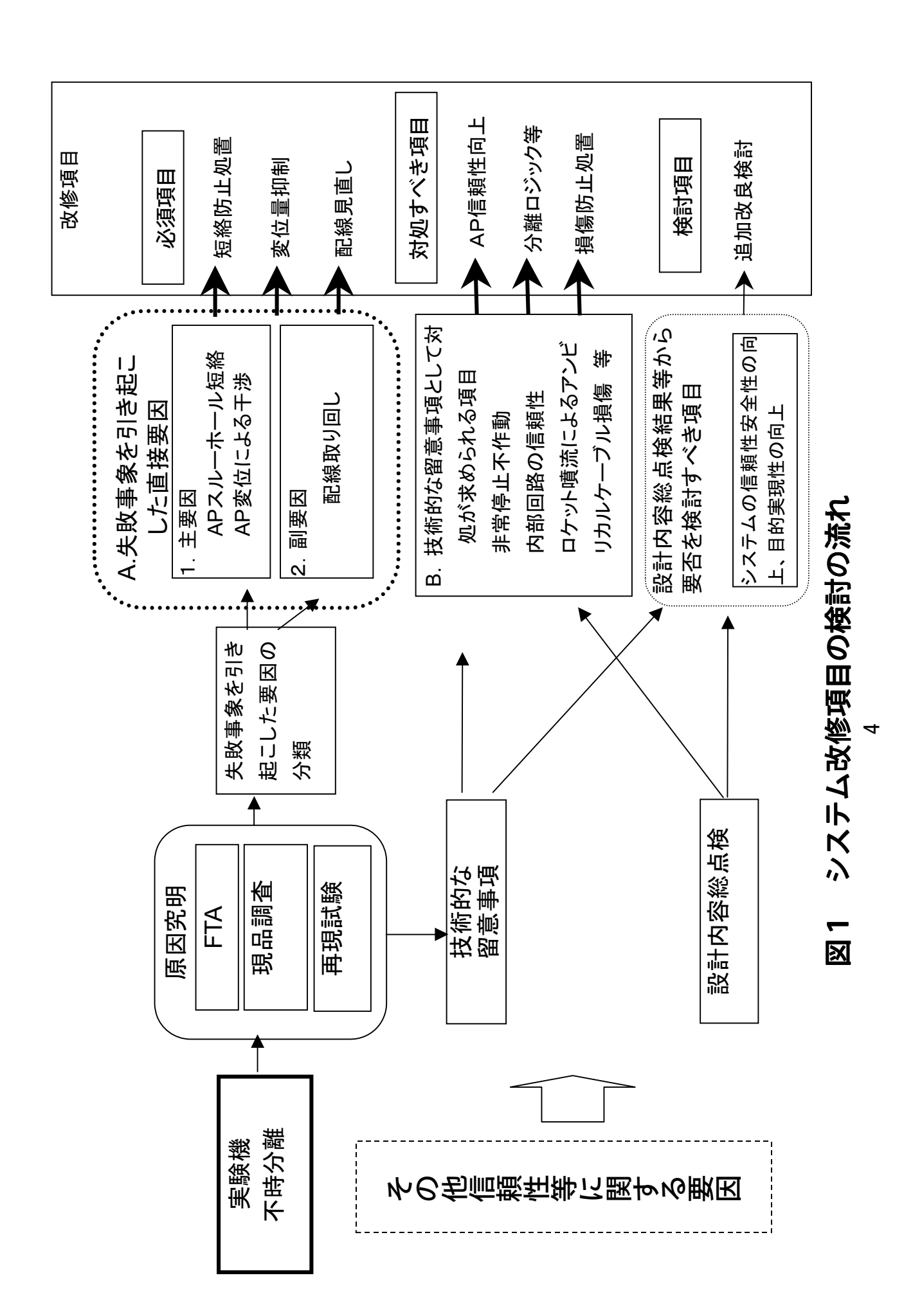
本節において飛行実験システム全般に関わる改修対策の項目を提示する。項目には、直接原因に対する対策として実施が必須であるもの、及び原因調査の過程において抽出されたその他の項目のうち、信頼性向上のために対処すべきものが含まれる。またそのほか、設計内容の総点検によって抽出され、今後の技術検討によって対策の要否を判断すべき項目についても検討項目として提示する。なお、システム改修項目の検討の流れを図1に、改修検討箇所の概要を図2に示す。

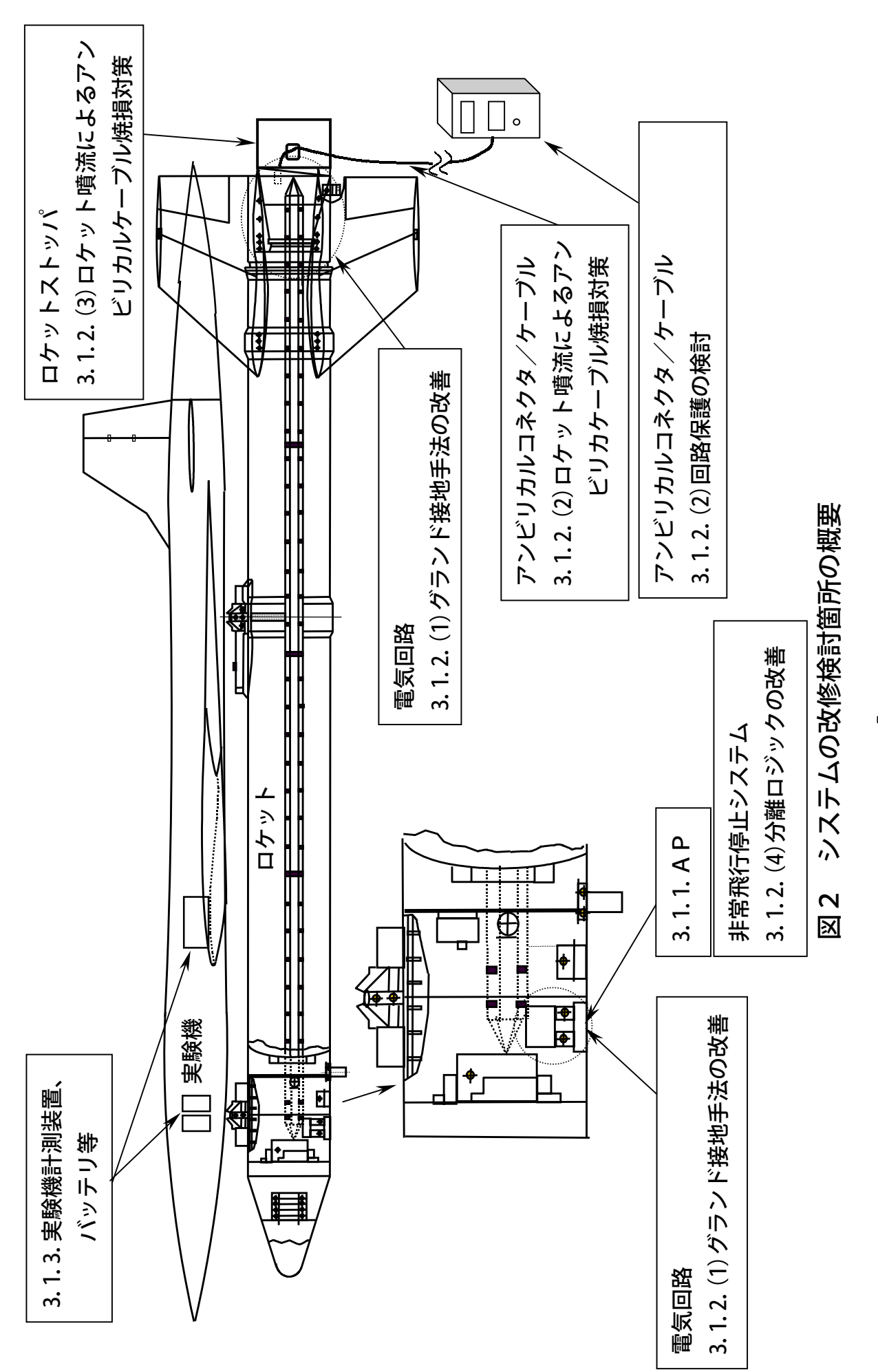
3. 1. 1. 直接原因に対する対策

失敗の直接原因となったAPの電源ライン短絡は、AP入出力部のフレックスハーネス基板に設計変更して設けた5V電源スルーホールが、ロケット発射時の加速や振動等でAPが移動したことによって、アルミ製ブラケットに接触したことから発生したものである。このため、スルーホールの短絡防止、及びAP防振マウントの変形によるAPのハーネスの干渉の回避を目的として、以下の電源ライン周辺の改善を行い、AP単体としての信頼性向上を図ることが必須である。

- ① コネクタ及びその取り付け方法の改善
- ② 変形の少ないAP防振マウントへの変更
- ③ AP周辺ハーネスの干渉防止

なお、防振マウントに関しては使用実績、振動試験結果などを十分に評価検討して選 定する必要がある。





3. 1. 2. 信頼性・安全性向上のために対処すべき項目

調査の過程において指摘した技術留意事項で、飛行実験システムの信頼性及び実験安全性の向上のために対処すべき項目を以下に示す。

(1) 電気回路

原因調査の過程においてアンビリカルケーブルの破損や短絡による電気的影響が懸念されたこと、電源異常のAP機能及び制御部への影響の可能性が指摘されたこと、ならびに、地上装置/ロケット実験機間に不要なグランドループが形成されていたことを受け、アンビリカルケーブル破損等による誘導計測部への電気的影響の排除、電源異常を含む電気的外乱に対する耐性の確保を目的とし、以下の対策により電気系回路の信頼性向上を図ることを提言する。

- ① グランド接地手法の改善
- ② アンビリカルラインにおける電気的インタフェースの保護
- ③ A P 電源の信頼性確保

(2) ロケットー地上間アンビリカルコネクタ/ケーブル

アンビリカルケーブルの破断あるいは短絡によるシステムへの電気的影響が原因調査の過程において検討された。ロケット離昇時のコネクタ分離の確実性を向上させるとともに、アンビリカルコネクタ/ケーブルに対するロケット噴炎の影響を排除するために、ロケットと地上装置を結ぶアンビリカルコネクタ/ケーブルについて、以下の対策を検討することを提言する。

- ① ロケット噴炎の影響を受けない位置への移動ならびにケーブルの保護
- ② アンビリカルケーブルの回路保護の見直し

(3) ロケットストッパ

アンビリカルケーブルの焼損の対策として検討するアンビリカルコネクタ/ケーブルの位置の移動に対応して、ロケットストッパへのケーブル固定方法を見直す必要がある。また、NAL735のノズルが打上ランチャのブーム方向にカント角をもっている。このため、現状のノズルストッパでは噴流が干渉することによりロケット及びランチャが熱的影響を受ける懸念があり、ストッパ形状の見直しを提言する。

(4) 非常飛行停止システム

飛行実験システムの飛行安全確保のために装備した非常飛行停止装置は、地上からのコマンド送信と、APによる自動機上判定との二重系統を有していた。しかし、今回の飛行実験ではAPの異常という単一故障により実験機とロケットの分離、ロケットフィンと実験機の衝突、コマンド受信アンテナの脱落が起こり、結果として非常飛行停止システムが機能しなくなることが明らかとなった。このような事象を排除し、早期分離を含むあらゆる故障モードにおいて非常停止機能を確保するため、APの信頼性の向上対策や分離ロジックの改善を含め、地上からの非常飛行停止機能信頼性確保の対策などを総合的に検討することを提言する。

(5) 試験方法

調査の結果、今回の直接原因の一つとして、単体試験を省略したことに加え、誘導部に対して実施した環境試験の条件も設計及び実使用環境を十分に反映していなかったことを指摘した。これを踏まえ、改修後の各種確認試験は、飛行実験の前に可能な限り正確にシステムの特性ならびに信頼性、安全性を地上で確認することによって、実験の成功率を高め、実験の安全性を確保することを基本とすべきである。

試験実施にあたっては、地上燃焼試験データの活用を含め、実環境に可能な限り近い 条件を採用するとともに、設計条件を考慮したものである必要がある。また、可能な限 り最終形態での試験を実施する方向で検討することも含め、これまでの試験条件及び試 験方法を再確認し、それらの妥当性を見直す必要がある。試験結果の評価についても評 価体制の充実を含め広くかつ正確な視点から行うことが必要である。

また、本飛行実験システムの打上方式がこれまでに経験のない独自のものであること を考慮し、シミュレーション解析等を充実させ、さらに技術確認のためにロケット打上 による実証試験の追加を含め、十分な検討を引き続き行うことを提言する。

3.1.3.検討項目

前述の項目の他、飛行実験システムの信頼性向上のみならず、プロジェクトとしての 完成度及び成功率の向上を目的とする改修策として、実験飛行中の緊急事態に対処する ための地上からの分離コマンド系拡充の必要性と実現性の検討、ロケットの状態データ のモニタ強化あるいはシステム状況把握の拡充を目的とした通信の改善、結合分離装置 の信頼性検討を目的とした強度及びシステムの再検討、ならびに分離の確実性の確保な どを引き続き検討していくことを提言する。

また、技術開発ツールとしての飛行実験システムに求められる適切な信頼性のレベルを確保するという観点から、上記以外のサブシステム、機器及び部位について調査検討を継続し、妥当性ならびに整合性を勘案した上で、必要な改修を実施することが望ましい。

3. 2. 開発体制に関する事項

実験失敗の直接原因となったAP短絡発生要因が飛行実験まで発見されなかったことを受け、対策実施を含む今後の本プロジェクトの推進において同様の問題の再発を防止し、目標とするシステムの信頼性の向上を一層確実にするため、プロジェクト推進管理、設計管理のための体制の改善策、及び適切な専門技術者の配置や今後の課題について、その考え方を提示する。

(1) 航空宇宙技術研究所の課題

これまでに進めてきたシステム開発をより確実なものとするため、設計から試験に至る技術プロセスのすべてにわたって担当部門の責任の明確化と部門間連携およびリーダーシップを強化した体制が必要と考える。特に、ロケット開発の責任者の明確化、及び全体システムの品質・信頼性確保、ならびに電気系統の設計管理を含めた体制上の整備を検討すべきである。

また、国内の他の機関、特に宇宙科学研究所及び宇宙開発事業団の技術及び経験の有効な導入についても積極的に検討することが望まれる。

プロジェクト推進者であり、システム製造の発注者である航空宇宙技術研究所は強い リーダーシップを発揮するとともに、システム製造者であるメーカとの相互信頼に基づ く連携をより一層強め、システム開発全体の信頼性を向上することに常に留意すべきで ある。

(2) メーカの課題

メーカにおいては、実験機・ロケットを合わせた全システムを統括できる責任者を設置することを第一とし、設計、製造、検査におけるサブシステム単位に至るまでの責任の所在の明確化が必要である。また、同様の開発経験を有する人材の配置、航空宇宙分野における電気系設計基準の適切な適用や、設計変更等への調整統合機能の確保などの的確な対応のための情報流通、設計管理について改善が必要と考える。さらに、メーカ

内外部有識者による設計、製造、検査などのレビューの拡充による問題点の事前発見機会を拡大することも重要である。

4. まとめ

本委員会の対策検討の成果として、失敗原因の除去ならびにシステム信頼性の向上の 観点から技術的改修項目を提示し、さらに技術的問題点が生じた背景の分析を行い、再 発防止策として開発体制の強化、特に責任者の明確化の必要性を提言した。

航空宇宙技術研究所及び関連メーカにおいては、これら提言を十分に考慮し、本来の 技術目標の達成と目的の実現に向け、お互いに協力し合い、迅速かつ正確に対応することを期待する。また、原因調査報告書が述べている様に国内の技術蓄積を有効に活用して、飛行実験の達成に向けた広範かつ十分な活動が望まれる。

資料1

対策検討委員会の活動概要

1. 対策検討委員会の構成

委員長 後藤 昇弘 九州大学大学院工学研究院教授

委 員 井上 憲一 新明和工業株式会社航空機事業部技術本部長

委員 川幡 長勝 日本大学理工学部教授

委 員 小林 修 東海大学工学部教授

委 員 近藤 恭平 東京大学名誉教授

委員 佐木 誠夫 宇宙開発事業団特任参事

委員中島俊 宇宙科学研究所教授

委 員 福島 幸夫 宇宙開発事業団宇宙輸送システム本部参事

2. 審議経緯

第1回委員会(平成14年11月6日)

- (1) 対策検討委員会の審議事項
- (2) 原因調査委員会調査結果概要報告
- (3) 実験失敗原因調査結果とその背景の整理

第2回委員会(平成14年11月18日)

- (1)失敗原因及び技術留意事項に対する改修計画案について
- (2) ロケット実験機システムについて
- (3) プロジェクト体制等の改善案について
- (4) 実験再開の手順・計画案について

第3回委員会(平成14年12月4日)

- (1) ロケット実験機システムに関する改修・検討事項について
- (2) プロジェクト体制等の改善案について
- (3) 今後の対策に関するとりまとめ方針について

第4回委員会(平成14年12月16日)

(1) 報告書のとりまとめについて

上記の委員会のほか、平成14年11月21~22日にロケット実験機飛行実験 システム設計調査及び説明会を開催。

飛行実験失敗の直接原因

(原因調査報告書抜粋)

実験機のロケットからの脱落という失敗事象は以下の通り生じたものと推定された。

ロケット誘導計測部内の防振システムに取り付けられたロケット誘導制御コンピュータ(オートパイロット:AP)が、ロケット発射時の加速等により変位して、AP入出力基板に接続されたハーネス(被覆電線束)が、近接して取り付けられていた電源回路ボックスに接触した。このため、AP入出力基板がハーネスから力を受けて変形し、基板の5V電源ラインのスルーホール部が、ブラケット(基板取り付け用金具)に接触してグランドに短絡した。基板の5V電源部の短絡によりAP供給電源電圧が低下してAPがリセットし、その結果として分離指令が発せられて分離ボルトが電気的に作動した。これによって実験機はロケットより脱落した。

原因調査の目的であった科学的・技術的な原因究明の結論としては、上記の事象を引き起こした要因が次の不適切な構造及び機器配置にあったものと考える。

- (1) 電源供給容量の改善のため、製造段階の設計変更により設けたAP入出力基板の5V電源スルーホールが、これを固定するブラケットに容易に接触し得る構造となっていたこと。
- (2) ロケット発射時の加速や振動等により、APと電源回路ボックスが相互に干渉し得る機器配置となっていたこと。

なお、上記の要因が設計、製造、機能試験等からなる一連の開発過程で見いだされなかったことも関与しているものと考える。